



การทดสอบแบบจำลองการเจริญเติบโตของถั่วลิสงในสภาพการแกร่งแสงแห่งชั้น

เพื่อปัจจัยแสงระหว่างวัชพืชในกว้างและถั่влิสงที่ปลูกในนาข้าวก่อนฤดูทำนา

Validation of a Peanut Growth Model for Light Competition

between Broadleaf Weeds and Peanut (Arachis hypogaea L.)

Grown in Paddy Field before Rice Cultivation

พันธุ์ แพชนา

Panus Paechana

วิทยานิพนธ์วิทยาศาสตร์มหาวิทยาลัย (เกษตรศาสตร์) สาขาวิชาพืชศาสตร์
มหาวิทยาลัยสงขลานครินทร์

Master of Science (Agriculture) Thesis in Plant Science

Prince of Songkla University

2538

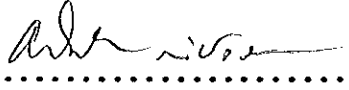
เลขที่..... SB391.P3 . 436 . 2538	ก. 2
Bib Key..... 88943	
..... /	

(1)

ชื่อวิทยานิพนธ์ การทดสอบแบบจำลองการเจริญเติบโตของถั่วลิสงในสภาวะการแห้งแล้งแห่งทัน
เนื้อหาจัย ผลกระทบของระบบท่วงวันนี้ในกว้างและถั่วลิสงที่ปลูกในนาข้าวก่อนฤดูทำนา
ผู้เขียน นายพนัส แพชนะ
สาขาวิชา พืชศาสตร์

คณะกรรมการที่ปรึกษา

.....ประธานกรรมการ
 (รองศาสตราจารย์ ดร.ประเสริฐ ชิตตพงศ์)

.....กรรมการ
 (ผู้ช่วยศาสตราจารย์ ดร.อภินันท์ กำนัลรัตน์)

คณะกรรมการสอบ

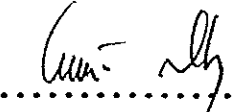
.....ประธานกรรมการ
 (รองศาสตราจารย์ ดร.ประเสริฐ ชิตตพงศ์)

.....กรรมการ
 (ผู้ช่วยศาสตราจารย์ ดร.อภินันท์ กำนัลรัตน์)

.....กรรมการ
 (รองศาสตราจารย์ ดร.สายะ สุคตี)

.....กรรมการ
 (รองศาสตราจารย์ ดร.วัลลภ สันติปราชা)

นักศึกษาสาขาวิชา มหาวิทยาลัยสงขลานครินทร์ อนุมัติให้นบวิทยานิพนธ์ฉบับนี้เป็นส่วนหนึ่ง
 ของการศึกษา ตามหลักสูตรวิทยาศาสตร์ธรรมชาติ สาขาวิชาพืชศาสตร์

.....
 (ดร.ไพรัตน์ สงวนไทร)

คณะกรรมการที่ปรึกษา

ชื่อวิทยานิพนธ์	การทดลองแบบจำลองการเจริญเติบโตของถั่влิสงในสภาพการแก่งแย่ง แข่งขันเนื้อปัจจัยแสงระหว่างวัชพืชในกว้างและถั่влิสงที่ปลูกในนาช้าว ก่อนฤดูทำนา
ผู้เขียน	นายพันธ์ แพทรู
สาขาวิชา	พืชศาสตร์
ปีการศึกษา	2538

บทคัดย่อ

วัชพืชในกว้างจำพวกโงเงง (*Physalis minima*) เส้ง (*Pentapetes spp.*) และเทียนนา (*Jussiaeca linifolia*) เป็นวัชพืชที่สร้างปัญหาสำคัญในการปลูกถั่влิสงในนาช้าวก่อนฤดูทำนา หั้งนาน้ำฝนและนาชลประทาน ซึ่งเป็นระบบการผลิตถั่влิสงที่สำคัญในการได้ เพราะวัชพืชทั้ง 3 ชนิดนี้ มีทรงผุ่มสูงกว่าถั่влิสง ทำให้ถั่влิสงถูกดับบังแก่งแย่งปัจจัยแสง ซึ่ง การแก่งแย่งจะรุนแรงมากน้อยเพียง ไม่มากจะชั้นกับต้นพืชที่ในกองวัชพืช ซึ่งจะผันแปรไปตาม ระดับความหนาแน่นของวัชพืช ในปัจจุบันการผลิตถั่влิสง ในประเทศไทยที่การเกษตรมีความก้าวหน้า ได้มีการพัฒนาแบบจำลอง (model) ขึ้นมาใช้ในการทำนายการเจริญเติบโตและการให้ผลผลิต ของพืช ซึ่งในกรณีของถั่влิสง ได้มีการพัฒนาแบบจำลอง PNUTGRO ขึ้นมาใช้ในสหราชอาณาจักร แต่เป็นการใช้ในสภาพที่ไม่มีวัชพืชควบคุม การศึกษานี้มีวัตถุประสงค์เพื่อทดสอบความเป็นไปได้ ในการนำแบบจำลอง PNUTGRO มาใช้ในการทำนายการเจริญเติบโตและการให้ผลผลิตของ ถั่влิสงที่ปลูกในนาช้าวก่อนฤดูทำนา โดยมีปริมาณรังสีดวงอาทิตย์หนึ่งห้องผู้ถั่влิสง ซึ่ง เปลี่ยนแปลงไปตามสภาพการแก่งแย่งแข่งขันของถั่влิสงกับวัชพืชในกว้าง ในระดับความหนาแน่น ต่าง ๆ กัน นอกจากนี้ยังมีวัตถุประสงค์เพื่อหาระดับความหนาแน่นวิกฤต (threshold level) ของวัชพืชในกว้าง ในถั่влิสงซึ่งปลูกในนาช้าวภายใต้ระบบเกษตรชลประทาน

ทำการศึกษาเพื่อทดสอบโดยปลูกถั่влิสงพันธุ์ไกนาน 9 ที่สถานีวิจัยทำเรียด ซึ่งเป็น สถานีวิจัยของคณะทรัพยากรธรรมชาติ กิ่งอำเภอบางแก้ว จังหวัดนonth บนพื้นที่ในระบบเกษตร ชลประทาน ในระหว่างวันที่ 7 เมษายน ถึง 17 กรกฎาคม 2536 ก่อนปลูกทำการไถฟาร์ม พื้นที่เลขายคร่องสูงประมาณ 30 เชนติเมตร กว้าง 2.5 เมตร ในแต่ละแปลงย่อย ปลูกถั่влิสง 4 ต่อ ยาวและ 5 เมตร ระยะปลูก 50x20 เชนติเมตร ความหนาแน่นของวัชพืชกำหนดที่

0, 25, 50, 75 และ 100 เปอร์เซ็นต์ เมื่อ 20 วัน หลังถั่วลิสงออก วางแผนการทดลองแบบ Randomized Complete Block Design ท่า 4 ชั้น วัดปริมาณรังสีตัวอักษรยี่ห้อเนื้อทรงผู้มีถั่влิสงหรือได้ทรงผู้มีวัชพืชทุก ๆ 6 วัน ในช่วง 36-102 วัน หลังถั่влิสงออก ปริมาณรังสีตัวอักษรยี่ห้อดูบลูกใช้ข้อมูลจากสถานีตรวจสอบเกษตรพัฒนา บันทึกการเจริญเติบโตของวัชพืช และการเจริญเติบโตและการให้ผลผลิตของถั่влิสง นำลักษณะการเจริญเติบโตของถั่влิสงพันธุ์ไทย 9 ในสภาพที่ไม่มีวัชพืชควบคุณไปเปรียบเทียบกับลักษณะประจำพันธุ์ของพันธุ์ Starr, Florunner และพันธุ์ Florigiant ซึ่งเป็นพันธุ์ที่ใช้ในการนักงานและทดสอบแบบจำลอง PNUTGRO ในสหรัฐอเมริกา เพื่อหาความสอดคล้องและเพื่อกำหนดลักษณะประจำพันธุ์บางประการของพันธุ์ไทย 9 ซึ่งไม่อาจรวมรวมได้จากแปลงทดลอง แต่มีความจำเป็นจะต้องนำเข้าในชุดคำสั่งของแบบจำลอง PNUTGRO การเปรียบเทียบทุก ๆ ลักษณะ หากมีความแตกต่างไม่เกิน 10 เปอร์เซ็นต์ ถือว่ามีความสอดคล้องกัน

จากการทดลองและทดสอบพบว่าถั่влิสงพันธุ์ไทย 9 ภายใต้สภาพที่ไม่มีวัชพืช มีการเจริญเติบโตที่สอดคล้องกับพันธุ์มาตรฐานทั้ง 3 พันธุ์ และสามารถนำลักษณะประจำพันธุ์ของทั้ง 3 พันธุ์ มาปรับค่าเป็นลักษณะประจำพันธุ์ของไทย 9 เพื่อนำเข้าในชุดคำสั่งของแบบจำลอง PNUTGRO ได้ และเมื่อนำข้อมูลผลผลิตและองค์ประกอบของผลผลิตที่มีสัมพันธ์กับผลผลิตของถั่влิสง ซึ่งเป็นข้อมูลที่วัดได้จริงทั้งในสภาพที่มีและไม่มีวัชพืชมาเปรียบเทียบกับผลผลิตและองค์ประกอบผลผลิตที่ทำนายได้จากการใช้แบบจำลอง PNUTGRO โดยมีตัวแปรคือปริมาณรังสีตัวอักษรยี่ห้อเนื้อทรงผู้มีถั่влิสง ซึ่งเปลี่ยนแปลงไปตามระดับความหนาแน่นของวัชพืช ก็พบว่าค่าจริงและค่าทำนายของผลผลิตและองค์ประกอบของผลผลิตในทุก ๆ ระดับความหนาแน่นของวัชพืช มีความสอดคล้องกัน ซึ่งให้เห็นว่าแบบจำลองนี้สามารถนำมาใช้ในการทำนายผลผลิตถั่влิสงภายใต้สภาพการแก่งแย่งแข่งกับวัชพืชในกว้างในระดับความหนาแน่นต่าง ๆ กันได้ โดยใช้ค่าปริมาณรังสีตัวอักษรยี่ห้อเนื้อทรงผู้มีถั่влิสงที่เปลี่ยนแปลงไปตามสภาพการแก่งแย่งแข่งกับวัชพืช ซึ่งแผ่นป่าคลุมเนื้อทรงผู้มีถั่влิสง เป็นตัวแปร

วัชพืชในกว้างที่พบในสภาพการปลูกถั่влิสงในระบบเกษตรชลประทานประมาณ 99 เปอร์เซ็นต์ เป็นจำนวนโภงเงง มีค่าิกกุต (threshold) ที่ระดับความหนาแน่นประมาณ 5 เปอร์เซ็นต์ของสภาพไม่กำจัดวัชพืช โดยมีลักษณะความสัมพันธ์เชิงรีเกรลชันระหว่างผลผลิต (Y) กับความหนาแน่นของวัชพืช (X) เป็นแบบ คุอดราติก (quadratic) มีค่า $Y = 3039.251 - 65.403X + 0.465X^2$ โดยมีค่าสัมประสิทธิ์ของตัวกำหนด (r^2) = 0.843

Thesis Title Validation of a Peanut Growth Model for Light
Competition between Broadleaf Weeds and Peanut
(Arachis hypogaea L.) Grown in Paddy Field
before Rice Cultivation

Author Mr.Panus Paechana

Major Program Plant Science

Academic year 1995

Abstract

Broadleaf weeds, especially gooseberry (Physalis minima), wire brush (Melochia corchorifolia) and water primrose (Jussiaea linifolia) are dominant weeds in peanut grown before rice cultivation in irrigated paddy field in southern Thailand. These weeds strongly compete for light factor with peanut due to their taller growth forms. The magnitude of competition depends primarily on weed's leaf area index, which is directly influenced by weed density. The prediction of yield and yield loss due to weed competition has been impractical in Thailand, resulting in improper management of weeds in most economic crops including peanut. With the recent advances in agricultural production technologies for various crops, the PNUTGRO model was developed for determining peanut yield through the simulation process of environmental, biological and cultural management inputs. This model however was developed under weeded situation. As light factor being part of this simulation process, the variation of light intensity over peanut canopy due to weed competition may help rapidly determine yield potential of peanut under weedy situation. This study

was conducted in order to evaluate the validity of PUNTGRO model for determining yield potential of peanut under broadleaf weeds competition pressure and the threshold level of broadleaf weeds in peanut grown before rice cultivation in irrigated paddy field.

The study was conducted in irrigated area of the Faculty of Natural Resources Research Station in Phattalung province during April 7 to July 17, 1993. Tainan 9 peanut was planted 4 rows with 50x20 cm. row spacing in 5 m. long disked bed. Weed densities of 0, 25, 50, 75 and 100% were established at 20 days after germination. Randomized Complete Block design with 4 replications was employed. Solar radiation above the canopy of peanut and weeds was recorded at 6 days interval during 36 to 102 days after planting. Daily solar radiation was obtained from Phattalung Agroclimatological Station. The biological characteristics of Starr, Florunner and Florigiant peanuts, which had been used to develop PNUTGRO, were used to compare the agreeability and determine some varietal characteristics of Tainan 9 that could not be recorded from experimental plots but needed to use in the model. Agreeability was considered valid if difference was comparatively less than 10% .

The results revealed that Tainan 9 could be adjusted by employing such characteristics of these 3 standard varieties. By integrating these INPUTS with light intensities measured under weed canopy at different densities, the differences between the predicted and recorded values of peanut yield and yield components were less than 10% in every parameters. These indicated the validity of PNUTGRO model to be used for peanut yield prediction under weed competition pressure by only integrating light intensity over peanut canopy data into the model.

Goosebery comprised 99 % infestation in this irrigated paddy field peanut production system. The regression analysis of goosebery densities with peanut yield under this condition resulted in quadratic relation, with yield equation of $Y = 3039.251 - 65.403X + 0.465X^2$ at $r^2 = 0.843$. The predicted threshold level of this condition is 5% infestation compares to that of weedy situation.

กิตติกรรมประกาศ

ขอกราบขอบพระคุณ รองศาสตราจารย์ ดร.ประเสริฐ ชิตพงศ์ ประธานกรรมการ
ที่ปรึกษาวิทยานิพนธ์ที่กรุณาให้คำปรึกษาและนำทุกขั้นตอนในการวิจัยและการเรียนเรียนรู้
ฉบับนี้ ขอกราบขอบพระคุณ ผู้ช่วยศาสตราจารย์ ดร.อภินันท์ กำนัลรัตน์ กรรมการที่ปรึกษาและ
กรรมการสอบ รองศาสตราจารย์ ดร.สายีย์ สุดี และรองศาสตราจารย์ ดร.วัลลภ ลันดีประชา
กรรมการสอบ ซึ่งให้คำแนะนำและตรวจสอบแก่ให้วิทยานิพนธ์ให้เสร็จสมบูรณ์ยิ่งขึ้น

ขอขอบพระคุณ ดร.อรรถดษย จินตะเวช แห่งคณะเกษตรศาสตร์ มหาวิทยาลัยเชียงใหม่
ที่ได้อุ่นเคราะห์แบบจำลอง PNUTGRO และ Dr. G. G. Wilkerson แห่ง University of
Florida ที่ได้ให้คำแนะนำในการใช้แบบจำลอง PNUTGRO กับงานวิจัยด้านวัชพืช

ขอขอบคุณ เจ้าหน้าที่โครงการสถาปัตย์วิจัยและบริการกลาง คณะทรัพยากรธรรมชาติ
ซึ่งให้ความช่วยเหลือและความสอดคล้องต่างๆ ในการทำวิทยานิพนธ์ครั้งนี้

กราบขอบพระคุณ คุณแม่ ขอบคุณ น้ำแล่นน่องทุกคน บุตรและภรรยาที่อยู่ช่วยเหลือให้
กำลังใจ รวมทั้งคุณ สุรินร สุขตุก และคุณ Jarvis M. Sikes ที่ช่วยในการพิมพ์ต้นฉบับ ผู้เชี่ยวชาญ
ขอบพระคุณมา ณ โอกาสเดียว

พันล แพชนะ

สารบัญ

	หน้า
บทคัดย่อ	(3)
Abstract	(5)
กิตติกรรมประกาศ	(8)
สารบัญ	(9)
รายการตาราง	(11)
รายการภาพ	(12)
รายการตารางภาคผนวก	(13)
บทที่	1
1. บทนำ	1
บทนำด้านเรื่อง	1
การตรวจเอกสาร	4
1. แบบจำลองและการใช้แบบจำลองในการศึกษาการเจริญเติบโตของพืช	4
2. แบบจำลองการเจริญเติบโตของถั่วลิสง	9
วัตถุประสงค์	22
2. วัสดุ อุปกรณ์ และวิธีการ	23
วัสดุ อุปกรณ์	23
วิธีการทดลอง	23
การรวมรวมและบันทึกข้อมูล	24
การวิเคราะห์ข้อมูล	27
3. ผลการทดลอง	30
สภาพทางชีวภาพและกายภาพของชั้นดินนำเข้า	30
ความเหมาะสมของแบบจำลอง	40

ສາວນາຜູ້ (ຕ່ອ)

	หน้า
4. ວິຈາກົນ	49
5. ສຽງ	53
ເອກສາຮອ້າງອີງ	54
ກາຄົນວກ	61
ປະລົງວິດີຜູ້ເຂົ້າ	89

รายการตาราง

ตารางที่	หน้า
1 การเจริญเติบโตของวัชพืชที่ความหนาแน่นต่าง ๆ กันเมื่อ 36 และ 60 วันหลังจากปลูกถั่วลิสง	31
2 ปริมาณรังสีดูองอาทิตย์เหนือทรงผุ้ถั่влิสง ภายใต้ความหนาแน่นของ วัชพืชในกว้าง ในระดับต่าง ๆ กัน	33
3 การเจริญเติบโตและการพัฒนาการ ในช่วงต่าง ๆ ของถั่влิสงพันธุ์ไก นาน 9 เมื่อเปรียบเทียบกับการเจริญเติบโตของพันธุ์ Starr, Florunner และพันธุ์ Florigiant ซึ่งเป็นพันธุ์ที่ใช้ในการพัฒนา แบบจำลอง	36
4 ลักษณะประจำพันธุ์ของถั่влิสงพันธุ์ไกนาน 9 จากการปรับค่าเพื่อใช้ คำนวณในแบบจำลอง PNUTGRO	37
5 ชุดค่าสั่งของแบบจำลอง PNUTGRO ที่ต้องใช้ลักษณะประจำพันธุ์เป็น ข้อมูลนำเข้า	39
6 ค่าจริงและค่าที่คำนวณจากการเจริญเติบโตและการ ให้ผลผลิตของถั่влิสง	41
7 สหสมพันธ์ระหว่างผลผลิตถั่влิสงกับปริมาณรังสีดูองอาทิตย์เหนือทรง ผุ้ถั่влิสงและกับองค์ประกอบของผลผลิตของถั่влิสง	42
8 ค่าจริงและค่าที่คำนวณจากการเจริญเติบโตและการ ให้ผลผลิตของถั่влิสงภาย ใต้สภาพที่มีวัชพืชในกว้าง ในระดับความหนาแน่นต่าง ๆ	43
9 ผลกระทบของระดับความหนาแน่นวัชพืชในกว้าง ที่มีต่อผลผลิตถั่влิสง	45

รายการภาพ

ภาพที่	หน้า
1 โครงสร้างของแบบจำลอง PNUTGRO	11
2 ความสัมพันธ์ระหว่างจำนวนวันหลังปลูกกับปริมาณรังสีดูดองอาทิตย์ที่ถัวลิสง ได้รับ เมื่อมีวัชพืชในกว้างชั้นรุนแรงที่ระดับความหนาแน่นต่าง ๆ กัน	34
3 เปรียบเทียบผลผลิตถัวลิสงที่ได้จากการทำนายของแบบจำลองกับค่าที่วัดได้จริง [*] ในสนามในสภาพที่มีวัชพืชในกว้างชั้นรุนแรงที่ระดับความหนาแน่นต่าง ๆ กัน	47
4 ระดับความหนาแน่นวิกฤตของวัชพืชในกว้าง ชั้งผลผลิตถัวลิสงที่ปลูกก่อนนา [*] ในระบบชลประทานลดลงอย่างมีนัยสำคัญ (LSD ของผลผลิตวิกฤตที่ $P < 0.05$)	48

รายการตารางภาคผนวก

ตารางภาคผนวกที่	หน้า
1 ช้อมูลนำเข้าด้านกฎมิอาการในแฟ้มช้อมูล 99PTO108.W93 ที่ใช้กับ แปลงถั่วลิสงที่ปราศจากวัชพืชชนิดกวน	62
2 ช้อมูลนำเข้าด้านกฎมิอาการในแฟ้มช้อมูล 99PTO108.W93 ที่ใช้กับ แปลงถั่วลิสงที่มีวัชพืชชนิดกวน 25 เปอร์เซ็นต์	66
3 ช้อมูลนำเข้าด้านกฎมิอาการในแฟ้มช้อมูล 99PTO108.W93 ที่ใช้กับ [†] แปลงถั่วลิสงที่มีวัชพืชชนิดกวน 50 เปอร์เซ็นต์	70
4 ช้อมูลนำเข้าด้านกฎมิอาการในแฟ้มช้อมูล 99PTO108.W93 ที่ใช้กับ [†] แปลงถั่วลิสงที่มีวัชพืชชนิดกวน 75 เปอร์เซ็นต์	74
5 ช้อมูลนำเข้าด้านกฎมิอาการในแฟ้มช้อมูล 99PTO108.W93 ที่ใช้กับ [†] แปลงถั่วลิสงที่มีวัชพืชชนิดกวน 100 เปอร์เซ็นต์	78
6 ผลการวิเคราะห์ว่าเรียนของการเจริญเติบโตของวัชพืชในกว้าง ที่ระดับความหนาแน่นต่าง ๆ กัน	82
7 เปรียบเทียบปริมาณรังสีดวงอาทิตย์เหนือทรงพุ่มถั่วลิสงที่วัดจาก แปลงทดลองทุก ๆ 6 วัน ระหว่าง 36 – 102 วันหลังจากปลูก กับปริมาณรังสีดวงอาทิตย์จากสถานีตรวจสอบอากาศเกษตรจังหวัดพัทลุง	83
8 ผลการวิเคราะห์ว่าเรียนของการเจริญเติบโตและผลผลิตของถั่ว ลิสงและตัวน้ำฝนที่ใบ	84
9 ลักษณะประจำปีของถั่วลิสงพันธุ์ Starr, Florunner, และพันธุ์ Florigiant ในแบบจำลอง PNUTGRO	85
10 ผลการวิเคราะห์ว่าเรียนของการเจริญเติบโตและผลผลิตของถั่ว ลิสงที่ระดับความหนาแน่นของวัชพืชในกว้างต่าง ๆ กัน	86
11 ผลการวิเคราะห์ว่าเรียนของผลผลิตของถั่วลิสงที่ระดับความ หนาแน่นของวัชพืชต่าง ๆ กัน เปรียบเทียบโดยใช้ orthogonal polynomial	87
12 เปรียบเทียบผลผลิตถั่วลิสงและความหนาแน่นวิกฤตของวัชพืช โดยใช้ เกณฑ์ LSD ที่ระดับความเชื่อมั่น 95 และ 99 เปอร์เซ็นต์	88

บทที่ 1

บทนำ

บทนำต้นเรื่อง

ถั่วลิสง (Arachis hypogaea L.) เป็นพืชตระกูลถั่วที่นิยมปลูกกันมากในภาคใต้ โดยอาจปลูกเป็นพืชหมุนเวียนในนาข้าวก่อนฤดูการทำนา หรือปลูกเป็นพืชแซมยาง วัชพืชเป็นปัญหาสำคัญของการปลูกถั่วลิสงทั้ง 2 ระบบ การใช้สารกำจัดวัชพืชในถั่วลิสงสามารถทำได้ในการควบคุมกำจัดวัชพืชในเคน แต่ถ้าจะควบคุมกำจัดวัชพืชในกว้าง สารที่ใช้ส่วนใหญ่จะมีผลกระทบต่อการเจริญเติบโตของถั่วลิสง เกษตรกรส่วนใหญ่กำจัดวัชพืชในกว้าง สารที่ใช้ส่วนใหญ่จะมีผลกระทบต่อการเจริญเติบโตของถั่วลิสง ใช้เวลาและแรงงานมาก อีกทั้งการหากหัวอ่อนต้นถั่วลิสงด้วยการกำจัดวัชพืชในแปลงถั่วลิสง โดยทั่ว ๆ ไป จึงสามารถทำได้เนียงบางส่วนเท่านั้น วัชพืชที่ไม่ได้ถูกควบคุมกำจัดจะเก่งแย่งแข่งขันปัจจัยเพื่อการเจริญเติบโตกับถั่วลิสง ประเทศไทย (2532) ได้สรุปว่าความรุนแรงของการเก่งแย่งแข่งขันระหว่างวัชพืชกับฟืชปลูกจะสัมพันธ์โดยตรงกับการปราศรรค์ตัวเชิงกาล (time) และเทศะ (space) ของวัชพืชและฟืชปลูกในบริเวณที่ทำการปลูกนั้น ๆ การปราศรรค์ตัวของวัชพืชอันเนื่องมาจากการไม่ได้ควบคุมกำจัดเลย หรือควบคุมกำจัดได้เพียงบางส่วน เป็นการปราศรรค์ตัวเชิงเทศะ คือมีวัชพืชชนิดเดียวกันในระดับความหนาแน่นต่าง ๆ กันในแปลงปลูก และจะมีผลกระทบต่อผลผลิตของฟืชปลูกโดยตรง Zimdal (1980) รายงานว่า เมื่อความหนาแน่นของวัชพืชเพิ่มขึ้น ผลผลิตของฟืชปลูกจะลดลง และหากความหนาแน่นของวัชพืชเพิ่มขึ้นมาก ๆ ผลผลิตอาจจะลดลงระดับวิกฤต (critical reduction) คือลดลงอย่างมีนัยสำคัญทางสถิติ และมีผลกระทบถึงรายได้ของเกษตรกรด้วย ระดับวิกฤตนี้เรียกว่า threshold level คือเป็นระดับความหนาแน่นของวัชพืชที่ถือว่ามากที่สุดที่จะอนุโลมหรือปล่อยให้มีในแปลงได้ ระดับความหนาแน่นวิกฤตจะแตกต่างกันไปขึ้นกับชนิดของฟืชปลูก ชนิดของวัชพืช และสภาพแวดล้อมของบริเวณที่ทำการเพาะปลูก (ประเทศไทย ชีตพงศ์, 2532)

พืชปลูกกับวัชพืชเมื่อชั้นรวมกันจะเก่งแย่งแข่งขันกันเพื่อปัจจัยหลัก ๆ คือ แสง ความชื้น และธาตุอาหาร Aldrich (1987) กล่าวว่า ในสภาพที่มีความชื้นและอาหารเหมาะสม การเจริญเติบโตของพืชปลูกและวัชพืชเปลี่ยนแปลงตามสัดส่วนของแสงที่ได้รับ การมีวัชพืชชั้นรบกวนทำให้การได้รับแสงของพืชปลูกลดลง ส่งผลให้การเจริญเติบโตและผลผลิตของพืชปลูกลดลงด้วย พืชปลูกที่ได้รับแสงเพิ่มขึ้นทำให้การเจริญเติบโตและผลผลิตเพิ่มสูงขึ้น (ประวิตร โภสโนดร, 2534)

การได้รับแสงน้อยลงของพืชปลูกเมื่อมีวัชพืชชั้นรบกวนนั้น สาเหตุโดยตรงเกิดจากการที่วัชพืชไปบดบังแสง ส่วนสาเหตุโดยอ้อมเกิดจากการที่วัชพืชไปเก่งแย่งความชื้น ธาตุอาหาร และพื้นที่ ทำให้พืชปลูกเจริญเติบโต แต่ก็มีก้านและใบเพื่อรับแสงได้ไม่ดีเท่าที่ควร ในเชิงระบุลั่น การบดบังและการแข่งขันเพื่อปัจจัยแสงจะเป็นไปอย่างรุนแรง หากวัชพืชที่ชั้นรบกวนนั้นเป็นประจำ เกาะในกว้าง ทึบสีเขียวชันพืชในกว้างสามารถเดินโดยและแผ่ก้านได้มาก (Stoller and Wooley, 1985; Wiles and Wilkerson, 1991) และในการป้องกันลั่นลิง วัชพืชในกว้าง ส่วนใหญ่มีทรงนุ่มนวลกว่าลั่นลิง ทำให้สามารถบดบังแสงได้มาก ปริมาณรังสีดูดของอาทิตย์ที่ลั่นลิงได้รับจะลดน้อยลงมากกว่าปกติ เมื่อปริมาณรังสีดูดของอาทิตย์ที่ลั่นลิงได้รับลดลง การเจริญเติบโต การออกดอกและการติดฝักของลั่นลิงลดลงด้วย นอกจากนี้ลั่นลิงที่แข่งขันกับวัชพืชเจริญเติบโตด้านความสูงมากกว่าทางด้านซ้าย ทำให้มีผลต่อปริมาณเชื้อมที่แหงลงในดินอยู่ระดับสูงขึ้นเนื่องจากลำต้นลั่นลิงยืดตัว หากได้รับแสงก่อนรังสีเขียวชันทำให้สูญเสียความสามารถในการสร้างฝัก เกิดฝักน้อยลงและผลผลิตก็ลดลงด้วย (Zamski and Ziv, 1976; Rachie and Robert, 1974)

ในระบบการผลิตลั่นลิง ในการได้ การผลิตลั่นลิงในแต่ละสภาวะแวดล้อมมีขั้นตอนวัชพืช และสภาพความรุนแรงของการแข่งแย่งแข่งขันอาจแตกต่างกันไป ปาริชาติ ชัยลักษณาภูล (2533) ได้ทดลองปลูกลั่นลิงก่อนนาในระบบนาหน้าฝนในเขตจังหวัดพังงา พบว่าวัชพืชในกว้าง จำพวกเส้ง (*Pentapetes spp.*) แพร่ระบาดมากที่สุดในระบบนาเวศเกษตรดังกล่าว วัชพืชชนิดนี้มีลำต้นสูงประมาณ 80-100 เซนติเมตร ทำให้มีศักยภาพในการแข่งแย่งแข่งขันเพื่อปัจจัยแสงกับลั่นลิงมากพอสมควร กล่าวคือผลผลิตลั่นลิงลดลงอย่างมีนัยสำคัญ ที่ระดับความหนาแน่นของวัชพืชชนิดนี้ประมาณ 20 เปอร์เซ็นต์ ยังไม่มีรายงานสภาพการแข่งแย่งแข่งขันระหว่างวัชพืช กับลั่นลิงในระบบที่นาเซลปะรากาน ซึ่งชนิดของวัชพืชและความรุนแรงของการแข่งแย่งแข่งขันอาจแตกต่างกันออกไป อย่างไรก็ตาม ในปัจจุบันนี้การแข่งแย่งแข่งขันระหว่างพืชปลูกกับวัชพืชได้มี

การนำข้อมูลต่าง ๆ ที่เป็นปัจจัยและตัวแปรที่สำคัญในการแก่ง้วยชั้นมาประมวลและจัดทำเป็นแบบจำลอง (model) เพื่อใช้เป็นต้นแบบในการอธิบายกลไกของการแก่ง้วยชั้นและเป็นแนวทางในการทำนายผลผลิตของพืชปลูก ในส่วนแวดล้อมและชนิดของวัชพืชที่แตกต่างกันไป (Wiles and Wilkerson, 1991) ในกรณีของถั่วลิสง ยังไม่ได้มีการทำนายแบบจำลองเพื่ออธิบายและทำนายการเจริญเติบโตและการให้ผลผลิตของถั่влิสง เมื่ออยู่ภายใต้การแก่ง้วยชั้นกับวัชพืช มีแต่เพียงแบบจำลองการเจริญเติบโตและการให้ผลผลิตของถั่влิสง (PNUTGRO) ซึ่งพัฒนาขึ้นเพื่อทำนายการเจริญเติบโตและการให้ผลผลิตของถั่влิสง เมื่อมีวัชพืชชั้นรากวน ซึ่งพัฒนาโดย Boote และคณะ (1987) ดังนี้เพื่อให้การจัดการวัชพืชในถั่влิสง เป็นไปอย่างมีประสิทธิภาพยิ่งขึ้น จึงได้ทำการศึกษารูปแบบของการแก่ง้วยชั้นเพื่อปัจจัยการเจริญเติบโตระหว่างวัชพืชในกว้างกับถั่влิสง โดยนำเสนอแบบจำลอง PNUTGRO มาทดสอบเพื่อหาความเหมาะสมในการใช้แบบจำลองในการทำนายผลผลิตของถั่влิสงภายใต้สภาพการแก่ง้วยชั้นเพื่อปัจจัยแสงกับวัชพืชในกว้าง โดยแบบจำลองนี้ได้นำข้อมูลสิ่งแวดล้อม เช่น อุณหภูมิ ความชื้น และ แสงแดด ตลอดจนข้อมูลด้านการวิเคราะห์แบบจำลองถั่влิสงมาประมวลสถานการณ์ (simulation) และพัฒนาแบบจำลองเพื่อกำหนดการเจริญเติบโต และการพัฒนาการของถั่влิสงในแต่ละช่วงของการเจริญเติบโตตลอดจนผลผลิตที่ได้รับ เมื่อมีวัชพืชในกว้างชั้นรากวน การวิจัยนี้เน้นการศึกษาเพื่อทดสอบแบบจำลองโดยใช้เกณฑ์ระดับปริมาณรังสีดูดอาทิตย์เป็นตัวแปร โดยคาดว่าปริมาณรังสีจะผันแปรไปตามระดับความหนาแน่นของวัชพืชในกว้าง ที่ชั้นรากวนถั่влิสงซึ่งปลูกในนาช้าว ก่อนการทำนาในระบบเกษตรชลประทาน ภายใต้สภาพการจัดการซึ่งแนะนำโดยกรมส่งเสริมการเกษตร (2524) และ โดยวุฒิศักดิ์ พรหมประทาน และพจน์ พิมพชนิดย์ (2522) การเจริญเติบโตของถั่влิสงและวัชพืชในกว้างและข้อมูลสภาพแวดล้อมโดยเฉพาะปัจจัยแสงที่ดี ได้จริงในสนาม ถูกนำไปประมวลเพื่อการทดสอบแบบจำลอง และเพื่อนำไปสู่การปรับปรุงแบบจำลองให้สามารถนำไปใช้ประเมินการเจริญเติบโตและการให้ผลผลิตของถั่влิสง ซึ่งมีวัชพืชในกว้างชั้นรากวนได้อย่างเหมาะสมต่อไป

การตรวจเอกสาร

1. แบบจำลองและการใช้แบบจำลองในการศึกษาการเจริญเติบโตของพืช

1.1 ความหมายของแบบจำลอง

แบบจำลอง (model) หมายถึง การจำลองระบบ หรือลอกเลียนแบบระบบหนึ่ง ๆ มีวัตถุประสงค์ที่จะให้ผู้ศึกษา หรือเกี่ยวข้องกับระบบนั้น ๆ ได้เข้าใจ และเรียนรู้ถึงภาพรวม ของระบบได้ง่ายกว่าการดู หรือศึกษาถึงระบบจริง ๆ (ศักดา จงแก้ววัฒนา, 2536) หรือ การแสดงพฤติกรรมของระบบออกมายโดยใช้สมการทางคณิตศาสตร์มาอธิบายเพื่อให้เข้าใจถึง ความสัมพันธ์ขององค์ประกอบ และปัจจัยต่าง ๆ ในระบบ พร้อมทั้งสามารถใช้ในการทำนาย ผลลัพธ์ที่ได้จากการบนนั้น ๆ (de Wit, 1982)

1.2 ประเภทของแบบจำลอง

แบบจำลองสามารถแบ่งออกเป็น 2 ประเภท

1.2.1 แบบจำลองทางกายภาพ (physical model) เป็นระบบจำลองที่ถูกสร้าง ขึ้นมาแทนวัตถุลิงของที่มองเห็นโดยทั่ว ๆ ไป ได้แก่ แบบจำลองน้ำ แบบจำลองเชื่อน แบบจำลองรถยนต์ แบบจำลองเสื้อผ้า เป็นต้น

1.2.2 แบบจำลองทางสัญลักษณ์ (symbolic model) เป็นแบบจำลองที่ถ่ายทอด แสดงถึงความสัมพันธ์ขององค์ประกอบต่าง ๆ ของระบบในรูปสมการ หรือแผนภาพ ซึ่งแบ่ง ย่อยออกเป็น

1.2.2.1 แบบจำลองเชิงคุณภาพ (qualitative model)

แสดงถึงระบบโดยไม่มีการคำนวณค่าต่าง ๆ แต่จะแสดงถึงความสัมพันธ์ระหว่างองค์ประกอบ ของระบบในรูปสมการแผนภาพ (flow diagram)

1.2.2.2 แบบจำลองเชิงปริมาณ (quantitative model)

เป็นแบบจำลองที่สามารถทำนายค่าว่ามเปลี่ยนแปลงของระบบในอนาคตได้โดยสามารถแสดง ผลออกมานเป็นตัวเลขที่แน่นอนเชิงสามารถแบ่งย่อยได้เป็น

ก. แบบจำลองจากการสังเกต (empirical model)

เป็นแบบจำลองที่แสดงความสัมพันธ์ระหว่างองค์ประกอบของระบบในทางคณิตศาสตร์ โดยไม่ ได้คำนึงถึงความสัมพันธ์ในด้านกายภาพหรือชีวภาพ เช่นสมการสหสัมพันธ์ แสดงความสัมพันธ์ ระหว่างความหนาแน่นวัชพืชกับถัวลิงที่ปลูกในสภาพที่นาต้นฤดูฝน

$$Y = a - bX + cX^2$$

เมื่อ Y คือ ผลผลิตของถั่วลิสง และ X คือ ความหนาแน่นวัชพืช
จากสมการนี้จะเห็นได้ว่า ผลผลิตของถั่влิสงจะเปลี่ยนแปลงไปตามความ
หนาแน่นวัชพืชที่หันรากวน โดยผลผลิตจะลดลง เมื่อความหนาแน่นวัชพืชเพิ่มขึ้น อีกทาง
ก็ตามแบบจำลองจากการสังเกตไม่ได้อธิบายว่าทำไมเมื่อมีวัชพืชชั้นมาแก่งแย่งแข่งขัน
แล้วผลผลิตจึงลดลง

๒. แบบจำลองกล (mechanistic model)

เป็นแบบจำลองที่สามารถบ่งบอกถึงความสัมพันธ์ในทางกายภาพและชีวภาพ แบบจำลอง
นี้ได้รับความสนใจมากในปัจจุบัน เพราะ เป็นแบบจำลองที่แสดงถึงกลไกของระบบ และ
สามารถใช้ได้กับเครื่องคอมพิวเตอร์ล้วนๆ คุณค่า (personal computer) ซึ่งแต่เดิม
แบบจำลองกลนี้ใช้ได้เฉพาะเครื่องคอมพิวเตอร์แบบ main frame เท่านั้น ทำให้
สามารถวิเคราะห์ถึงเหตุผลที่เกิดขึ้นในระบบได้ง่ายขึ้น การใช้แบบจำลองกลในการ
จำลองระบบนี้สามารถศึกษาการเปลี่ยนแปลงขององค์ประกอบภายในระบบพร้อมกับการ
กำหนดการเปลี่ยนแปลงของระบบได้ แบบจำลองการเจริญเติบโตของพืช (plant growth
model) ที่มีอยู่ในปัจจุบันส่วนมากเป็นแบบจำลองกล เช่น DSSAT (Decision Support for
Agrotechnology Transfer) ใช้จำลองการเจริญเติบโตของ ข้าวโพด ข้าว ข้าวฟ่าง
ถั่влิสง ถั่วเหลืองและพืชไร่อื่น ๆ อีกหลายชนิด ซึ่งเป็นส่วนหนึ่งของโครงการวิจัยนานา
ชาติหรือ IBSNAT (International Benchmark Site Network for Agrotech-
nology Transfer) แบบจำลอง CERES (Crop Environment Resource Syn-
thesis) ใช้จำลองการเจริญเติบโตของถั่วพืช สร้าง โดย Jone และคณะ (1984)
ส่วนแบบจำลอง SOYGRO เป็นแบบจำลองที่ใช้เฉพาะจำลองการเจริญเติบโตของถั่วเหลือง
ได้รับการพัฒนาโดย Wilkerson และคณะ (1985) เพื่อช่วยในการตัดสินใจปลูกถั่วเหลือง
โดยอาศัยข้อมูลด้านภูมิอากาศ ดิน การเกษตรรวม และพันธุ์ถั่วเหลือง และยังมีแบบจำลอง
การเจริญเติบโตของพืชชนิดต่าง ๆ ที่ได้รับการสร้าง และหักมาจากสามารถใช้ประโยชน์ได้
อย่างกว้างขวาง

1.3 การสร้างแบบจำลอง

1.3.1 ขั้นตอนในการสร้างแบบจำลอง

ในการสร้างแบบจำลอง เพื่อจำลองสถานการณ์ที่เกิดขึ้นจริงในชุมชนที่นั่น สามารถแบ่งเป็นขั้นตอนและลักษณะสถานการณ์ที่เกิดขึ้นเพื่อเป็นตัวแปรในแบบจำลอง

Forrester (1971) และศักดิ์ จงแก้ววัฒนา (2536) ได้แสดงแนวทางในการสร้างไว้ดังนี้

1.3.1.1 ทำความเข้าใจระบบที่เป็นเนื้อหา (understanding of a system)

เรียนรู้ถึงปัญหาที่เกิดขึ้น ซึ่งจะนำไปสู่การกำหนดวัตถุประสงค์ของ การสร้างแบบจำลอง

1.3.1.2 กำหนดวัตถุประสงค์ (statement of objectives)

วัตถุประสงค์จะต้องระบุไว้อย่างชัดเจน เพราะเป็นส่วนที่สำคัญ ที่สุดของการดำเนินการขั้นต่อไปของการจัดทำระบบของเรื่องนี้ ๆ

1.3.1.3 กำหนดขอบเขตของระบบ (define the system)

กำหนดตามวัตถุประสงค์โดยกำหนดองค์ประกอบที่จะนำเข้ามาสู่ ระบบในการกำหนดขอบเขตหากพบว่ามีข้อมูลไม่夠เพียงพอ อาจจะเปลี่ยนแปลงขอบเขตของระบบได้ ในภายหลัง

1.3.1.4 การตรวจเอกสารและวิเคราะห์ข้อมูล (review literature and analyze data)

ในการสร้าง หรือพัฒนาแบบจำลอง การตรวจเอกสารจะเป็นสิ่ง สำคัญและเป็นประโยชน์ต่อความแม่นยำของแบบจำลอง นอกจากนี้การตรวจเอกสาร และการ วิเคราะห์ข้อมูลจะช่วยสร้างแนวความคิดในการสร้างแบบจำลองชั้นนำ

1.3.1.5 การสร้างแบบจำลอง (develop model)

ในขั้นตอนนี้ ความล้มเหลวขององค์ประกอบภายในระบบจะแสดง ออกมาในรูปของแผนผัง (diagram) โดยใช้ฟังก์ชันและสมการทางคณิตศาสตร์มาอธิบายถึง ความล้มเหลวขององค์ประกอบที่ใช้ในแบบจำลองนั้น

1.3.1.6 เชียนโปรแกรมและการทดสอบ โปรแกรม (implement model on computer)

ถ่ายทอดแบบจำลองให้อยู่ในรูปของ โปรแกรมคอมพิวเตอร์ เพื่อ นำไปจำลองระบบจริง แผนผังแสดงความล้มเหลวของระบบมีความสำคัญต่อการเชียนโปรแกรม

และรหัสคอมพิวเตอร์มาก ทั้งนี้โดยใช้ช้อมูลความสัมพันธ์ระหว่างองค์ประกอบจากช้อตที่

1.3.1.1 – 1.3.1.5 เป็นบรรทัดฐาน

1.3.1.7 ประเมินความแม่นยำ (verify) ปรับค่า (calibration)

และทดสอบแบบจำลอง (validate model)

เป็นการประเมินความแม่นยำของตรรศศาสตร์และรหัสคอมพิวเตอร์ที่ใช้ในโปรแกรมคอมพิวเตอร์ว่าสามารถอธิบายถึงระบบได้หรือไม่ และมีการปรับค่า参数ตาม iterative ให้มีความสามารถอธิบายถึงพฤติกรรมของระบบใกล้เคียงกับความเป็นจริง ซึ่งจะมีการทดสอบแบบจำลอง เปรียบเทียบผลจากการจำลองระบบกับค่าที่วัดได้ในแหล่งทดลอง เพื่อทดสอบแบบจำลองว่ามีความแม่นยำพอหรือไม่

1.3.1.8 วิเคราะห์การตอบสนองของแบบจำลอง (sensitivity analysis)

วิเคราะห์การตอบสนองของแบบจำลองเพื่อศึกษาพฤติกรรมของแบบจำลองเมื่อ parameter เปลี่ยนไป แบบจำลองจะตอบสนองต่อค่า parameter อย่างไร เมื่อผลลัพธ์ที่ได้เปลี่ยนแปลงถ้า parameter เปลี่ยนค่า

1.3.1.9 การประยุกต์ใช้จากแบบจำลอง (apply model)

เมื่อแบบจำลองสามารถอธิบายความสัมพันธ์ภายในระบบจริงได้แล้วแบบจำลองนี้ควรจะสามารถใช้ได้ในงานวิจัยอื่น ๆ ที่ไม่ได้เกี่ยวข้องกับการพัฒนาแบบจำลองและใช้ผลการตอบสนองของการใช้แบบจำลองเป็นแนวทางในการปรับปรุงแบบจำลองต่อไป

ปัจจุบันนี้ได้มีการศึกษาการใช้แบบจำลองการเจริญเติบโตของพืช (plant growth model) ในงานวิจัยทางด้านการเกษตรกันอย่างแพร่หลาย (Jongkaewwattha et al., 1992) ไม่ว่าจะเป็นการประเมินศักยภาพของผลผลิตพืช การประเมินกลยุทธ์ในการจัดการ (strategies evaluation) เพื่อลดความเสี่ยง และการวิเคราะห์ระบบการปลูกพืชในระยะยาวในเชิงของการให้ผลผลิต หรือการเปลี่ยนแปลงฐานอาหาร ในเดือน เป็นต้น แบบจำลองการเจริญเติบโตของพืชที่มีอยู่ในปัจจุบัน โดยทั่วไปแล้วจัดเป็นแบบจำลองกลซึ่งถูกสร้างขึ้นจากสมการทางคณิตศาสตร์ของความสัมพันธ์ระหว่างระบบต่าง ๆ ในต้นพืชและปัจจัยลึกลับล้อมในการเจริญเติบโต ซึ่งต้องอาศัยเครื่องคอมพิวเตอร์ในการทำงาน เนื่องจากมีความซับซ้อนของการคำนวณมาก แบบจำลองการเจริญเติบโตของพืชเป็นแบบจำลองที่ประกอบด้วยช้อมูลด้านภูมิอากาศ ดิน ลักษณะประจำพืช และสภาพแวดล้อมอื่น ๆ ตลอดจนกระบวนการหลักด้วยที่มีอิทธิพลต่อการเจริญเติบโตของพืช แบบจำลอง

สามารถแสดงความสัมพันธ์ของสิ่งต่างๆ ได้โดยใช้สมการทางคณิตศาสตร์เชิงวิเคราะห์ (de Wit, 1982) ข้อมูลภูมิอากาศประกอบด้วย อุณหภูมิสูงสุด-ต่ำสุดรายวัน รังสีดวงอาทิตย์ และปริมาณน้ำฝน ข้อมูลดินจะเน้นที่ปริมาณความชื้นที่เป็นประโยชน์สำหรับพืช ส่วนข้อมูลด้านลักษณะประจำพื้นที่นั้น ต้องการข้อมูลเกี่ยวกับความแตกต่างในแต่ละพื้นที่ โดยลักษณะประจำพื้นที่มีความสัมพันธ์กับปัจจัยสภาพแวดล้อม ในด้านการตอบสนองต่อปัจจัยในการเปลี่ยนแปลงการเจริญเติบโต และการสร้างน้ำหนักแห้งลักษณะของตัวแปรในแบบจำลองการเจริญเติบโตของพืชผู้ผลิต เป้าหมาย เชื่อ จำนวนฝัก ความสูง จำนวนชื้อ ความหนาแน่นของราก ชีวมวล และดัชนีพื้นที่ใบ เป็นต้น

1.3.2 ลักษณะของสถานการณ์ในแบบจำลองการผลิตพืช

Penning de Vries (1982) และ Penning de Vries และ van Keulen (1986) ได้จำแนกสถานการณ์ ซึ่งเป็นตัวแปรในแบบจำลองการผลิตพืชออกเป็น 4 ลักษณะตามปัจจัยที่มีผลต่อการผลิตของพืช โดยเริ่มที่ระดับปัจจัยการผลิตที่สำคัญไปสู่ระดับอื่น ๆ ที่ย่อยลงไป ได้ดังนี้

1.3.2.1 สถานการณ์ลักษณะที่ 1

เป็นแบบจำลองการเจริญเติบโตของพืชในสภาพที่มีชาติอาหาร

พอเพียงและมีความชื้นในดินเหมาะสมตลอดฤดูปลูก ดังนั้นอัตราการเจริญเติบโตของพืชจึงขึ้นกับสภาพภูมิอากาศอื่น ๆ เช่น รังสีดวงอาทิตย์ และอุณหภูมิ ซึ่งเป็นตัวกำหนดที่สำคัญต่อน้ำหนักแห้งของพืช องค์ประกอบหลักของผลผลิตในชั้นต่ำคือ น้ำหนักแห้งของใบ และต้น เนื้อเยื่อที่ใช้ในช่วงการขยายพันธุ์ พื้นที่ใบ และกระบวนการที่สำคัญได้แก่ การลังเคราะห์แสง การหายใจ และการเคลื่อนย้ายอาหารไปยังส่วนต่าง ๆ ของพืช

1.3.2.2 สถานการณ์ลักษณะที่ 2

การเจริญเติบโตของพืชถูกจำกัดโดยการขาดแคลนน้ำที่ช่วง

เวลาใดเวลาหนึ่ง ต่อมามีน้ำพอเพียง และเป็นประโยชน์ต่อพืช อัตราการเจริญเติบโตจะเพิ่มขึ้น และถูกกำหนดโดยสภาพภูมิอากาศ ตัวอย่างการผลิตระดับนี้ เช่น การปลูกพืชในสภาพที่มีการให้น้ำอย่างต่อเนื่อง แต่ไม่มีน้ำชลประทาน องค์ประกอบของผลผลิตระดับนี้คือ สมดุลของน้ำในต้นพืช และในดิน กระบวนการที่สำคัญในพืชคือ การคายน้ำของพืชที่ควบคู่ไปกับการลังเคราะห์แสง สำหรับกระบวนการที่สำคัญในดินคือ การสูญเสียของน้ำในดิน เช่น การระเหยของน้ำ การไหลซึมลึกลงไป และการไหลบ่า

1.3.2.3 สตานการผลักดันที่ 3

การเจริญเติบโตของพืชถูกจำกัดโดยในโตรเจนที่ช่วงเวลา

ต่าง ๆ โดยที่น้ำและภูมิอากาศเหมาะสมส่งผลกระทบช่วงการเจริญเติบโต การผลิตระดับนี้เกิดขึ้นในส่วนที่ใช้ปุ๋ยน้อย ในสภาพธรรมชาติทั่วไป การขาดในโตรเจนมีผลต่อการพัฒนาการของพืชในช่วงปลายของฤดูปลูก องค์ประกอบของระบบในการผลิตระดับนี้ผันแปรไปตามปริมาณในโตรเจนในดิน และในพืช กระบวนการผลิตที่สำคัญขึ้นอยู่กับการเคลื่อนย้ายองค์ประกอบของในโตรเจนในดินในรูปของความเป็นประ予以ชน์ต่อพืช การซึมล้ำง และการสูญเสียในโตรเจน การดูดซับในโตรเจนโดยราก การตอบสนองของการเจริญเติบโตต่อความเป็นประ予以ชน์ของในโตรเจนและการกระจายของในโตรเจนภายในพืชจากเนื้อเยื่อเก่าไปสู่ส่วนที่กำลังเจริญเติบโต

1.3.2.4 สตานการผลักดันที่ 4

การเจริญเติบโตของพืชถูกจำกัด โดยความเป็นประ予以ชน์ของธาตุฟอสฟอรัส หรือธาตุอาหารอื่น ๆ เช่น โปแตสเซียม ที่เวลาช่วงหนึ่ง ๆ และโดยที่ในโตรเจนน้ำ และอุณหภูมิเหมาะสมส่งผลกระทบช่วงการเจริญเติบโต องค์ประกอบที่สำคัญของระดับนี้ของระบบอยู่ที่ปริมาณฟอสฟอรัส หรือธาตุอาหารที่อยู่ในดินและในพืช และกระบวนการที่สำคัญที่สุดคือ การเคลื่อนย้ายฟอสฟอรัสในรูปอินทรีย์ และรูปอินทรีย์ ความเป็นประ予以ชน์จะแตกต่างกัน การดูดซับแร่ธาตุโดยรากพืช และการตอบสนองต่อการเจริญเติบโตของพืชในรูปของความเป็นประ予以ชน์ที่สมบูรณ์สำหรับพืชนั้น ขึ้นอยู่กับความเป็นประ予以ชน์ของฟอสฟอรัส ซึ่งมีความสัมพันธ์กับปริมาณในโตรเจนด้วย

2. แบบจำลองการเจริญเติบโตของถั่วลิสง (PNUTGRO)

Boote และคณะ (1987) ได้เสนอแบบจำลองการเจริญเติบโตของถั่влิสงที่มีชื่อว่า PNUTGRO เป็นแบบจำลองที่พัฒนาในช่วงปี ก.ศ. 1985-86 โดยการปรับรหัสและเปลี่ยนรายการเตอร์การนำเข้าจากแบบจำลองการเจริญเติบโตของถั่วเหลือง SOYGRO ในเวอร์ชัน 5.3 ที่พัฒนาโดย Wilkerson และคณะ (1983) แบบจำลอง PNUTGRO เป็น 1 ใน 3 ของแบบจำลองที่พัฒนาขึ้นในกลุ่มของการจำลองการปลูกถั่วเหลือง ถั่влิสงและถั่วฝักยาว ซึ่งเป็นส่วนหนึ่งของโครงการวิจัยนานาชาติที่มีชื่อว่า International Benchmark Site Network for Agrotechnology Transfer (IBSNAT)

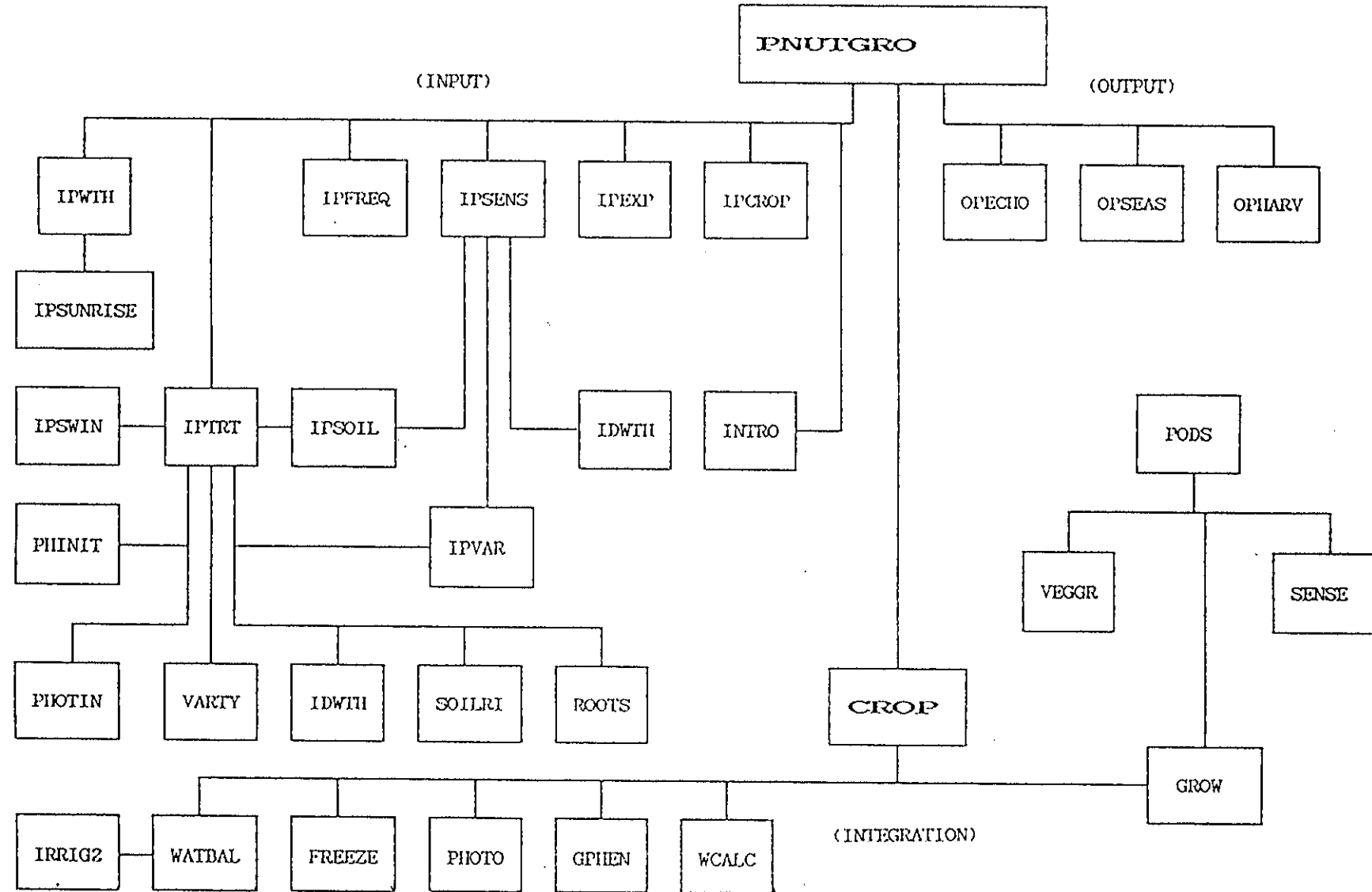
2.1 โครงสร้างและการทำงานของแบบจำลอง

PNUITGRO เป็นแบบจำลองที่พัฒนาขึ้นโดยการประมวลสถานการณ์และองค์ประกอบในการเจริญเติบโตของถั่วลิสง (ภาพที่ 1) ซึ่งเป็นผลมาจากการสังเคราะห์แสง และการหายใจของถั่влิสงทำให้เกิดการสร้างเนื้อเยื่อขึ้นมา แต่จะสร้างได้มากหรือน้อย และชักนำให้พืชเจริญเติบโตด้านล่างและในบริเวณด้านดกผลลัพธ์ ขึ้นอยู่กับสภาพความสมดุลของคาร์บอนและไนโตรเจนในพืช การเจริญเติบโตอันเป็นผลมาจากการสังเคราะห์แสง การหายใจ และการสร้างเนื้อเยื่อ สามารถวัดได้จากการเพิ่มขึ้นของน้ำหนักแห้ง ตัวนี้พื้นที่ใน การพัฒนาการอ่อน ฯ และการให้ผลผลิต ซึ่งตัววัดเหล่านี้จะเพิ่มขึ้นมากน้อยขึ้นอยู่กับสภาพของปัจจัยด้านภูมิอากาศ เช่น ปริมาณน้ำฝน รังสีดวงอาทิตย์ ความเยาว์ของวันและคืน ซึ่งปัจจัยเหล่านี้จะถูกประเมินทั้งทางด้านปริมาณและคุณภาพ และนำมาประมวล เป็นสถานการณ์เพื่อสร้างเป็นแบบจำลอง นอกจากนี้ปัจจัยด้านภัยภัย เช่น ดิน และต้นชีวภาพ เช่น ลักษณะประจำพื้นที่ของถั่влิสง เป็นข้อมูลมาประมวลด้วย โดยปัจจัยทางด้านดินใช้สถานภาพของธาตุอาหารในดิน และความสามารถของดินในการเก็บกักน้ำ สำหรับพืช การให้น้ำของน้ำในดิน การซึมของน้ำ การเคลื่อนที่ของน้ำในดิน ตลอดจนปริมาณน้ำที่เป็นประโยชน์กับถั่влิสง

การนำปัจจัยด้านภูมิอากาศและด้านภัยภัยมาประมวลเป็นสถานการณ์ เพื่อสร้างแบบจำลองนี้ Boote และคณะ (1987) และ Jone และคณะ (1985) ให้ความสำคัญกับกระบวนการในการเจริญเติบโตซึ่งเป็นผลมาจากการสังเคราะห์แสง การหายใจและการสร้างเนื้อเยื่อ ซึ่งสามารถวัดได้ในรูปของ น้ำหนักแห้ง ตัวนี้พื้นที่ใน การให้ผลผลิตและองค์ประกอบของผลผลิตต่าง ๆ ดังกล่าวแล้ว ซึ่งตัวชี้วัดเหล่านี้มีความสัมพันธ์กับค่าความสมดุลของคาร์บอน ในไตรเจน รวมทั้งตัวแปรอื่น จากลักษณะการทำงานของแบบจำลองดังกล่าวที่ จึงสามารถแยกองค์ประกอบทางโครงสร้างของแบบจำลองออกได้ 3 ส่วนคือ

2.1.1 ข้อมูลนำเข้า (input)

ประกอบด้วยชุดคำสั่ง (subroutine) ของโปรแกรมคอมพิวเตอร์ ที่แสดงถึงข้อมูลทั่วไปของแบบจำลอง (INTRO) ข้อมูลเกี่ยวกับภูมิอากาศ (IPWTH) ความเยาว์วัน (IPSUNRISE) การซึมผ่านของน้ำในดิน (INPSWIN) ช่วงการพัฒนาของถั่влิสง (PHINIT) แสงรายปีลูกและพื้นที่ใน (PHOTIN) วิธีการทดลอง (IPTRT)



ภาพที่ 1 โครงสร้างแบบจำลอง PNUTGRO (Boote et al., 1987)

การจัดการและการเจริญเติบโตที่ต้องการให้แสดงผลทางหน้าจอ (IPFREQ) การตอบสนองของแบบจำลอง (IPSENS) สถานที่ทดลองและการทดลอง (IPEXP) พารามิเตอร์ต่าง ๆ ของพืช (IPCROP) สถานีตรวจสอบอากาศและข้อมูลอากาศ (IDWTH) ชุดต้นที่ใช้ในการทดลอง (IPSOIL) พันธุ์ที่ใช้ในการทดลอง (IPVAR) การเจริญเติบโตของรากลิง (VARTY) ข้อมูลเกี่ยวกับดิน (SOILRI) และข้อมูลเกี่ยวกับราก (ROOTS)

2.1.2 การประสานห้องแม่และแปลงผล (integration and process)

เป็นชุดคำสั่งที่ใช้ในการคำนวณองค์ประกอบที่มีผลต่อการเจริญเติบโตของพืช (CROP) เช่น ประกอบด้วยสมดุลของน้ำในดิน (WATBAL) การคำนวณปริมาณน้ำที่ให้ (IRRIG 2) อุณหภูมิต่ำที่เป็นอันตรายต่อพืช (FREEZE) การลังเคราะห์แสงของพืช (PHOTO) การผัดนาการของพืช (GPHEN) การคำนวณข้อมูลทางภูมิอากาศ (WCALC) องค์ประกอบในช่วงการเจริญเติบโตทางลำต้น (VEGGR) การสร้างฝักและเมล็ด (PODS) และการคำนวณการร่วงหล่นของใบ (SENES) องค์ประกอบย่อยของแต่ละชุดคำสั่งนี้ สามารถกำหนดเป็นตัวคงที่และตัวแปรได้ การนำแบบจำลองนี้มาใช้ในการทดลองเพื่อศึกษาผลกระทบของปัจจัยลึกลับอื่นต่อการเจริญเติบโตของพืช สามารถกระทำได้โดย การกำหนดองค์ประกอบย่อยบางองค์ประกอบของชุดคำสั่งให้เป็นปัจจัยคงที่ และกำหนดปัจจัยที่ต้องการศึกษาผลกระทบให้เป็นตัวแปร เพื่อศึกษาวิเคราะห์ถึงการเปลี่ยนแปลงของพืชอันเนื่องมาจากการผันแปรของปัจจัยนั้น ๆ ผ่านกระบวนการการทำนายโดยแบบจำลอง (sensitivity analysis) ซึ่งในการทดลองนี้เน้นการเปลี่ยนแปลงของระดับปัจจัย แสง อันเป็นผลมาจากการมีวัชพืชในกว้างชันรุนแรงในระดับความหนาแน่นต่าง ๆ กัน

ในการเชื่อมโยงชั้นตอนการเจริญเติบโต ซึ่งประกอบด้วยการพัฒนาการ การลังเคราะห์แสง การหายใจ การเคลื่อนย้ายไปรตีน การร่วงหล่นลงใน และก้าน การสร้างผักนั่น ชั้นตอนการเจริญเติบโตต่าง ๆ ใน PNUTGRO ถูกเชื่อมโยงโดยชุดคำสั่ง GROW และ CROP ชุดคำสั่ง GROW เป็นการคำนวณศักยภาพการเจริญเติบโตของเปลือกผักและเมล็ด (PODS) องค์ประกอบการเจริญเติบโตของลำต้น (VEGGR) และคำนวณการร่วงหล่น (SENES) ซึ่งขบวนการทั้งหมดขอยกับชั้นตอนพัฒนาการของพืช การคำนวณประสิทธิภาพการเคลื่อนย้ายสารอาหารสำหรับผัก (XPOD สำหรับเมล็ด และเปลือกผัก XSEED สำหรับเมล็ด และ XSHELL สำหรับเปลือกผัก) สำหรับการคำนวณประสิทธิภาพ

การเคลื่อนย้ายสารอาหารสำหรับการเจริญเติบโตทางลำต้น (XLF, XSTEM และ XRT สำหรับใบ ลำต้น และราก) รายละเอียดของขบวนการเหล่านี้บรรจุไว้ในชุดคำสั่ง GROW เช่นกัน

ในชุดคำสั่ง CROP เป็นการคำนวณพัฒนาการของพืช (GPHEN) สมดุลของน้ำ (WATBAL) สภาพภูมิอากาศ (WCALC) และการสังเคราะห์แสง (PHOTO) เพื่อใช้ประกอบในการคำนวณของชุดคำสั่ง GROW ดังนั้นการคำนวณการเพิ่มน้ำหนักแห้งของพืชที่อธินายโดย Boote และคณะ (1978), Boote และคณะ (1987) และ Wilkerson และคณะ (1983) ซึ่งแสดงในสมการที่ 1-27 ดังต่อไปนี้ เป็นการอธินายกระบวนการใน การเพิ่มน้ำหนักแห้งของใบ ลำต้น เมล็ด เปลือกฝัก และราก ทั้งนี้เพื่อให้เพิ่มน้ำหนัก ได้จากการเพิ่มน้ำหนักแห้งของใบในช่วงพัฒนาการต่าง ๆ และน้ำหนักในจำเพาะ รวมทั้งความเสียหายของพืชที่เกิดจากแมลงหรือโรคทำลาย ก็ถูกคำนวณในชุดคำสั่งนี้ด้วย

2.1.2.1 การเพิ่มน้ำหนักแห้งต่อพื้นที่

การเพิ่มน้ำหนักแห้งต่อพื้นที่ ประเมินได้จากการสร้าง
เนื้อเยื่อของพืชซึ่งเป็นผลจากอัตราการสังเคราะห์แสงและการหายใจ ซึ่งสามารถเขียนเป็น
สมการได้ดังนี้

$$\frac{dW}{dt} = W^+ - S_L - S_M \dots \dots \dots (1)$$

เมื่อ

W = น้ำหนักแห้งทั้งหมดของพืช (ก./ตร.ม.)

S_L , S_M = อัตราการร่วงหล่นของใบ, ก้านใบ (ก./ตร.ม./วัน)

t = เวลา (วัน)

อัตราการสร้างเนื้อเยื่อใหม่ของพืช (W^+) ขึ้นอยู่กับการสังเคราะห์แสง (P_G)
การหายใจ (R_M) และประสิทธิภาพของการสร้างคาร์บอนไดออกไซด์ (E)

$$W^+ = E \times (P_G - R_M) \dots \dots \dots (2)$$

จากสมการที่ 2 ได้มีการปรับปรุงเป็นสมการการเจริญเติบโตของพืช โดยการหาการสัมประสิทธิ์หนักแห้งในส่วนการเจริญเติบโตของใบ (W_L) ลำต้น (W_S) ราก (W_R) ได้ดังนี้

$$\frac{dW_L}{dt} = X_L W^+ - S_L - M_L \quad \dots \dots (3)$$

$$\frac{dW_S}{dt} = X_S W^+ - S_S - M_S \quad \dots \dots (4)$$

$$\frac{dW_R}{dt} = X_R W^+ - S_R - M_R \quad \dots \dots (5)$$

เมื่อ M_L , M_S และ M_R = อัตราการเคลื่อนย้ายโปรตีนภายในใน ลำต้น
และราก(ก./ตร.ม./วัน)

S_L , S_S และ S_R = อัตราการตายของใบ ลำต้นและราก(ก./ตร.ม./วัน)

X_L , X_S และ X_R = ประสิทธิภาพการเคลื่อนย้ายสารในใบ ลำต้น และราก

ประสิทธิภาพของการเคลื่อนย้ายสารลังเคราะห์ไปยังใบ (X_L) ลำต้น (X_S)
และราก (X_R) ขึ้นอยู่กับระยะการพัฒนาการทางสุริวิทยาของพืช ในช่วงต่าง ๆ (Fehr
et al., 1971) ได้แก่ ช่วงของจากเมล็ดและโพลพันธุ์, ช่วงการเจริญเติบโตทางลำต้น,
ช่วงการลับพันธุ์ และอัตราการเจริญเติบโตของใบ ราก ลดลง, ช่วงการขยายเปลือกหุ้ม
เมล็ด การสร้างฝัก และการเจริญทางลำต้นลดลง, ช่วงการสร้างเมล็ด และช่วงการร่วง
หล่นของใบ การสัมประสิทธิ์หนักแห้งของรากนั้นในตัวเหลืองไม่มีการเคลื่อนย้ายโปรตีนไปสู่
ราก (M_R) เพราะว่ารากมีเฉพาะแหล่งรับสาร “โนไไซเดรต” (sink) เท่านั้น ซึ่งแตกต่าง
จากตัวลิสنجที่มีการเคลื่อนย้ายโปรตีนไปสู่รากด้วย (สมการที่ 5)

นอกจากตัวชี้ลิสنجที่ใน (LAI) เป็นตัวชี้สำคัญในการสร้างน้ำหนักแห้งของใบ ดัชนี
พื้นที่ในจะผันแปรโดยตรงกับความชื้นที่เป็นประจำทุกวันในเดือน ดังสมการ

$$\frac{dL}{dt} = k(\theta) X_L W^+ - v(S_L + M_L) \dots \dots (6)$$

เมื่อ L = ดัชนีพื้นที่ใบ

$$k(\theta) = \frac{\text{พื้นที่จำเพาะของใบพืชที่กำลังเจริญเติบโต}}{\text{ของความชื้นในดิน}} \quad (\text{ซม.}^2/\text{ก.})$$

$$v = \frac{\text{พื้นที่จำเพาะของทรงผู่เม}}{\text{}} \quad (\text{ซม.}^2/\text{ก.})$$

ในระยะสร้างฝัก (R4) ไม่มีการเจริญเติบโตของลำต้น ใน และหาก เพราะว่าอาหารถูกจำกัด เนื่องมาจากการสร้างฝัก ซึ่งเป็นแหล่ง sink ที่มีอิทธิพลมากกว่าในใบ และลำต้น ดังนั้นการเจริญทางใบและลำต้นจึงถูกจำกัด

สมการที่เป็นพื้นฐานในการแสดงความสัมพันธ์ระหว่าง P_G และรังสีดูงอาทิตย์และตัวพื้นที่ใน เป็นสมการที่พัฒนาโดย Charles-Edwards (1981) ดังนี้

$$P_G = \frac{a(\text{PAR})(1-e^{-k(L)})}{b(\text{PAR})+c} \quad \dots\dots (7)$$

เมื่อ PAR. = รังสีดูงอาทิตย์ที่ฟื้ชสังเคราะห์แสงได้ (เมกะจูล ต่อ ตร.ม.-วัน)
L = ตัวพื้นที่ใน

a,b,k = empirical coefficients ที่ใช้ในสมการการสังเคราะห์แสง

อุณหภูมิจะมีผลกระทบต่อการหายใจเพื่อการดำรงชีพ ดังสมการ คุณตรติก (quadratic) ซึ่งพัฒนาโดย McCree (1974)

$$R_M = R_{30} (1.066 + 0.0456T + 0.024T^2) \quad \dots\dots (8)$$

เมื่อ R_{30} = อัตราการหายใจเพื่อคงอยู่ที่อุณหภูมิ 30 องศาเซลเซียส
(นน. CH_2O ต่อ เนื้อเยื่อ-วัน)
T = อุณหภูมิ (เซลเซียส)

2.1.2.2 สมดุลการบ่อนยและการสระสมน้ำหนักแห้งในส่วนอื่น ๆ

Wilkerson และคณะ (1985) และ Heskett และคณะ (1971) กล่าวถึงแบบจำลองสมดุลการบอนสำหรับการเจริญเติบโตของพืชว่า เป็นแบบจำลองการสังเคราะห์แสงที่เปลี่ยนคาร์บอนไดออกไซด์ (CO_2) ไปเป็นคาร์บอโนไซเดต (CH_2O) ซึ่ง CH_2O บางส่วนเปลี่ยนไปเป็นเนื้อเยื่อพืชที่มีโครงสร้างไม่เกลูลาแทนต่างกันออกไป บางส่วนใช้ในการหายใจ บางส่วนใช้ในการสังเคราะห์เนื้อเยื่อใหม่ของพืช สำหรับการเพิ่มน้ำหนักแห้งของใบ (O_L) นั้น ขึ้นอยู่กับ CH_2O ที่ถูกใช้ในการสร้างเนื้อเยื่อใหม่ของใบ (G_{RL}) และ CH_2O บางส่วนถูกใช้ในกระบวนการหายใจเพื่อให้ได้รับพลังงานที่ได้จากการสังเคราะห์แสงส่วนความต้องการ CH_2O ในส่วนอื่น ๆ ของพืชมีลักษณะคล้ายคลึงกัน

สมการทั้งหมดสำหรับตัวแปรที่เปลี่ยนแปลงได้ต่าง ๆ สามารถเขียนได้เช่น

$$\begin{aligned} \frac{dC}{dt} &= P_G - R_M(W_L + W_S + W_F) - G_{RL}(\text{LGR}) - O_L(\text{LGR}) - G_{RS}(\text{SGR}) - O_S \\ &\quad (\text{SGR}) - G_{RF}(\text{FGR}) - F(\text{FGR}) \end{aligned} \quad \dots \dots \quad (9)$$

$$\frac{dW_L}{dt} = \text{LGR} \quad \dots \dots \quad (10)$$

$$\frac{dW_S}{dt} = \text{SGR} \quad \dots \dots \quad (11)$$

$$\frac{dW_F}{dt} = \text{FGR} \quad \dots \dots \quad (12)$$

$$\frac{dW}{dt} = \frac{dW_L}{dt} + \frac{dW_S}{dt} + \frac{dW_F}{dt} + \frac{dC}{dt} \quad \dots \dots \quad (13)$$

เมื่อ C = แหล่งสระสมการบอนไนโตรเจน (CH_2O ต่อ ตร.ม.)

P_G = อัตราการสังเคราะห์แสงสูงชี (นน. CH_2O ต่อ ตร.ม.-วัน)

R_M = อัตราการหายใจเนื้อการคงอยู่ (นน. CH_2O ต่อ เนื้อเยื่อ-วัน)

W = น้ำหนักเนื้อเยื่อพืชทั้งหมด (นน. เนื้อเยื่อ ต่อ ตร.ม.)

G_{RL} = สัมประสิทธิ์การหายใจของใบ (นน. CH_2O ต่อ นน. เนื้อเยื่อ)

G_{RS} = สัมประสิทธิ์การหายใจของลำต้นและราก (นน. CH_2O ต่อ นน. เนื้อเยื่อ)

- G_{RF} = สัมประสิทธิ์การหายใจของผล (นน. CH_2O ต่อ นน. เนื้อเยื่อ)
 LGR = อัตราการเจริญเติบโตเนื้อเยื่อใน (นน. เนื้อเยื่อ ต่อ ตร.ม.-วัน)
 SGR = อัตราการเจริญเติบโตของลำต้นและราก (นน. เนื้อเยื่อ ต่อ ตร.ม.-วัน)
 FGR = อัตราการเจริญเติบโตเนื้อเยื่อผล (นน. เนื้อเยื่อ ต่อ ตร.ม.-วัน)
 t = เวลา (วัน)
 θ_F = condensation of fruit tissue relative to CH_2O
 (นน. CH_2O ต่อ นน. เนื้อเยื่อ)
 θ_L = condensation of leaf tissue relative to CH_2O
 (นน. CH_2O ต่อ นน. เนื้อเยื่อ)
 θ_S = condensation of (stem plus root) relative to CH_2O
 (นน. CH_2O ต่อ นน. เนื้อเยื่อ)

ถ้าสมมติให้ แหล่งสัมชนิดของสารโน่นใช้เดรตเปลี่ยนไปเล็กน้อยในวันหนึ่ง ๆ
และกำหนด $dC/dt = 0$ ดังนั้น

$$dW_S/dt(\theta_S + G_{RS}) + dW_L/dt(\theta_L + G_{RL}) + dW_F/dt(\theta_F + G_{RF}) = P_G - R_M(W_L + W_S + W_F) \quad \dots \dots (14)$$

ถ้าใช้สัญลักษณ์ $W = W_L + W_S + W_F$ และปัจจัยการเคลื่อนย้ายสารลังเคราะห์
เช่น X_L คือ อัตราการเจริญเติบโตของใบ X_F คือ อัตราการเจริญเติบโตของผล และ
 $X_S = 1 - (X_L + X_F)$ คือ อัตราการเจริญเติบโตของต้นและราก ดังนั้นสมการที่ 14 สามารถ
เขียนใหม่ได้ดังนี้

$$dW/dt[X_L(\theta_L + G_{RL}) + X_F(\theta_F + G_{RF}) + X_S(\theta_S + G_{RS})] = P_G - R_M(W) \quad \dots \dots (15)$$

ซึ่งสามารถแสดงถึง ประสิทธิภาพทั้งหมดของการเปลี่ยน CH_2O ไปเป็น
ชีวมวลของพืช (E) ซึ่งเท่ากับน้ำหนักแห้งของเนื้อเยื่อพืชต่อน้ำหนักแห้งของ CH_2O และ
สามารถคำนวณได้โดย

$$E = 1/[X_L(\theta_L + G_{RL}) + X_F(\theta_F + G_{RF}) + X_S(\theta_S + G_{RS})] \quad \dots\dots (16)$$

ดังนั้นแบบจำลองอย่างง่ายคือ

$$dW/dt = E(P_G - R_M \times W) \quad \dots\dots (17)$$

$$dW_L/dt = X_L(dW/dt) \quad \dots\dots (18)$$

$$dW_F/dt = X_F(dW/dt) \quad \dots\dots (19)$$

อย่างไรก็ตาม P_G , X_L , X_S และ X_F ขึ้นอยู่กับรังสีดวงอาทิตย์และอุณหภูมิ

อัตราการสร้างเปลือกหุ้มเมล็ดขึ้นอยู่กับ CH_2O ที่ได้จากการสังเคราะห์แสง และ อุณหภูมิที่อยู่หูวิคงที่ อัตราการสร้างเปลือกคงที่ค่า CH_2O มีปริมาณเพียงพอ จำนวนเปลือก ที่เพิ่มขึ้นอาจอธิบายได้ดังสมการที่ 20

$$dSH(a,t)/dt + dSH(a,t)/da = 0 \quad \dots\dots (20)$$

เมื่อ	SH	= จำนวนเปลือกผึ้ง
	a	= อายุเปลือก (วัน)
	t	= เวลา (วัน)

เมื่อเปลือกอายุได้ 10 วัน อัตราการสร้างเปลือกสูงสุด และนี้จะเริ่มสร้าง เมล็ด อัตราการสร้างเมล็ดคำานวนได้จาก

$$dSD(t)/dt = (t) \times SH(10, t) \quad \dots\dots (21)$$

เมื่อ $t =$ ค่าเฉลี่ยจำนวนเมล็ดต่อเบล็อก (ฝัก) ที่เริ่มต้นการเจริญเติบโต เมื่อเวลา t

อัตราการสละสมน้ำหนักแห้งของเบล็อกและเมล็ด อธิบายโดยสมการ

$$\frac{dW_{SH}}{dt} = X_{SH} W^+ - M_{SH} \quad \dots \dots (22)$$

$$\frac{dW_{SD}}{dt} = X_{SD} W^+ + a(M_{SH} + M_L + M_S + M_R) \quad \dots \dots (23)$$

เมื่อ X_{SH} X_{SD} = fraction ของ PG เคลื่อนย้ายไปยังเบล็อกและเมล็ด
 a = อัตราส่วนของน้ำหนักเมล็ดที่ผลิตได้ต่อน้ำหนักโปรตีนที่ใช้ใน การผลิตเมล็ด

M_{SH} M_L M_S M_R = อัตราการเคลื่อนย้ายโปรตีนใน เบล็อก ใน ลำต้น และราก
 (ก./ตร.ม.-วัน)

โปรตีนที่สละสมในใบ (A_L) ลำต้น (A_S) เบล็อก (A_{SH}) และราก (A_R)
 สามารถเคลื่อนย้ายไปสร้างการเจริญเติบโตของเมล็ด อัตราการเคลื่อนย้ายโปรตีนไปสละสม
 ในเมล็ดอาจแสดงได้ดังนี้

$$\frac{dA_L}{dt} = B_{PL} X_S W^+ - M_L - a_L S_L^W \quad \dots \dots (24)$$

$$\frac{dA_S}{dt} = B_{PS} X_S W^+ - M_S - a_S S_S^W \quad \dots \dots (25)$$

$$\frac{dA_{SH}}{dt} = B_{PSH} X_{SH} W^+ - M_{SH} \quad \dots \dots (26)$$

$$\frac{dA_R}{dt} = B_{PL} X_R W^+ - M_R - a_R S_R^W \dots\dots (27)$$

เมื่อ B_{PL} B_{PS} B_{PSH} และ B_{PR} = สัดส่วนการเพิ่มน้ำหนักของใน ลำต้น เปลือก
และราก ซึ่งเป็นโปรตีนที่สามารถเคลื่อนย้าย^w
ไปยังเมล็ด

a_L a_S และ a_R = ความเร็วขั้นของโปรตีนในใบ ลำต้นและราก

S_L^W S_S^W และ S_R^W = น้ำหนักแห้งของใบและก้านใบที่ร่วงหล่น ราก
ที่แห้งตายต่อเวลา (ก./ตร.ม./วัน)

เมื่อการสร้าง เมล็ดสิ้นสุด การสะสมน้ำหนักแห้งของ เมล็ดอาจถูกจำกัดโดยปริมาณ
การ์โนไซเดรตที่เคลื่อนย้ายเข้ามา หรือโดยขนาดของ เมล็ดเอง และขึ้นอยู่กับการเคลื่อน
ย้ายของ โปรตีนในใบ ลำต้น และเปลือกหุ้มเมล็ดด้วย ทำให้การเจริญเติบโตของใบและ
ลำต้นถูกจำกัด โดยความต้องการของสาร์โนไซเดรตของเมล็ด จนไม่มีการสร้างใบใหม่หรือ
ซึ่งใหม่ต่อไป

2.1.3 ผลลัพธ์ที่ได้

ผลที่ได้จากการคำนวณประกอบด้วยการแสดงข้อมูลนำเข้าที่ใช้จำลองสถาน
การณ์ให้เห็นทางหน้าจอ (OPECHO) แบ่งการแสดงผลสำหรับการจำลองแต่ละฤดูกาล
(OPSEAS) และการบันทึกข้อมูลการเก็บเกี่ยว (OPHARV)

2.2 การใช้แบบจำลองกับงานวิจัยด้านวิชพืช

Wilkerson และคณะ (1990) ได้ใช้แบบจำลอง SOYGRO ซึ่งเป็นแบบจำลอง ที่
ได้รับการพัฒนาโดย มหาวิทยาลัยฟลอริดา ไปทดสอบ (validate) การเจริญเติบโตและ
การให้ผลผลิตของถั่วเหลือง ในสภาพการแกร่งแย่งแข่งขันเพื่อป้องกัน cocklebur
(Xanthium strumarium L.) ซึ่งเป็นวิชพืชในกว้างที่มีทรงผู้สูงกว่าถั่วเหลือง พบว่าเมื่อ
ความหนาแน่นของ cocklebur เพิ่มขึ้น เปอร์เซ็นต์การได้รับปริมาณรังสีดูองอาทิตย์ของทรง
ผู้สูงถั่วเหลืองจะลดลงซึ่ง เป็นการลดลงที่มีสัดส่วนใกล้เคียงกับเปอร์เซ็นต์การลดลงของผลผลิต

ถัวเหลือง ซึ่งจากการทดลองนี้ทำให้ในระยะต่อมาสามารถพัฒนาแบบจำลอง SOYGRO เป็น SOYWEED และสามารถทำนายโดยใช้แบบจำลอง SOYWEED ได้ว่า หากถัวเหลืองต้องแข่งขันกับวัชพืชในกว้างที่มีทรงผู้มีสูงกว่าถัวเหลือง ปริมาณรังสีดวงอาทิตย์ที่วัดได้เหนือทรงผู้มีสูงกว่าเหลือง แต่ได้ทรงผู้มีสูงกว่าพืชในกว้างมีส่วนล้มพืชโดยตรงกับการเจริญเติบโตและการให้ผลผลิตของถัวเหลือง ส่วนปริมาณรังสีดวงอาทิตย์ที่วัดได้จะมากน้อยเพียงใดนั้น ในกรณีของ cocklebur จะผันแปรโดยตรงกับความหนาแน่น กล่าวคือ เมื่อความหนาแน่นของ cocklebur เพิ่มขึ้นปริมาณรังสีดวงอาทิตย์ที่ได้ทรงผู้มีสูงของ cocklebur จะลดลงเป็นสัดส่วนโดยตรงกับความหนาแน่น

สำหรับกรณีวัชพืชในถัวลิสิงยังไม่ปรากฏว่ามีการนำแบบจำลอง PNUTGRO มาทดลอง แต่เมื่อลังเกตดูจากโครงสร้างและองค์ประกอบของแบบจำลอง PNUTGRO จะเห็นได้ว่าการสังเคราะห์แสงเป็นฐานที่สำคัญขององค์ประกอบทั้งหมด การสังเคราะห์แสงต้องการปัจจัยที่สำคัญคือ น้ำ ธาตุอาหาร และแสงแดด ในกรณีที่น้ำและธาตุอาหารไม่ได้มีส่วนจำกัด การที่ไม่แสงไม่พอเพียง ก็จะเป็นข้อจำกัดของการสังเคราะห์แสงได้ การแก่งแย่งแข่งขันระหว่างวัชพืชกับพืชปลูกในส่วนเหนือพื้นดิน จะแก่งแย่งแข่งขันเพื่อปัจจัยแสง เป็นหลัก และการแก่งแย่งแข่งขันจะเป็นไปในลักษณะบดบังแสง ไม่ใช่เกิดจากการมีแสงไม่เพียงพอ ซึ่งส่วนดังกล่าวหากมีวัชพืชชั้นรากถอนนิ่งในแปลงพืชการแก่งแย่งแข่งขันจะเป็นสถานการณ์ที่หลีกเลี่ยงไม่ได้ ถึงแม้ว่าปัจจัยแสงจะมีอยู่มากหลายแหล่งเช่นกัน โดยเฉพาะในการปลูกถัวลิสิง ซึ่งทรงผู้มีสูง เนื่องจากต้นบังแสง โดยวัชพืชมากกว่าพืชตระกูลถัวชนิดอื่น ๆ และยังเป็นวัชพืชในกว้างซึ่งแผ่กิ่งก้านและใบได้มาก อีกทั้งเป็นวัชพืชที่ควบคุมคุณภาพมากหากปราศจากปรุงภูมิในแปลงถัวลิสิงด้วยแล้ว การบดบังแสงจะเป็นไปอย่างรุนแรง และการแข่งขันเพื่อปัจจัยแสงจะทำให้ถัวลิสิงมีลำต้นสูงซึ่งจะทำให้ผลผลิตลดลงทั้งทางตรงและทางอ้อมด้วย การใช้แบบจำลอง PNUTGRO มาทดลองโดยใช้ปัจจัยแสงเป็นหลัก เพื่อนำมาสำหรับนำไปใช้ในการทำนายผลผลิตถัวลิสิงภายใต้สภาพการแก่งแย่งแข่งขันกับวัชพืชโดยเฉพาะวัชพืชในกว้าง จึงน่าจะเป็นแนวทางหนึ่งในการพัฒนาการผลิตถัวลิสิง โดยการนำเทคโนโลยีสมัยใหม่มาใช้ในโอกาสต่อไป

วัตถุประสงค์

1. เพื่อทดสอบความเน้นไปได้ของการใช้แบบจำลอง PNUTGRO ในการประเมินผลกระทบของวัชพืชต่อผลผลิตถั่วลิสงที่ปลูกในนาข้าวก่อนการทำนา ในระบบเกษตรลปะทาน โดยใช้ปัจจัยแสง ซึ่งจะเปลี่ยนแปลงไปตามสภาพการแก่งแย่งแข่งขันกับวัชพืชในกว้าง ในระดับความหนาแน่นต่าง ๆ กันเป็นตัวแปร
2. เพื่อศึกษาหาระดับความหนาแน่นวิกฤต (threshold) ของวัชพืชในกว้างที่มีผลต่อการรับแสงและการสร้างผลผลิตของถั่влิสงที่ปลูกในนาข้าวก่อนการทำนา ในระบบเกษตรลปะทาน

บทที่ 2

วัสดุ อุปกรณ์และวิธีการ

วัสดุ อุปกรณ์

1. พันธุ์พืช ได้แก่ ถั่วลิสง สายพันธุ์ไห焉น 9
2. ปุ๋ย สูตร 15 – 15 – 15
3. เครื่องวัดแสง (Monitor Sensors)
4. เครื่องวัดพื้นที่ใบ
5. เครื่องซึ่งติดต่อ 2 ตำแหน่ง
6. ตู้อบพืช
7. เครื่องคอมพิวเตอร์
8. แบบจำลอง PNUTGRO

วิธีการทดลอง

1. การปลูก ปลูกถั่влิสงในพื้นที่นาช้าวที่สถานีวิจัยท่าเชี่ยด จังหวัดพะลุง เมื่อวันที่ 7 เมษายน 2536 ก่อนปลูกได้ทำการไถพรวนตามด้วยการยกร่องเป็นแปลงย่อย (plot) ขนาด 5x2.5 เมตร ใช้ระยะปลูก 50x20 เซนติเมตร แปลงละ 5 แผล ปลูกก่ำลุมละ 4 เม็ด

2. การกำหนดวิธีการและการคุ้มครอง 试验มี 5 วิธีการ คือ

- 2.1 ความหนาแน่นวัชพืช 0 เปอร์เซ็นต์ ของส่วนไม่กำจัดวัชพืชเลย
- 2.2 ความหนาแน่นวัชพืช 25 เปอร์เซ็นต์ ของส่วนไม่กำจัดวัชพืชเลย
- 2.3 ความหนาแน่นวัชพืช 50 เปอร์เซ็นต์ ของส่วนไม่กำจัดวัชพืชเลย
- 2.4 ความหนาแน่นวัชพืช 75 เปอร์เซ็นต์ ของส่วนไม่กำจัดวัชพืชเลย
- 2.5 ความหนาแน่นวัชพืช 100 เปอร์เซ็นต์ ของส่วนไม่กำจัดวัชพืชเลย

ใช้แผนการทดลองแบบ Randomized Complete Block Design 4 ชั้น

เมื่อถัวลิสงอายุประมาณ 20 วันหลังออก ถอนแยกให้เหลือหลุมละ 2 ต้น และสร้างความหนาแน่นของวัชพืช โดยการนับจำนวนต้นวัชพืชในแปลงที่มีความหนาแน่น 100 เปอร์เซ็นต์ คือไม่กำจัดวัชพืชเลยซึ่ง เฉลี่ยประมาณ 65 ต้นต่อตารางเมตร และทำการถอนวัชพืชในแต่ละแปลง ให้เหลือเป็นเปอร์เซ็นต์ของสภาพไม่กำจัดวัชพืชเลย ตามที่กำหนด ในแต่ละวิธีการทดลอง การกำหนดความหนาแน่นของแต่ละชั้น ใช้แปลงที่มีความหนาแน่น 100 เปอร์เซ็นต์ ในชั้นนั้น ๆ เป็นเกณฑ์เปรียบเทียบ ไส้สูญญี่สูตร 15 - 15 - 15 อัตรา 156.25 กิโลกรัมต่อเฮกตาร์ เมื่อถัวลิสงออกได้ 20 วัน และ 60 วัน โดยวิธีรอยห้างแควร

การรวมรวมและนักทึกช้อมูล

1. ช้อมูลด้านภูมิภาค

รวบรวมช้อมูลในช่วงระหว่างการทดลองจากสถานีตรวจอากาศ เกษตรพัฒนาจังหวัดพัทลุง ช้อมูลที่รวบรวมนั้นนับทั้งตามฐานข้อมูลแบบของ minitab data set ในแบบฟอร์ม C (IBSNAT, 1986; IBSNAT, 1988) ประกอบด้วยอุณหภูมิสูงสุด - ต่ำสุด ปริมาณน้ำฝน และ ปริมาณรังสี ดวงอาทิตย์ (เมกะจูลต่อตารางเมตร) ซึ่งทุกช้อมูลต้องรวมเป็นรายวัน

ปริมาณรังสีดวงอาทิตย์เนื้อท壤ผู้ถัวลิสง เป็นช้อมูลนำเข้าที่สำคัญของแบบจำลอง PNUTGRO ภายใต้ชุดคำสั่ง PHOTIN ช้อมูลที่นำเข้าเพื่อประมวลผลสถานการณ์ เป็นค่าปริมาณรังสี ดวงอาทิตย์เนื้อท壤ผู้ถัวลิสงในแต่ละวัน ซึ่งในสภาพที่ไม่มีวัชพืชรบกวน ใช้ค่ารังสีที่วัดได้โดย สถานีตรวจอากาศ เกษตรพัฒนาจังหวัดพัทลุง และเปรียบเทียบยืนยันโดยค่ารังสีเนื้อท壤ผู้ถัวลิสง ในสภาพปราศจากวัชพืชรบกวนที่วัดโดยเครื่อง Monitor Sensors ทุก ๆ 6 วัน นับจากวันที่ 36 หลังจากปลูก สำหรับในสภาพที่มีวัชพืชรบกวน เมื่อวัชพืชในกว้าง เริ่มมีความสูง เทื่อถัวลิสง และเมื่อวัชพืชมีความสูงสูงสุด ใช้ค่ารังสีดวงอาทิตย์เนื้อท壤ผู้ถัวลิสงซึ่งอยู่ใต้ทรองผู้ถัวลิสงที่วัดโดยเครื่อง Monitor Sensors ทุก ๆ 6 วัน นับจากวันที่ 36 หลังจากปลูกไปจนถึง 102 วัน ซึ่งเป็นช่วงที่วัชพืชเพิ่มเติบโตและถัวสูกแก่ทางสีริวิทยา

ค่ารังสีดวงอาทิตย์ใต้ทรองผู้ถัวลิสงที่วัดทุก ๆ 6 วัน ถูกนำไปคำนวณหาค่าของปริมาณรังสี ดวงอาทิตย์เนื้อท壤ผู้ถัวลิสง ในสภาพที่ไม่มีวัชพืชรบกวน กับปริมาณรังสีเนื้อท壤ผู้ถัวลิสงที่มี วัชพืชรบกวนในทุก ๆ 6 วัน ทำให้ได้ค่าเฉลี่ยความลังพันธ์ ซึ่งสามารถใช้ประเมินค่ารังสีดวงอาทิตย์

อาทิตย์เห็นอกรงผู้มีถัวลิสงหรือให้อกรงผู้มีวัชพืชในระดับความหนาแน่นต่าง ๆ กันเป็นรายวัน หรืออาจนำค่าปริมาณรังสีที่วัดทุก ๆ 6 วัน ไปคำนวณเพื่อหาสมการความสัมพันธ์ของปริมาณรังสีด้วยอาทิตย์เห็นอกรงผู้มีถัวลิสงกับจำนวนวันที่เพิ่มน้ำหลังปลูก ซึ่งจะทำให้สามารถใช้สมการนี้คำนวณหาค่าปริมาณรังสีด้วยอาทิตย์เห็นอกรงผู้มีถัวลิสง ในแต่ละวัน ภายใต้ความหนาแน่นของวัชพืชในระดับต่าง ๆ กันได้ เช่นกัน ส่วนผลกราฟจากความหนาแน่นของวัชพืชในระดับต่าง ๆ ที่มีต่อปริมาณรังสีด้วยอาทิตย์เห็นอกรงผู้มีถัวลิสงนั้น ศึกษาโดยการเปรียบเทียบความแตกต่างของรังสีด้วยอาทิตย์เห็นอกรงผู้มีถัวลิสง ภายใต้ความหนาแน่นของวัชพืชในระดับต่าง ๆ ที่วัดในระยะที่วัชพืชเริ่มสูง เห็นอกรงและระยะที่วัชพืชสูงสุดและที่เฉลี่ยตลอดฤดูปลูก

2. ข้อมูลดิน

รวบรวมข้อมูลคุณสมบัติทางเคมีของดินที่ระดับ 0 - 15 เซนติเมตร ประกอบด้วย ข้อมูล ความเป็นกรด - ด่าง ของดิน เปอร์เซ็นต์อินทรีย์คาร์บอน และฟอสเฟตที่ เป็นประโยชน์ โดยใช้ข้อมูลของชุดดิน T134 ของกรมพัฒนาที่ดินและกรมชลประทาน (กรมพัฒนาที่ดิน, 2530; กรมพัฒนาที่ดิน, 2533 และ Royal Irrigation Department, 1989)

3. ข้อมูลเกี่ยวกับวัชพืชและถัวลิสง

3.1 ข้อมูลต่อเนื่อง

เป็นการรวบรวมข้อมูลเกี่ยวกับวัชพืชและถัวลิสง เพื่อประเมินสภาวะและความรุนแรงของการแข่งขันเพื่อปัจจัยแสง โดยใช้เกณฑ์ความสูงและดัชนีพื้นที่ใบ เป็นตัวชี้วัด คือ

3.1.1 วัดความสูงของวัชพืชและถัวลิสงทุก ๆ 6 วัน โดยสูงกว่าอย่างละ 5 ต้น

ในบริเวณที่วัดแสง

3.1.2 วัดดัชนีพื้นที่ใบของวัชพืชและถัวลิสงเมื่อ 36, 48, 60, 72 และ 84 วัน

หลังจากปลูก

3.2 ข้อมูลจำเพาะ

3.2.1 บันทึกกระบวนการเจริญเติบโตของถัวลิสงตั้งแต่ VE (ระยะที่ใบเลี้ยงต้นดิน ขึ้นมาอยู่ในระดับผิวดิน) VO (ระยะที่ใบเลี้ยงแต่ออกเต็มที่) V1 (ระยะที่ข้อได้ห้อยน้ำมีใบจริงคลื่นผ่าออก) จนถึง R7 (ระยะเก็บเกี่ยว ลังเกตได้จากผิวดินในของผักเปลี่ยนสี)

3.2.2 เก็บเกี่ยวผลผลิตเมื่อถัวลิสงอายุได้ประมาณ 100 วันหลังจากปลูกโดยทำการเก็บเกี่ยวจาก 2 แควาภัยใน แควาละ 4 เมตร (รวมพื้นที่เก็บเกี่ยว 4 ตารางเมตร) ส่วนวัชพืชตัดเฉพาะส่วนที่เห็นอุดินจากพื้นที่ 1 ตารางเมตร บริเวณรอบแควที่ทำการเก็บเกี่ยวผลผลิต

3.3 ข้อมูลอื่น ๆ

3.3.1 จำนวนกึงต่อตันของถัวลิสงในระยะเก็บเกี่ยว สูงสันบแปลงละ 10 ตัน จาก 2 แควาภัยใน

3.3.2 จำนวนผักต่อตัน นับเฉพาะผักที่มีเมล็ดเต็ม (ผักที่ไม่ฝ่อ) หลังจากผ่านเดือนไว้ 7 วัน จากแควที่เก็บเกี่ยวผลผลิตแควละ 1 เมตร

3.3.3 ผลผลิต นำผักที่เก็บเกี่ยวตามข้อ 3.2.2 มาล้างเอาดินออก ผึ้งแต่ไว้ 7 วัน แล้วซึ่งน้ำหนัก นำมากะเทาะเปลือกซึ่งน้ำหนักเมล็ด นำเมล็ด 100 กรัมไปตรวจหาความชื้นนำค่าความชื้นที่ตรวจหาได้ไปคำนวณปรับความชื้นผลผลิตที่ระดับมาตรฐาน 12 เปอร์เซ็นต์ แล้วคำนวณหาผลผลิตต่อเฮกตาร์โดยใช้สูตร

$$\text{ผลผลิต} = \frac{\text{น้ำหนักผัก} \times 10,000 \times 100}{\text{ผู้ที่เก็บเกี่ยว}} - \frac{\text{ความชื้นของเมล็ดที่ตรวจหาได้}}{1,000} \times 100 = 12$$

3.3.5 นำเมล็ดหลังจากกะเทาะเปลือกแล้วจากข้อ 3.3.4 จำนวน 100 เมล็ด มาซึ่งหน้าหนัก แล้วคำนวณปรับความชื้นของเมล็ดที่ระดับความชื้นมาตรฐาน 12 เปอร์เซ็นต์

3.3.6 เปอร์เซ็นต์กะเทาะ คำนวณได้จากสูตร

$$\text{เปอร์เซ็นต์กะเทาะ} = \frac{\text{น้ำหนักเมล็ด}}{\text{น้ำหนักผัก}} \times 100$$

3.3.7 น้ำหนักแห้งตันถัว นำตันถัวลิสงในพื้นที่เก็บเกี่ยวมา 1 ตารางเมตร อบให้แห้งในตู้อบที่อุณหภูมิ 60 องศาเซลเซียส เป็นเวลา 3 วัน แล้วซึ่งหน้าหนักเพื่อคำนวณน้ำหนักแห้ง

3.3.8 น้ำหนักแห้งวัชพืช นำวัชพืชที่เก็บเกี่ยวจากพื้นที่ 1 ตารางเมตร บริเวณแควที่เก็บเกี่ยวผลผลิตถัวลิสง อบให้แห้งในตู้อบที่อุณหภูมิ 60 องศาเซลเซียส เป็นเวลา 3 วัน แล้วซึ่งน้ำหนักเพื่อคำนวณหน้าหนักแห้งวัชพืชต่อเฮกตาร์

การวิเคราะห์ข้อมูล

1. ชนิดและการเจริญเติบโตของวัชพืช

บันทึกชนิดของวัชพืชที่พบและวิเคราะห์ผลกราฟของความหนาแน่นวัชพืชต่อความสูงและต้นน้ำพืชที่ใบของวัชพืช ใช้โปรแกรม IRRISTAT วิเคราะห์ว่าเรียนซ์และเปรียบเทียบค่าเฉลี่ยโดย DMRT (Duncan's Multiple Range Test)

2. ปริมาณรังสีดูดอาทิตย์

การเปรียบเทียบปริมาณรังสีดูดอาทิตย์รายวัน หาได้จากการนำค่าปริมาณรังสีดูดอาทิตย์ที่วัดจากสนามเนื้อท壤ผุ่มถั่วลิสิงเมื่อไม่มีวัชพืชทุก ๆ 6 วัน เปรียบเทียบปริมาณรังสีดูดอาทิตย์ที่วัดโดยสถานีตรวจอากาศเกษตรพัทลุง เพื่อประเมินความเหมาะสมสมของค่าที่วัดโดยสถานีตรวจอากาศ ในการที่จะนำมาใช้เป็นข้อมูลนำเสนอในลักษณะ เป็นปริมาณรังสีดูดอาทิตย์รายวัน ในชุดคำสั่ง PHOTIN หากมีผลต่างของค่าที่วัดได้ในสนามและค่าที่วัดที่สถานีตรวจอากาศไม่เกิน 10 เปอร์เซ็นต์ จะถือว่าสอดคล้องกัน สามารถนำค่าที่วัดจากสถานีตรวจอากาศไปใช้ได้ และในการหาปริมาณรังสีดูดอาทิตย์เนื้อท壤ผุ่มถั่วลิสิงเป็นรายวัน ภายใต้สภาพที่มีวัชพืชรบกวนในระดับความหนาแน่นต่าง ๆ กัน วิธีการคำนวณใช้ปริมาณรังสีดูดอาทิตย์เนื้อท壤ผุ่มถั่วลิสิงที่วัดทุก ๆ 6 วัน เป็นเกณฑ์ ใช้โปรแกรม SAS สร้างสมการเพื่อหาค่าความสัมพันธ์ของปริมาณรังสีดูดอาทิตย์ในสภาพที่มีวัชพืชกับปริมาณรังสีดูดอาทิตย์ในสภาพที่ไม่มีวัชพืชรบกวน โดยเทียบให้ปริมาณรังสีดูดอาทิตย์ในสภาพที่ไม่มีวัชพืชเป็น 100 เปอร์เซ็นต์ และคำนวณกลับเป็นค่าปริมาณรังสีดูดอาทิตย์ที่ต่างกันในวันต่าง ๆ ทางจูเลียน (ตารางภาคฤดูกาลที่ 1 - 5)

เปรียบเทียบปริมาณรังสีดูดอาทิตย์เนื้อท壤ผุ่มถั่วลิสิงที่ไม่มีและที่มีวัชพืชในระดับความหนาแน่นต่าง ๆ กัน โดยการวิเคราะห์ว่าเรียนซ์ และเปรียบเทียบความแตกต่าง โดยใช้ DMRT

3. ลักษณะประจำน้ำ

เปรียบเทียบลักษณะประจำน้ำของพันธุ์ไทนาน 9 ที่ได้จากการบันทึกในสนามกับลักษณะประจำน้ำของถั่วลิสิงพันธุ์ Starr, Florunner และ Florigiant ซึ่งเป็นพันธุ์ที่ใช้ในการพัฒนาแบบจำลอง PNUTGRO ในสหรัฐอเมริกา เพื่อศึกษาว่าพันธุ์ไทนาน 9 มีลักษณะ

ประจำพันธุ์ที่สอดคล้องกับพันธุ์เหล่านี้หรือไม่ หากมีความเหมาะสมสมสอดคล้องกันในลักษณะประจำพันธุ์ลักษณะนี้ ก็จะถือว่าสามารถใช้พันธุ์ไทยนั้น 9 มาทดสอบแบบจำลองนี้ได้ และเพื่อให้ได้ลักษณะประจำพันธุ์ของพันธุ์ไทยนั้น 9 ครบถ้วนก่อนจะนำเข้าชุดคำสั่ง PHINIT, IPVAR และ VARTY ก็จะนำลักษณะประจำพันธุ์ของพันธุ์ทั้ง 3 พันธุ์มาตรฐานนี้ไปเปรียบเทียบ โดยใช้ค่าพารามิเตอร์ของพันธุ์ที่มีความแตกต่างกันไม่เกิน 10 เปอร์เซ็นต์แล้วปรับเป็นลักษณะประจำพันธุ์ของไทยนั้น 9 เพื่อนำเข้าในชุดคำสั่งของแบบจำลอง PNUTGRO ต่อไป

4. ประเมินความเหมาะสมสมของแบบจำลอง

โดยเปรียบเทียบค่าทำนายและค่าวัดได้จริงของการเจริญเติบโตและผลผลิตถั่วลิสง โดยหากค่าจริงและค่าทำนายต่างกันไม่เกิน 10 เปอร์เซ็นต์ ถือว่าสอดคล้องกัน (*Sadasivum et al.*, 1989) อันเป็นการยืนยันความเหมาะสมสมของแบบจำลอง

4.1 วิเคราะห์ความเหมาะสมสมของถั่влิสงพันธุ์ไทยนั้น 9 ในการใช้กับแบบจำลอง PNUTGRO
เปรียบเทียบการเจริญเติบโตของถั่влิสง โดยใช้ค่าที่วัดได้จริงในสنانมกับค่าที่ได้จาก การทำนายเมื่อใช้แบบจำลอง PNUTGRO โดยในการทำนายใช้ช้อมูลนำเข้าประเทกภูมิอากาศและ ช้อมูลลักษณะประจำพันธุ์ที่ปรับค่าแล้ว เพื่อประเมินความเหมาะสมสมของแบบจำลอง ภายใต้สภาพ ปราศจากวัชพืช

4.2 วิเคราะห์ความเหมาะสมสมของแบบจำลอง เมื่อมีวัชพืช

เมื่อมีวัชพืชขึ้นรบกวน วิเคราะห์สหสัมพันธ์ของผลผลิตกับปริมาณรังสีดูองอาทิตย์ที่วัดได้จริง ในสนาน เพื่อประเมินว่าปริมาณรังสีดูองอาทิตย์มีอิทธิพลต่อผลผลิตหรือไม่ เนื่องได วิเคราะห์ สหสัมพันธ์ของผลผลิตกับองค์ประกอบของผลผลิตเพื่อประเมินว่าองค์ประกอบของผลผลิตใดบ้างที่ผันแปรไปตามผลผลิตเมื่อมีวัชพืชขึ้นรบกวนในระดับความหนาแน่นต่าง ๆ กัน อันจะเป็นส่วนหัวย อธิบายการผันแปรของผลผลิตได้ชัดเจนยิ่งขึ้น เปรียบเทียบความแตกต่างของค่าที่วัดได้จริงและค่าที่ได้จากการทำนายของของผลผลิตและองค์ประกอบของผลผลิตที่มีสหสัมพันธ์อย่างมีนัยสำคัญกับผลผลิต ซึ่ง เป็นการทำนายโดยใช้แบบจำลอง PNUTGRO เพื่อประเมินความเหมาะสมสมสอดคล้องของการใช้แบบจำลอง PNUTGRO ในการใช้ทำนายผลผลิตเมื่อมีวัชพืชขึ้นรบกวนในระดับความหนาแน่นต่าง ๆ กัน ทำให้ปริมาณรังสีดูองอาทิตย์ซึ่งเป็นช้อมูลนำเข้าในชุดคำสั่ง PHOTIN ผันแปรไป การมีความสอดคล้องของค่าจริงและค่าทำนายในหลายประเทกขององค์ประกอบผลผลิต ถือเป็นตัวชี้วัดความเหมาะสมสมของแบบจำลองนี้ ในการใช้ทำนายผลผลิตของถั่влิสง ซึ่งประเมินโดยการใช้ปริมาณรังสีดูองอาทิตย์แทนอุตุนิยมวัสดุถั่влิสง เป็นตัวแปร

5. วิเคราะห์ผลกรบทองความหนาแน่นวัชพืชต่อผลผลิตและองค์ประกอบผลผลิตตัวลิง

เพื่อหาความหนาแน่นวิกฤต

วิเคราะห์ผลผลิตและองค์ประกอบผลผลิตที่มีสหสัมพันธ์อย่างมั่นยำคัญกับผลผลิตโดยการวิเคราะห์ว่าเรียนซ์ เปรียบเทียบความแตกต่างของผลผลิตและองค์ประกอบของผลผลิตที่ได้จากการวัดจริง ภายใต้สภาพการแปรผันกับวัชพืชในระดับความหนาแน่นต่าง ๆ กัน โดยใช้ DMRT สร้างสมการโดยการคำนวณเพื่อหาความสัมพันธ์เชิงรีเกรชั่น ระหว่างผลผลิตและความหนาแน่นของวัชพืช ว่าเป็นลักษณะเส้นตรงหรือเส้นโค้ง แล้ววิเคราะห์หาผลผลิตที่ลดลงถึงขั้นวิกฤต เพื่อใช้ประเมินค่าความหนาแน่นวิกฤตของวัชพืช โดยใช้เส้นกราฟสหสัมพันธ์เชิงรีเกรชั่น และค่าความแตกต่างของผลผลิตในระดับวิกฤตซึ่งเปรียบเทียบโดยใช้ค่า LSD (Least Significant Difference) ที่ระดับความเชื่อมั่น 95 เปอร์เซ็นต์ แล้วใช้ค่าผลผลิตวิกฤตแทนค่าในสมการ หรือประเมินโดยใช้กราฟความสัมพันธ์เชิงรีเกรชั่น เพื่อกำหนดค่าความหนาแน่นวิกฤตของวัชพืช ต่อไป

บทที่ 3

ผลการทดลอง

1. สภาพทางกายภาพและชีวภาพของข้อมูลนำเข้า

1.1 วัชพืชและการเจริญเติบโตของวัชพืช

ประมาณ 99 เปอร์เซ็นต์ของวัชพืชที่พันในแปลงทดลองจะเป็นพอกโทางเทง (*Physalis minima*) โดยมี เส้ง (*Pentapetes spp.*) และเทียนนา (*Jussiaea linifolia*) ขึ้นปะปนบ้างเพียงเล็กน้อย วัชพืชจะมีความสูงโดยเฉลี่ยประมาณ 15 เซนติเมตร ในระยะ 36 วันหลังจากปลูกถั่วลิสง (ตารางที่ 1) โดยจะมีความสูงมากที่สุดที่ระดับความหนาแน่น 100 เปอร์เซ็นต์ ซึ่งจะสูงกว่าที่ระดับความหนาแน่น 25 เปอร์เซ็นต์ อย่างมีนัยสำคัญ และขณะเดียวกันดัชนี้พันที่ในของวัชพืชในระยะนี้จะมีค่ามากที่สุดที่ระดับความหนาแน่นวัชพืช 100 และขณะเดียวกันดัชนี้พันที่ในของวัชพืชในระยะนี้จะมีค่ามากที่สุดที่ระดับความหนาแน่นวัชพืช 100 เปอร์เซ็นต์ ซึ่งจะมากกว่าที่ความหนาแน่นวัชพืชในระดับอื่นอย่างมีนัยสำคัญ เช่นกัน อย่างไรก็ตาม เปอร์เซ็นต์ ซึ่งจะมากกว่าที่ความหนาแน่นวัชพืชในระดับอื่นอย่างมีนัยสำคัญ เช่นกัน อย่างไรก็ตาม จากการสังเกตพบว่าความสูงของถั่влิสงและของวัชพืชในระยะนี้มีพอ ๆ กัน การแข่งขันเพื่อปัจจัยแสงในระยะนี้จังยังไม่เกิดขึ้นโดยชัดเจนในทุก ๆ ระดับความหนาแน่นของวัชพืช ในระยะ 60 วันหลังจากปลูกถั่влิสง วัชพืชจะมีความสูงเฉลี่ยประมาณ 94 เซนติเมตร โดยจะมีความสูงแตกต่างกันอย่างมีนัยสำคัญ (ตารางภาคผนวกที่ 6) กล่าวคือมีความสูงมากที่สุดที่ระดับความหนาแน่น 25 เปอร์เซ็นต์ และจะมีความสูงมากกว่าที่ระดับความหนาแน่น 50 - 100 เปอร์เซ็นต์ อย่างมีนัยสำคัญ อย่างไรก็ตามแม้ว่าความสูงจะต่างกันแต่จากการสังเกตพบว่าวัชพืชทุกระดับความหนาแน่นก็มีความสูงกว่าถั่влิสง ปัจจัยสำคัญที่มีต่อการแข่งขันเพื่อปัจจัยแสงจังหวะจะเป็นดัชนี้พันที่ในของวัชพืช ซึ่งดัชนี้พันที่ในของวัชพืชในระยะนี้มีค่าสูงสุดที่ความหนาแน่น 100 เปอร์เซ็นต์ และมีแนวโน้มที่จะลดลงเมื่อความหนาแน่นของวัชพืชลดลง ระยะ 36 และ 60 วันหลังจากปลูกนั้น จะตรงกับระยะ 133 และ 157 วันทางจูเลียน (Julian' date)

1.2 ปริมาณรังสีดวงอาทิตย์เห็นอกรวงนุ่มถั่влิสง

ในสภาพที่ไม่มีวัชพืชรบกวน ปริมาณรังสีดวงอาทิตย์เห็นอกรวงนุ่มถั่влิสงเมื่อ 36 และ 60 วันหลังจากปลูก มีค่า 20.7 และ 19.5 เมกะจูลต่อตารางเมตร ตามลำดับ ซึ่งมีค่า

ตารางที่ 1 การเจริญเติบโตของวัชพืชที่ความหนาแน่นต่าง ๆ กัน เมื่อ 36 และ 60 วันหลังจากปลูกถั่วลิสง

ความหนาแน่น วัชพืช %	ระยะเวลาหลังปลูก (วัน)				
	36		60		
	ความสูง (ซม.)	ต้นพืชที่ใบ	ความสูง (ซม.)	ต้นพืชที่ใบ	
0	0.0	0.00	0.0	0.00	
25	10.1b	0.24c	103.3a	2.09a	
50	14.1ab	0.31c	92.7b	2.12a	
75	14.8ab	0.90b	92.8b	2.04a	
100	17.1a	1.34a	88.3b	2.25a	
CV(%)	19.7	24.9	10.7	6.9	

เปรียบเทียบความแตกต่างค่าเฉลี่ย โดยวิธี DMRT ที่ระดับความน่าจะเป็นได้ 0.05 ค่าความสูงและต้นพืชที่ใบ ที่ตามด้วยพยัญชนะเดียวกัน ไม่แตกต่างกันอย่างมีนัยสำคัญ

ใกล้เคียงกับปริมาณรังสีที่ 133 และ 157 วันทางจูเลียน ที่วัดโดยสถานีตรวจสอบภาคเกษตรจังหวัดพัทลุง (ตารางภาคผนวกที่ 7) ซึ่งช่วยให้สามารถยืนยันได้ว่าปริมาณรังสีที่วัดโดยสถานีตรวจสอบภาคเกษตรจังหวัดพัทลุงสามารถนำมาใช้เป็นข้อมูลปริมาณรังสีรายวัน ซึ่งจะนำเข้าประมวลในชุดคำสั่ง PHOTIN ในส่วนไม่มีวัชพืชรบกวนได้

ในส่วนที่มีวัชพืชใบกว้างรบกวน ปริมาณรังสีด้วยอัตราติดต่อหนึ่งองศาต่ำวัลสิงในระยะ 36 วันหลังจากปลูกในทุก ๆ ระดับความหนาแน่นของวัชพืช จะไม่แตกต่างอย่างมีนัยสำคัญจากส่วนที่ไม่มีวัชพืช (ตารางที่ 2) ซึ่งเป็นการแสดงว่าการเพิ่มชั้นเพื่อป้องกันแสงยังไม่เกิดขึ้นในระยะนี้ แต่ในระยะ 60 วันหลังจากปลูก ปริมาณรังสีติดต่อหนึ่งองศาต่ำวัลสิงจะลดลงอย่างมีนัยสำคัญ (ตารางภาคผนวกที่ 8) กล่าวคือที่ไม่มีวัชพืชชั้นรบกวนมีปริมาณรังสีด้วยอัตราติดต่อหนึ่งองศาต่ำวัลสิง 25 เมตร เดือนต่อตารางเมตร แต่ที่ระดับความหนาแน่นของวัชพืช 25 เปอร์เซ็นต์ ปริมาณรังสีด้วยอัตราติดต่อหนึ่งองศาต่ำวัลสิงลดลงเหลือเพียง 2.0 เมตร เดือนต่อตารางเมตร และเมื่อความหนาแน่นของวัชพืชเพิ่มขึ้น ปริมาณรังสีด้วยอัตราติดต่อหนึ่งองศาต่ำวัลสิงเพิ่มขึ้นอย่างมีนัยสำคัญ

ความแตกต่างของรูปแบบการลดลงของปริมาณรังสีด้วยอัตราติดต่อหนึ่งองศาต่ำวัลสิงในระยะ 36 และ 60 วันหลังจากปลูก ภายใต้สภาพความหนาแน่นต่าง ๆ กันของวัชพืชตั้งที่กล่าวมาข้างต้นให้เห็นว่าวัชพืชใบกว้างที่พบในการทดลองนี้ มีผลทำให้ปริมาณรังสีด้วยอัตราติดต่อหนึ่งองศาต่ำวัลสิงลดลง ส่วนจะลดลงเท่าใดนั้นขึ้นกับความหนาแน่นของวัชพืชและระยะเวลาหลังจากปลูก และเมื่อนำผลการทดลองนี้ไปคำนวณเพื่อสร้างเป็นสมการ โดยใช้ค่าปริมาณรังสีด้วยอัตราติดต่อหนึ่งองศาต่ำวัลสิงที่วัดได้ในทุก ๆ 6 วัน ในช่วง 36 - 102 วันหลังจากปลูก (ภาพที่ 2) ก็จะได้สมการความสัมพันธ์ของรังสีด้วยอัตราติดต่อหนึ่งองศาต่ำวัลสิงกับจำนวนวันหลังจากปลูกที่ระดับความหนาแน่นต่าง ๆ กันของวัชพืชใบกว้างที่ชั้นรบกวน คือ

$$\text{ที่ } 25 \text{ เปอร์เซ็นต์วัชพืช } Y = 2307.995 - 27.646X + 0.083X^2 \quad (r^2 = 0.904)$$

$$\text{ที่ } 50 \text{ เปอร์เซ็นต์วัชพืช } Y = 2069.148 - 24.758X + 0.074X^2 \quad (r^2 = 0.904)$$

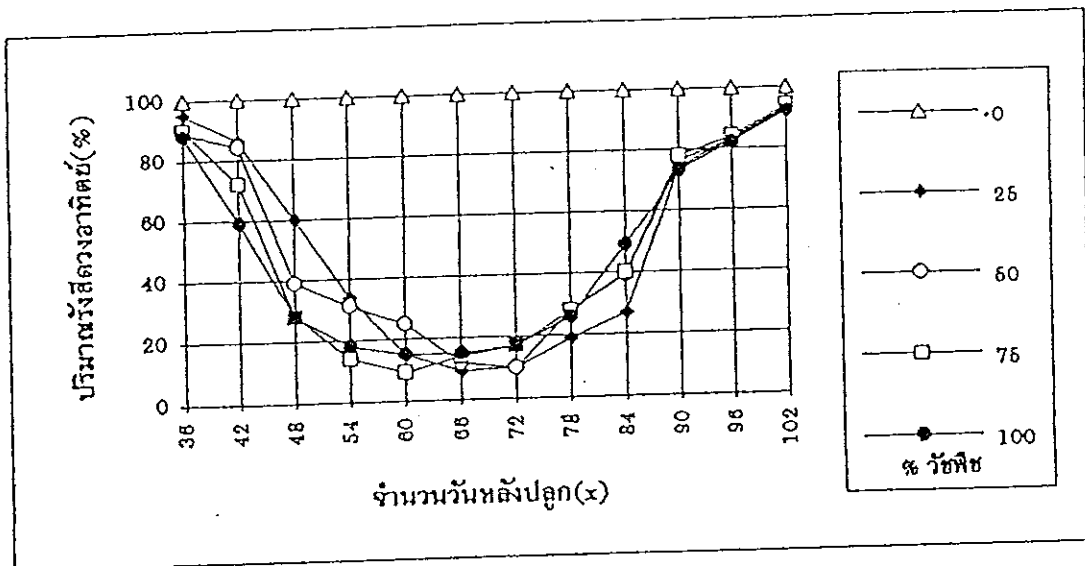
$$\text{ที่ } 75 \text{ เปอร์เซ็นต์วัชพืช } Y = 2052.077 - 24.946X + 0.076X^2 \quad (r^2 = 0.886)$$

$$\text{ที่ } 100 \text{ เปอร์เซ็นต์วัชพืช } Y = 1900.999 - 23.176X + 0.071X^2 \quad (r^2 = 0.918)$$

ตารางที่ 2 ปริมาณรังสีดูดอากาศยานห้องนั่งถ้วนสิ่ง ภายใต้ความหนาแน่นของวัชพืชในกว้าง ในระดับต่าง ๆ กัน

ความหนาแน่น วัชพืช	ระยะเวลาหลังปลูก (วัน)		เฉลี่ยตลดอกคูปลูก รังสีดูดอากาศยาน
	36	60	
%	รังสีดูดอากาศยาน	รังสีดูดอากาศยาน	
0	20.7a	19.5a	19.5a
25	20.7a	2.0c	9.8b
50	20.6a	2.7b	9.9b
75	20.3a	2.9b	9.8b
100	20.2a	2.4bc	9.7b
CV(%)	2.5	4.9	1.5

เปรียบเทียบความแตกต่างค่าเฉลี่ย โดยวิธี DMRT ที่ระดับความเนินไปได้ 0.05 ค่าปริมาณรังสีดูดอากาศยาน
ตามด้วยพยัญชนะเดียวกัน ไม่แตกต่างกันอย่างมีนัยสำคัญ



ภาพที่ 2 ความสัมพันธ์ระหว่างจำนวนวันหลังปลูกกับปริมาณรังสีความอาทิตย์ที่ถูกบล็อกได้รับ เมื่อมีรังสีไนโตรเจนในร่องรอยที่ระดับความหนาแน่นต่าง ๆ กัน

เมื่อ Y คือปริมาณรังสีดวงอาทิตย์เหนือทรงนั่มถ้วลิสง มีหน่วยเป็นเปอร์เซ็นต์ของปริมาณรังสีดวงอาทิตย์เหนือทรงนั่มถ้วลิสง ในแปลงที่ปราศจากวัชพืชรบกวน และ X คืออายุถ้วลิสง เป็นวันทางจุลเลียน (เริ่มวัดปริมาณรังสีดวงอาทิตย์เหนือทรงนั่มถ้วลิสงวันแรกเท่ากับ $97 + 36 = 133$ วันทางจุลเลียน) สมการดังกล่าวมีประโภชน์ในการคำนวณหาค่าปริมาณรังสีดวงอาทิตย์เหนือทรงนั่มถ้วลิสงในแต่ละวัน ภายใต้สภาพความหนาแน่นของวัชพืชในระดับต่าง ๆ กัน โดยการคำนวณให้เป็นค่าเมกะจูลต่อตารางเมตร (ตารางภาคผนวกที่ 2 - 5) แล้วนำไปใช้เป็นข้อมูลนำเข้าในชุดคำสั่ง PHOTIN ของแบบจำลอง PNUTGRO ที่ทำการทดสอบว่าสามารถนำมาใช้ได้หรือไม่เพียงได้ในสภาพการผลิตถ้วลิสงที่มีวัชพืชขึ้นรบกวน

1.3 ลักษณะประจำพันธุ์

ในแบบจำลอง PNUTGRO ลักษณะประจำพันธุ์ในด้านการเจริญเติบโตและพัฒนาการของถ้วลิสง เป็นปัจจัยสำคัญสำหรับการประเมินวัลลภ้าในชุดคำสั่ง IPVAR, IPSUNRISE, PHINIT และ VARTY จากการศึกษาลักษณะประจำพันธุ์บางประการของถ้วลิสงพันธุ์ไทยนาน 9 ชั่งได้จากการทดลองครั้งนี้ในสภาพไม่มีวัชพืชขึ้นรบกวนเปรียบเทียบกับพันธุ์ถ้วลิสงที่ใช้ในการพัฒนาแบบจำลอง PNUTGRO คือพันธุ์ Starr, Florunner และพันธุ์ Florigiant พนวัพันธุ์ไทยนาน 9 มีลักษณะประจำพันธุ์ที่สอดคล้องกับกัน 3 พันธุ์ดังกล่าว (แตกต่างกันไม่เกิน 10 เปอร์เซ็นต์) ยกเว้นระยะลั่นสุดการสร้างฝัก และระยะสูกแก่ทางสีริวิทยา ที่พันธุ์ไทยนาน 9 มีระยะลั่นกว่าพันธุ์ที่ใช้พัฒนาแบบจำลอง (ตารางที่ 3) จากลักษณะประจำพันธุ์เท่าที่ตรวจสอบได้ให้สามารถนำค่ามาปรับโดยเปรียบเทียบกับลักษณะประจำพันธุ์ของพันธุ์ Starr, Florunner, และพันธุ์ Florigiant (ตารางภาคผนวกที่ 9) ทำให้สามารถปรับค่าหาลักษณะประจำพันธุ์ที่สำคัญอื่น ๆ ของพันธุ์ไทยนาน 9 ดังปรากฏในตารางที่ 4 ซึ่งจำเป็นต้องใช้ในการประเมินวัลลภ้าในชุดคำสั่ง IPVAR (ตารางที่ 5) เพื่อใช้ทดสอบแบบจำลอง PNUTGRO สำหรับการแก่งแย่งแข่งเพื่อปัจจัยแสงต่อไป

ตารางที่ 3 การเจริญเติบโตและการพัฒนาการในช่วงต่าง ๆ ของถั่วลิสิงพันธุ์ไทยาน 9
เมื่อเปรียบเทียบกับการเจริญเติบโตของพันธุ์ Starr, Florunner และ Florigiant
ซึ่งเป็นพันธุ์ที่ใช้ในการพัฒนาแบบจำลอง

	ไทยาน 9	Starr	Florunner	Florigiant	ความแตกต่าง
-----จำนวนวันหลังจากปลูก*-----					
เริ่มปลูก	0	0	0	0	0.0
งอกโผล่พันธุ์ (V0)	6	6	5	5	0.0
สร้างใบ unifoliol (V1)	7	7	9	9	0.0
ออกดอก	(R1) 26	32	27	27	3.8
ฝักแรก	(R3) 41	49	42	42	2.4
ฝักเต็มที่	(R4) 47	56	48	52	2.1
สิ้นสุดการสร้างฝัก	(R6) 59	70	68	68	15.3
สูงภายนอกส่วนวิทยา	(R7) 100	117	122	121	17.0

* จำนวนวันหลังปลูกที่ใช้ทดสอบได้ แสดงถึงการใช้กลุ่มลักษณะประจำพันธุ์ของพันธุ์นี้ ๆ
มาเปรียบเทียบเพื่อปรับค่าพารามิเตอร์ลักษณะประจำพันธุ์ของพันธุ์ไทยาน 9

ตารางที่ 4 ลักษณะประจำพันธุ์ของถั่วลิสงพันธุ์ ไกนา 9 จากการปรับค่าเพื่อใช้คำนวณใน
แบบจำลอง PNUTGRO

ชื่อตัวแปร	คำอธิบาย	พันธุ์
		ไกนา 9
IVAR	ลำดับพันธุ์	99*
VRNAME	ชื่อพันธุ์	Tainan 9*
IVGRP	เขตการปลูก	01
VARN1	ชีดฟิล์มล่างของความยาวกลางคืน (ชม.)	5.00
VARNO	ชีดฟิล์มความยาวกลางคืน (ชม.)	12.16
VARTH	วันทางสีรีวิทยาเมื่อห่วงเวลากลางคืนต่ำกว่า VARN1	01.00
VARDH	วันทางสีรีวิทยาเมื่อห่วงเวลากลางคืนสูงกว่า VARNO	1.00
VARTHR(1)	ห่วงเวลาทางสีรีวิทยาปลูกถังอก (วัน)	6.00*
VARTHR(2)	ห่วงเวลาทางสีรีวิทยาจากปลูกถัง V1 (วัน)	7.00*
VARTHR(3)	ห่วงเวลาทางสีรีวิทยาจาก V1 ถึง V2 (วัน)	0.0
VARTHR(4)	ห่วงเวลาการสะสัมช่วงแสงจาก V2 ถึง V4 (วัน)	0.0
VARTHR(5)	ห่วงเวลาทางสีรีวิทยาจาก V4 ถึง R1 (วัน)	13.0*
VARTHR(6)	ห่วงเวลาการสะสัมแสงจาก R1 ถึง R3 (วัน)	21.00*
VARTHR(7)	ห่วงเวลาการสะสัมช่วงแสงจาก R1 ถึง R4 (วัน)	21.2*
VARTHR(8)	ห่วงเวลาการสะสัมช่วงแสงจาก R1 ถึง R5 (วัน)	27.00*
VARTHR(9)	ห่วงเวลาการสะสัมช่วงแสงจาก R1 ถึง R6 (วัน)	33.00*
VARTHR(10)	ห่วงเวลาการสะสัมช่วงแสงจาก R1 ถึง R7 (วัน)	74.00*
VARTHR(11)	ห่วงเวลาทางสีรีวิทยาจาก R7 ถึง R8 (วัน)	0.00
SHVAR	อัตราการเจริญเติบโตของเปลือกผักต่อวัน (มก./ฝึก/วัน)	19.80

ตารางที่ 4 (ต่อ) ลักษณะประจำพันธุ์ของถั่วลิสงพันธุ์ ไทยนาน ๙ จากการปรับค่าเพื่อใช้คำนวณ
ในแบบจำลอง PNUTGRO

ชื่อตัวแปร	คำอธิบาย	พันธุ์
		ไทยนาน ๙
SDVAR	อัตราการเจริญเติบโตของ เมล็ดต่อวัน (มก./เมล็ด/วัน)	20.900
SDPDVR	จำนวนเมล็ดต่อฝัก	2.00*
PODVAR	อัตราการเพิ่มจำนวนฝักต่อวัน	22.00
FXMPAG	วันสูงสุดทางสีรีวิทยาที่เมล็ดเต็ม	61
TRIFOL	ขนาดจำนวนใบต่อวันทางสีรีวิทยา (หลัง V1)	0.40
SIZELF	ขนาดของใบห้อที่ 8-10 (ซม. ² /ใบ)	0.40
SLAVAR	พื้นที่ใบจำเพาะหลังจาก V5 (ซม. ² /ก.)	243
STROCON	การซ่อนการเจริญเติบโตเนื่องจากการขาดน้ำ	0.0
PGLF	อัตราการสั้งเคราะห์แสงสูงสุดเมื่อมีแสงเพียงพอ	1.384
XFRIT	ส่วนของอัตราการสั้งเคราะห์แสงสูงสุดที่นำมาสร้างเป็นเมล็ดและเปลือกหลังจากใช้ในการหายใจแล้ว	0.77
DTVEG	การคลุมพื้นที่ของใบถั่วลิสง	1
CNMOB	ส่วนของ โปรตีนที่เป็นประโยชน์ที่เคลื่อนย้ายต่อวัน	0.037
SHTHIC	อัตราความหนาของเปลือกฝัก หลังจากเปลือกฝักเจริญ	0.03
THRESH	สัดส่วนสูงสุดของ เมล็ด/เมล็ด+เปลือก ที่เมล็ดหยุดเจริญ	77.0
LNGSH	ระยะเวลาที่เปลือกฝักเจริญเติบโต (วัน)	19.0
LNGPEG	ระยะเวลาที่ลง เชื้ม (วัน)	5.5

* ค่าที่วัดได้จริงในสมัยของพันธุ์ ไทยนาน ๙

ตารางที่ 5 ชุดคำสั่งของแบบจำลอง PNUTGRO ที่ต้องใช้ลักษณะประจำพืชเป็นข้อมูลนำเข้า

ชุดคำสั่ง	คำอธิบาย	ลักษณะประจำพืชในตารางที่ 4
IPVAR	พันธุ์ที่ใช้ในการทดลอง	IVAR
		VRNAME
		IVRGRP
IPSUNRISE	ความยาววัน	VARN1
		VARNO
		VARTH
		VARDH
PHINIT	ช่วงการพัฒนาการของถั่วลิสง	VARTHR(1) – VARTHR(11)
VARTY	การเจริญเติบโตของถั่влิสง	SHVAR
		SDVAR
		SDPVDR
		PODVAR
		FXMPAG
		TRIFOL
		SIZELF
		SLAVAR
		STRCON
		PGLF
		XFRT
		DTVEG
		CNMOB
		SHTHIC
		THRESH
		LNGSH
		LNGPEG

2. ความเหมาะสมของแบบจำลอง

เปรียบเทียบค่าที่วัดได้จริงและค่าที่คำนวณจากการเจริญเติบโตและผลผลิตของถั่วลิสง

2.1 ในสภาพปราศจากวัชพืชรบกวน

ในสภาพที่ไม่มีวัชพืชรบกวน ซึ่งสามารถวัดปริมาณรังสีอาทิตย์หนึ่อกรงฟุ่มถั่влิสงตลอดฤดูปลูกได้ประมาณ 20 เมกะจูลต่อตารางเมตร พบว่าถั่влิสงมีการเจริญเติบโตและสามารถให้ผลผลิตทั้งที่วัดได้จริงและจากการคำนวณโดยแบบจำลอง PNUTGRO ซึ่งใช้ข้อมูลนำเข้าตามข้อ 1.2 และ 1.3 ปรากฏผลดังในตารางที่ 6

จากการเงินได้ว่าค่าความแตกต่างของ การเจริญเติบโตและผลผลิตถั่влิสงที่วัดได้จริง และที่ได้จากการคำนวณโดยใช้แบบจำลอง PNUTGRO มีค่าไม่เกิน 10 เปอร์เซ็นต์ ซึ่งให้เห็นว่าแบบจำลองนี้สามารถนำมาใช้กับถั่влิสงพันธุ์ไทย 9 ที่ปลูกโดยไม่มีวัชพืชชั้นรบกวนในการได้ได้เป็นอย่างดี โดยใช้ข้อมูลเฉพาะปริมาณรังสีอาทิตย์เป็นตัวบ่งชี้สภาพการเปลี่ยนแปลงของภูมิอากาศเป็นข้อมูลนำเข้าในสูตรคำสั่ง WCALC ซึ่งจากการวิเคราะห์สหสัมพันธ์ระหว่างปริมาณรังสีดวงอาทิตย์กับผลผลิต (ตารางที่ 7) พบว่ามีสหสัมพันธ์อย่างมีนัยสำคัญยิ่ง อันเป็นการยืนยันความสำคัญของปริมาณรังสีดวงอาทิตย์ต่อการเจริญเติบโตและการให้ผลผลิตของถั่влิสง ได้ชัดเจนยิ่งขึ้น และจากการวิเคราะห์เชิงทางสถิติที่วัดโดยใช้ผลผลิตถั่влิสงมีสหสัมพันธ์อย่างมีนัยสำคัญยิ่งกับต้นพันธุ์ใน น้ำหนักต้น และจำนวนฝักต่อต้น และอย่างมีนัยสำคัญกับจำนวนกึ่งต่อต้น

2.2 ในสภาพที่มีวัชพืชชั้นรบกวนที่ระดับต่ำ ๆ กัน

ในสภาพที่มีวัชพืชใบกว้างชั้นรบกวน ซึ่งสามารถวัดปริมาณรังสีดวงอาทิตย์หนึ่อกรงฟุ่มถั่влิสงตลอดฤดูปลูกได้ประมาณ 10 เมกะจูลต่อตารางเมตร พบว่าความหนาแน่นของวัชพืชใบกว้างที่ระดับ 25-100 เปอร์เซ็นต์ ไม่มีผลให้เกิดความแตกต่างของ การเจริญเติบโตและผลผลิตถั่влิสงทางสถิติทั้งที่วัดได้จริงและจากการคำนวณโดยแบบจำลอง PNUTGRO ซึ่งใช้ข้อมูลนำเข้าตามข้อ 1.2 และ 1.3 เช่นกัน ปรากฏผลดังตารางที่ 8

จากการเงินได้ว่าค่าความแตกต่างของ การเจริญเติบโตและผลผลิตที่วัดได้จริง และที่ได้จากการคำนวณโดยใช้แบบจำลอง PNUTGRO มีค่าไม่เกิน 10 เปอร์เซ็นต์ ยกเว้นค่าต้นพันธุ์ในสูงสุด ในวิธีการทดลองที่มีวัชพืชชั้นรบกวน 100 เปอร์เซ็นต์ ที่มีค่าความแตกต่าง 12.3 เปอร์เซ็นต์ ซึ่งให้เห็นว่าแบบจำลองนี้สามารถนำมาใช้กับถั่влิสงพันธุ์ไทย 9 ที่ปลูกโดยมีวัชพืชใบกว้าง

ตารางที่ 6 ค่าจริงและค่าท่านายการเจริญเดินโดยและการให้ผลผลิตของถ่วงลิสฟันธุ์ในงาน 9

การเจริญเดินโดย/ผลผลิต	ค่าจริง	ค่าท่านาย	ความแตกต่าง	ผลการทดสอบ*
			(%)	
ระยะเวลาอุดตอก R1 (วัน)	26	27	3.8	สอดคล้อง
ระยะเวลาเกิดฝีกราก R4 (วัน)	48	47	2.1	สอดคล้อง
ระยะเวลาฝึกเต็ม R6 (วัน)	61	59	3.3	สอดคล้อง
ระยะเวลาสูกแก่ (วัน)	100	101	1.0	สอดคล้อง
ผลผลิต (กก./เยียกตาร์)	3274	3299	0.8	สอดคล้อง
ตัวชี้วัดน้ำหนักใบสูงสุด	5.51	5.53	0.4	สอดคล้อง
น้ำหนักต้นถ่วง(กก./เยียกตาร์)	8652	9463	9.4	สอดคล้อง

* ต่างกันไม่เกิน 10 เปอร์เซ็นต์ถือว่าสอดคล้องกัน

ตารางที่ 7 สหสัมพันธ์ระหว่างผลผลิตถั่วลิสงกับปริมาณรังสีดวงอาทิตย์เหนือกรุงเทพมหานครถั่วลิสงและกับองค์ประกอบผลผลิตของถั่วลิสง

ปริมาณรังสีดวงอาทิตย์และองค์ประกอบผลผลิต	ตัวชี้สหสัมพันธ์
ปริมาณรังสีดวงอาทิตย์	0.996 **
ต้นเนื้อที่ใบ	0.991 **
น้ำหนักต้น	0.997 **
ความสูงทรงผุ่ม	-0.722
จำนวนก้านต่อต้น	0.910 *
จำนวนฝักต่อต้น	0.997 **
น้ำหนัก 100 เมล็ด	0.217
เนื้อรากชีนต์กะเทาะเปลือก	0.303

* มีสหสัมพันธ์อย่างมีนัยสำคัญ ($p < 0.05$)

** มีสหสัมพันธ์อย่างมีนัยสำคัญยิ่ง ($p < 0.01$)

ตารางที่ 8 ค่าจริงและค่าท่านายของการเจริญเติบโตและผลผลิตของถั่วลิสงภายใต้ส่วนที่มีวัชพืช
ใบกว้างในระดับความหนาแน่นต่าง ๆ

	ค่าจริง	ค่าท่านาย	ความแตกต่าง (%)	ผลการทดสอบ
1. วัชพืชชั้นrunกวนที่ 25 เปอร์เซ็นต์				
ผลผลิต(กก./ไร่ตาร์)	1135	1161	2.3	สอดคล้อง
ต้นพันธุ์ใบสูงสุด	4.06	4.45	9.6	สอดคล้อง
น้ำหนักต้นถ้วน(กก./ไร่ตาร์)	4637	4782	3.1	สอดคล้อง
2. วัชพืชชั้นrunกวนที่ 50 เปอร์เซ็นต์				
ผลผลิต(กก./ไร่ตาร์)	1204	1292	7.3	สอดคล้อง
ต้นพันธุ์ใบสูงสุด	4.12	4.20	1.9	สอดคล้อง
น้ำหนักต้นถ้วน(กก./ไร่ตาร์)	4685	4941	5.5	สอดคล้อง
3. วัชพืชชั้นrunกวนที่ 75 เปอร์เซ็นต์				
ผลผลิต(กก./ไร่ตาร์)	950	971	2.2	สอดคล้อง
ต้นพันธุ์ใบสูงสุด	3.95	3.76	4.8	สอดคล้อง
น้ำหนักต้นถ้วน(กก./ไร่ตาร์)	4542	4874	7.3	สอดคล้อง
4. วัชพืชชั้นrunกวนที่ 100 เปอร์เซ็นต์				
ผลผลิต(กก./ไร่ตาร์)	1009	1076	6.6	สอดคล้อง
ต้นพันธุ์ใบสูงสุด	4.22	3.70	12.3	ไม่สอดคล้อง
น้ำหนักต้นถ้วน(กก./ไร่ตาร์)	4644	5071	9.2	สอดคล้อง

* ต่างกันไม่เกิน 10 เปอร์เซ็นต์ถือว่าสอดคล้องกัน

ชั้นรากวนในระดับความหนาแน่นต่าง ๆ กันได้เป็นอย่างดี โดยสามารถใช้ข้อมูลเฉพาะของปริมาณรังสีดวงอาทิตย์เหนือกรุงผู้มีถ่วงที่เกิดจากการบดบังแสงของวัชพืชในกว้าง เป็นตัวบ่งชี้สภาพการเปลี่ยนแปลงของภูมิอากาศเป็นข้อมูลนำเข้าในชุดคำสั่ง WCALC เช่นกัน

2.3 ผลกระทบของความหนาแน่นวัชพืชในกว้างต่อผลผลิตถ่วงลิง

2.3.1 ผลผลิตถ่วงลิงจากการวัดได้จริง ในนาม ผลผลิตถ่วงลิงลดลงอย่างมีนัยสำคัญเมื่อมีวัชพืชในกว้างชั้นแก่งและแข็งขัน (ตารางภาคผนวกที่ 10) แปลงที่ปราศจากวัชพืชให้ผลผลิต 3274 กิโลกรัมต่อเฮกตาร์ ผลผลิตลดลงอย่างมีนัยสำคัญที่ระดับความหนาแน่นวัชพืช 25 เปอร์เซ็นต์ คือผลผลิตลดลงเหลือ 1135 กิโลกรัมต่อเฮกตาร์ แต่ระหว่างความหนาแน่นวัชพืชที่ระดับ 25-100 เปอร์เซ็นต์ ไม่มีผลให้เกิดความแตกต่างของผลผลิตถ่วงลิงทางสถิติ (ตารางที่ 9) ความหนาแน่นวัชพืชในกว้างกับผลผลิตถ่วงลิง ในสภาพการปลูกถูกกลืนน้ำ แสดงความสัมพันธ์เชิงรีเกรซชันได้เป็นกราฟเส้นโค้งแบบ ควรตราติก (ตารางภาคผนวกที่ 11) ดังสมการที่สามารถแสดงได้ดังนี้

$$Y = 3039.25 - 65.403X + 0.465X^2; r^2 = 0.843$$

เมื่อ Y คือผลผลิตถ่วงลิงหน่วยเป็นกิโลกรัมต่อเฮกตาร์ และ X คือความหนาแน่นวัชพืชในกว้างหน่วยเป็นเปอร์เซ็นต์

2.3.2 ผลผลิตถ่วงลิงจากการทำนายของแบบจำลอง PNUTGRO เมื่อนำข้อมูลนำเข้า เกี่ยวกับдин พืช ภูมิอากาศและการจัดการในแปลงทดลองป้อนเข้าเครื่องคอมพิวเตอร์ใช้แบบจำลอง PNUTGRO คำนวณการเจริญเติบโตและผลผลิตของถ่วงลิงในแต่ละหน่วยการทดลองจากตารางที่ 9 แปลงที่ปราศจากวัชพืชรบกวนให้ผลผลิต 3299 กิโลกรัมต่อเฮกตาร์ ผลผลิตถ่วงลิงลดลงอย่างมีนัยสำคัญทางสถิติที่ระดับความหนาแน่นวัชพืช 25 เปอร์เซ็นต์ คือผลผลิตลดลงเหลือ 1161 กิโลกรัมต่อเฮกตาร์ แต่ความหนาแน่นวัชพืชในกว้างที่ระดับ 25 - 100 เปอร์เซ็นต์ ไม่มีผลให้เกิดความแตกต่างของผลผลิตถ่วงลิงในทางสถิติ ความหนาแน่นวัชพืชในกว้างกับผลผลิตถ่วงลิงจากการทำนายของแบบจำลอง PNUTGRO เมื่อมีข้อมูลนำเข้าตามสภาพการปลูกของถูกกลืนน้ำ สามารถแสดงความสัมพันธ์เชิงรีเกรซชันได้เป็นกราฟเส้นโค้งแบบ ควรตราติก ดังสมการ

ตารางที่ 9 ผลกระทบของระดับความหนาแน่นวัชพืชในกว้างที่มีต่อผลผลิตถั่วลิสง

ความหนาแน่นวัชพืช (%)	ผลผลิต		การลดลงของผลผลิต	
	ค่าจริง	ค่าหมาย	ค่าจริง	ค่าหมาย
----กก.ต่อไร่-----				
0	3274a	3299a	0	0
25	1135b	1161b	65.3	64.8
50	1204b	1292b	63.2	60.8
75	950b	971b	70.9	70.6
100	1009b	1076b	67.4	69.4
cv(%)	12.6	9.5	----	----

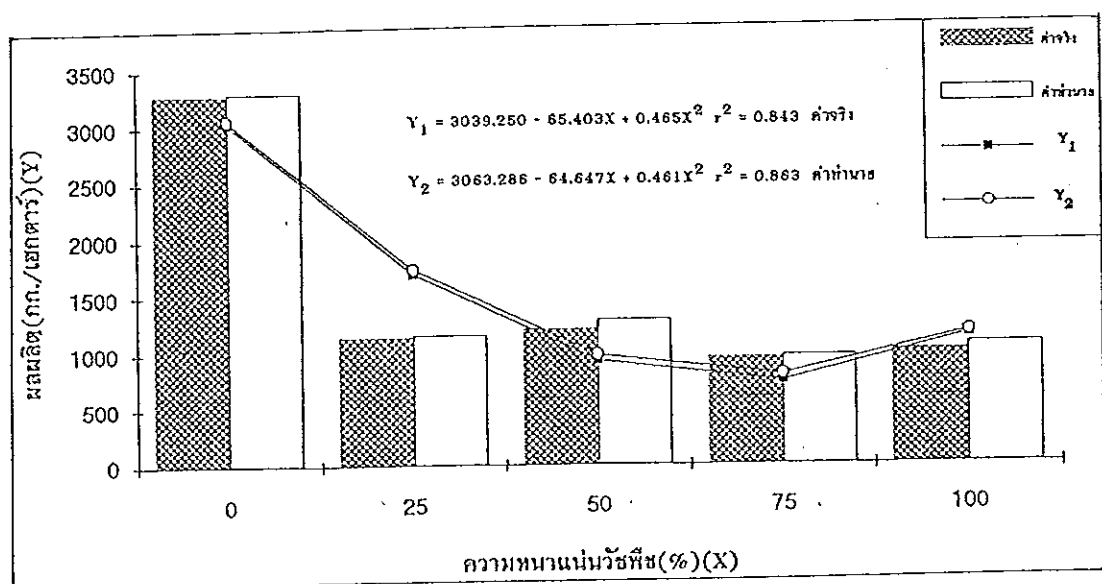
เปรียบเทียบความแตกต่างค่าเฉลี่ย โดยวิธี DMRT ที่ระดับความเชื่อมั่นไปได้ 0.05 ผลผลิตที่ตามตัวอย่างข้อมูลนี้เดียวกัน จะไม่แตกต่างกันอย่างมีนัยสำคัญ

$$Y = 3063.286 - 64.647X + 0.461X^2; r^2 = 0.863$$

เมื่อ Y คือผลผลิตถั่วลิสงจากการทำนายของแบบจำลอง PNUTGRO หน่วยเป็นกิโลกรัมต่อเฮกตาร์ X คือความหนาแน่นวัชพืชในกว้างหน่วยเป็นเบอร์เช็นต์

เปรียบเทียบผลผลิตถั่วลิสงที่ได้จากการวัดได้จริง ในสนาમกับผลผลิตที่ทำนาย โดยแบบจำลอง PNUTGRO พบว่าผลผลิตที่ได้จากการวัดในแปลงที่ปราศจากวัชพืชรากวนมีความแตกต่างจากการวัดได้จริง 0.8 เบอร์เช็นต์ ส่วนแปลงที่มีวัชพืชในกว้างขึ้นรากวน 25, 50, 75 และ 100 เบอร์เช็นต์ ก็มีความแตกต่างไม่เกิน 10 เบอร์เช็นต์ นำมาเปรียบเทียบเป็นกราฟได้ดังในภาพที่ 3

2.3.2 ระดับความหนาแน่นวิกฤตของวัชพืช จากตารางที่ 9 ผลผลิตถั่วลิสงที่วัดได้จริง ในสนาลดลงอย่างมีนัยสำคัญที่ความหนาแน่นวัชพืช 25 เบอร์เช็นต์ แสดงให้เห็นว่า การลดลงของผลผลิตในระดับวิกฤตจะเกิดขึ้นที่ระดับความหนาแน่นวัชพืชไม่เกิน 25 เบอร์เช็นต์ การวิเคราะห์ความต่างของผลผลิตโดยใช้ LSD ระดับความเชื่อมั่น 95 เบอร์เช็นต์ พบว่ามีค่าผลผลิตที่ลดลงอย่างมีนัยสำคัญคือ 294 กิโลกรัมต่อเฮกตาร์ ทำให้ได้ผลผลิตวิกฤตที่ 2745 กิโลกรัมต่อเฮกตาร์ (ตารางภาคผนวกที่ 12) ซึ่งเมื่อนำค่าผลผลิตวิกฤตนี้ไปแทนค่าในสมการของผลผลิตที่วัดได้จริง หรือนำไปประเมินโดยใช้เส้นกราฟสหสัมพันธ์เชิงรีเกรสชัน (ภาพที่ 4) ก็จะได้ค่าความหนาแน่นวัชพืชในระดับวิกฤตที่ประมาณ 5 เบอร์เช็นต์ ของสภาพไม่กำจัดวัชพืช



ภาพที่ 3 เปรียบเทียบผลผลิตถั่วลิสงที่วัดได้จริง ในสนา�กันที่ได้จากการคำนายนโดยแบบจำลอง
ในสภาพที่มีวัชพืชในกว้างขั้นรากวนที่ระดับความหนาแน่นต่าง ๆ กัน

บทที่ 4

วิจารณ์

จากการทดลองนี้ ชี้งเป็นการทดลองในสภาพที่นาในระบบชลประทาน พนว่าวัชพืชที่แพร่ระบาดอย่างกว้างขวางในการปลูกถั่วลิสงก่อนนาในภาคใต้นั้น สอดคล้องกับผลการทดลองของ ปาริชาติ รัญลักษณาภูล (2523) ชี้งเป็นการทดลองในสภาพก่อนนาในระบบเกษตรน้ำฝนอย่างไรก็ตาม ชนิดของวัชพืชในกว้างที่พบรอบด้านเปล่งถั่влิสง ที่ปลูกในนาช้าวภายในสภาพระบบเกษตรทั้งสองระบบมีความแตกต่างกัน กล่าวคือในระบบเกษตรน้ำฝนวัชพืชในกว้างที่พบร่วมใหญ่เป็นจำนวนมาก มีความสูงประมาณ 90 เซนติเมตร ซึ่งสูงกว่าถั่влิสง ในขณะที่ผลจากการศึกษานี้ ชี้งทดลองในระบบเกษตรชลประทาน พนว่าวัชพืชในกว้างส่วนใหญ่เป็นจำนวนโดยทั่วไป ไม่มีความสูงประมาณ 60 วันหลังปลูกถั่влิสง โดยเฉลี่ยประมาณ 94 เซนติเมตร ซึ่งสูงกว่าทั่วไปถั่влิสง ในทุก ๆ ระดับความหนาแน่นของวัชพืช และจากการที่วัชพืชในกว้างมีความสูงมากกว่าพืชเช่นนี้ การแข่งขันเพื่อปัจจัยแสงกับถั่влิสงในลักษณะการบดบังแสงจึงเกิดขึ้นอย่างรุนแรง ส่วนจะรุนแรงเพียงใดนั้นขึ้นกับต้นพืชที่เบصومงวัชพืช ซึ่งในกรณีเดียวกันนั้นที่ในของวัชพืชสมค่าสูงสุดที่วัชพืชมีความหนาแน่น 100 เปอร์เซ็นต์ และเมื่อพิจารณาถึงปริมาณรังสีดวงอาทิตย์เนื้อทั่วไปพืช แต่ได้ทรงผู้นุ่มนวลวัชพืช ก็พบว่ามีปริมาณค่อนข้างต่ำที่ระดับความหนาแน่นวัชพืช 100 เปอร์เซ็นต์ เช่นกัน

ผลที่เกิดจากการแก่งแย่งแข่งขันทำให้ปริมาณรังสีดวงอาทิตย์เนื้อทั่วไปผู้นุ่มนวลลดลงอย่างมีนัยสำคัญในทุกระดับความหนาแน่น และผลผลิตถั่влิสงลดลงอย่างมีนัยสำคัญในทุกวิธีการทดลอง และเมื่อใช้ปริมาณรังสีดวงอาทิตย์เนื้อทั่วไปผู้นุ่มนวลที่วัดได้เป็นข้อมูลนำเข้าในชุดคำสั่ง PHOTIN ในแบบจำลอง PNUTGRO โดยใช้ลักษณะประจำพันธุ์ถั่влิสงพันธุ์ไทย ๙ ที่ปรับค่าโดยเปรียบเทียบกับลักษณะประจำพันธุ์ของพันธุ์ Starr, Florunner และพันธุ์ Florigiant ผลจากการคำนวณของแบบจำลอง ผลผลิตถั่влิสงลดลงอย่างมีนัยสำคัญเมื่อปริมาณรังสีดวงอาทิตย์ลดลง ซึ่งสอดคล้องกับการทดสอบแบบจำลอง SOYWEED ของ Wilkerson และคณะ (1990) ที่

รายงานว่า หากถ้าเหลืองต้องแบ่งชันกับวัชพืชในกว้างที่มีกรงผู้สูงกว่าต้นถ้า ปริมาณรังสีดวงอาทิตย์ที่วัดได้เหนือกรงผู้สูงต้นถ้าจะลดลงและจะมีผลให้ผลผลิตลดลงด้วย

เมื่อเปรียบเทียบผลต่างของผลผลิตที่ได้จากการทำนายโดยแบบจำลองกับที่วัดได้จริงในสนาม หรือความคลาดเคลื่อนของแบบจำลอง เมื่อเปรียบเทียบกับการทดลองทั้ง 5 วิธีการทดลองคือ ปราศจากวัชพืชรุนแรง มีวัชพืชในกว้างรุนแรง 25, 50, 75 และ 100 เปอร์เซ็นต์ ของสภาพไม่กำจัดวัชพืชในกว้างเลย พบว่าเปอร์เซ็นต์ผลต่างของผลผลิตระหว่างการทำนายและวัดได้จริงในสนามมีค่าเท่ากัน 0.8, 2.3, 7.3, 2.2 และ 6.7 เปอร์เซ็นต์ตามลำดับ แสดงให้เห็นถึงการตอบสนองของแบบจำลอง PNUTGRO ต่อสภาพแวดล้อมที่เปลี่ยนไป ในการทดสอบแบบจำลองนี้ ผลผลิตถ้วนสิ่งลดลงในสภาพที่มีการแก่งแย่งแข่งขันในการรับแสงกับวัชพืชในกว้าง เมื่อปริมาณรังสีดวงอาทิตย์ลดลง ผลผลิตของถ้วนสิ่งลดลงอย่างมีนัยสำคัญ และแบบจำลองสามารถที่บอกได้ว่าการลดลงของปริมาณรังสีดวงอาทิตย์เกิดขึ้นช่วงไหนของการเจริญเติบโตของถ้วนสิ่งจึงมีผลกระทบต่อผลผลิตของถ้วนสิ่งมากกว่ากัน (ภาพที่ 2 และ ตารางภาคผนวกที่ 2 - 5) ปริมาณรังสีดวงอาทิตย์ของวิธีการทดลองที่ 2 ถึง 5 มีค่าเฉลี่ย 9.8, 9.9, 9.8 และ 9.7 เมกะจูลต่อตารางเมตร (ตารางที่ 2) แบบจำลองทำนายผลผลิตในวิธีการทดลองที่ 2 ไว้เท่ากัน 1161 กิโลกรัมต่อเฮกตาร์ แต่ในวิธีการทดลองที่ 4 ซึ่งมีปริมาณรังสีดวงอาทิตย์เฉลี่ย 9.8 เมกะจูลต่อตารางเมตร แบบจำลองทำนายผลผลิตได้ 971 กิโลกรัมต่อเฮกตาร์ ถ้าหากการลดลงของปริมาณรังสีดวงอาทิตย์มีผลกระทบต่อผลผลิตของทั้งสองวิธีการได้เท่ากัน ก็ควรมีผลผลิตเท่ากันทั้งสองวิธีการทดลอง ทั้งจากการทำนายของแบบจำลองและวัดได้จริงในสนาม แต่เมื่อดูจากข้อมูลปริมาณรังสีดวงอาทิตย์รายวัน (ภาพที่ 2 และ ตารางภาคผนวกที่ 2 และ 4) จะเห็นได้ว่าในวิธีการทดลองที่ 2 ช่วงเวลาที่ปริมาณรังสีดวงอาทิตย์ลดลงเหลือ 50 เปอร์เซ็นต์ เมื่อประมาณ 50 วันหลังจากปลูก และมีปริมาณรังสีดวงอาทิตย์ลดลงเหลือประมาณ 10 เปอร์เซ็นต์ เมื่ออยู่ในระยะตั้งแต่ 64 - 71 วันหลังจากปลูก ซึ่งช่วงที่มีการแก่งแย่งแข่งขันกันอย่างรุนแรงนั้นผ่านทัน R6 หรือระยะเมล็ดขยายตัวเต็มฝักแล้ว (เคลิมพล แซมเพชร และคณะ, 2530; Boote, 1982) ผลกระทบจึงน้อยกว่าวิธีการทดลองที่ 4 ที่ช่วงการมีการแก่งแย่งแข่งขันกันอย่างรุนแรงจะมีผลต่อผลผลิตมากกว่า จึงมีผลให้ผลผลิตลดลง การเคลื่อนย้ายอาหารไปสู่เปลือกและเมล็ดก็ลดลง (สมการที่ 7, 22 และ 23) อาหารที่สังเคราะห์แสงได้

ส่วนมากจะถูกเคลื่อนย้ายไปสู่ลำต้นเพื่อเก่งแย่งแข่งขันในการรับแสงกับวัชพืช โดยพยากรณ์ได้
ลำต้นให้สูงขึ้นเพื่อได้รับแสงมากขึ้น (Zamki and Ziv, 1976; Pickett, 1950) มีผลทำให้
มีการเก่งแย่งอาหารส่วนที่จะเคลื่อนย้ายไปสู่เปลือกและเมล็ดด้วย

แม้ว่าค่าการเปรียบเทียบการลดลงของผลผลิตและค่าผลต่างของผลผลิตระหว่างการ
กำหนดค่าที่วัดได้จริงในส่วนจะมีค่าแตกต่างกันอยู่บ้าง ทั้งนี้มีสาเหตุเนื่องมาจากการขาด
ช้อมูลพารามิเตอร์เกี่ยวกับลักษณะประจำพันธุ์ของพันธุ์ไทยนั้น ๑ ในช่วงผักเต็มจนถึงช่วงสุกแก่ทาง
servivิทยา ที่ต้องนำช้อมูลมาจากพารามิเตอร์ของลักษณะประจำพันธุ์ของถั่วลิสงพันธุ์ Starr,
Florunner และพันธุ์ Florigiant มาใช้ทดแทน ซึ่งสอดคล้องกับการทดสอบแบบจำลองของ วิศี
มนิเวրแซ (2533) ที่พบว่าการขาดพารามิเตอร์ของลักษณะประจำพันธุ์เป็นสาเหตุหนึ่งที่ทำให้การ
กำหนดผลผลิตของแบบจำลองแตกต่างกับค่าที่วัดได้จริงด้วย และ Hunt (1985) รายงานว่า
ช้อมูลลักษณะประจำพันธุ์ควรได้จากการทดลองหลาย ๆ ครั้งในส่วนการปลูกที่เหมาะสมมากที่สุด
สำหรับแต่ละพืช และที่สำคัญอีกส่วนคือ สภาพดินนาเขตของดินชุดใดก็เคยเมื่อสภาพดินแห้งในช่วง^{ที่}
เก็บเกี่ยว ทำให้หน้าดินแห้ง ซึ่งมีฝึกบางส่วนสูญเสียไประหว่างการเก็บเกี่ยวด้วย จึงทำให้การ
กำหนดค่าดังเดิมจากความเป็นจริง และจากการทดสอบแบบจำลอง PNUTGRO ของ Boote
(1985) พบว่าการสูญเสียของผักขณะเก็บเกี่ยว ปานไปกับดินมีถึง ๖.๘ เปอร์เซ็นต์ อよ่างไรก็
ตามแบบจำลอง PNUTGRO ได้แสดงให้เป็นว่าการตอบสนองของแบบจำลองต่อสภาพการปลูกถั่влิสง
ก่อนนำไปจังหวัดนั้นกลุ่มที่เปลี่ยนแปลงไปได้อย่างใกล้เคียง

ระดับความหนาแน่นวิกฤต (threshold level) ของวัชพืชในกว้างในแปลงถั่влิสง
ของการศึกษานี้ ซึ่งเป็นผลจากการทดลองในระบบเกษตรชลประทานอยู่ในระดับประมาณ ๕ เปอร์
เซ็นต์ ซึ่งจากการรายงานผลการทดลองของ ปาริชาติ ชัยลักษณ์กาล (2533) ที่ทดลองในระบบ
เกษตรน้ำฝน พบว่าความหนาแน่นวิกฤตของวัชพืชจำพวกเสี้ยอยู่ในระดับประมาณ ๒๐ เปอร์เซ็นต์
การมีความหนาแน่นวิกฤตในระดับ ๕ เปอร์เซ็นต์ และกราฟของผลผลิตเป็นกราฟเส้นโค้ง (ภาพที่
๔) ซึ่งให้เห็นว่าการเก่งแย่งแข่งขันเป็นไปอย่างรุนแรงจนทำให้ผลผลิตถั่влิสงลดลง แม้แต่ที่ความ
หนาแน่นวัชพืชไม่มากนัก ลักษณะเช่นนี้เกิดขึ้นเมื่อสภาพแวดล้อมมีความเหมาะสมต่อการเจริญ^{ที่}
เติบโตของวัชพืชมากกว่าหรือใกล้เคียงกับถั่влิสง

เนื่องจากในการทดลองนี้ บางส่วนได้ใช้ช้อมูลลักษณะประจำพันธุ์ที่ปรับปรุงจากถั่влิสง
พันธุ์ Starr, Florunner และพันธุ์ Florigiant ของสหรัฐอเมริกา ซึ่งไม่ใช้ลักษณะประจำ
พันธุ์ของพันธุ์ไทยนั้น จากการวัดในแปลงทดลอง ดังนั้นจึงควรมีการทำการคำศึกษาเพิ่มเติมถึง

ลักษณะประจำพื้นที่วิสังพันธุ์ในนานา ๙ ที่ปลูกในประเทศไทย และหาค่าพารามิเตอร์ที่จำเป็นต้องใช้ในแบบจำลอง เพื่อปรับปรุงแบบจำลองให้สามารถทำนายศักยภาพของผลผลิตภัยได้ส่วนการแก่ง嗰งแห่งชั้นกับวัชพืชได้เม่นยำขึ้น ตลอดจนการทำนายการเจริญเติบโตและผลผลิตของพื้นที่นั้น ๆ เมื่อนำไปทดสอบในสภาพการปลูกแหล่งอื่น ซึ่งอาจจะมีส่วนแวดล้อมและการจัดการที่แตกต่างกันต่อไป

บทที่ 5

บทสรุป

ผลจากการทดลองสรุปได้ดังนี้

1. วัชพืชที่พบมากในการปลูกถัวลิสง ในนาข้าวภัยใต้ระบบเกษตรลปะทาน เป็นวัชพืชในกว้างจำพวกโงเงง ซึ่งมีความสูงโดยเฉลี่ยประมาณ 94 เซนติเมตร และสูงกว่าถัวลิสง ทำให้สามารถแข่งขันเพื่อปัจจัยแสงกับถัวลิสงอย่างรุนแรง โดยเฉพาะที่วัชพืชมีความหนาแน่น 100 เปอร์เซ็นต์
2. แบบจำลอง PNUTGRO สามารถนำมาใช้ในการประเมินผลกรบทองวัชพืช โดยเฉพาะวัชพืชในกว้างในระดับความหนาแน่นต่าง ๆ กัน ต่อการเจริญเติบโต และการให้ผลผลิตของถัวลิสงที่ปลูกในนาข้าวก่อนการทำนา โดยการใช้ปัจจัยแสง ซึ่งคาดได้จากได้ทรงนุ่มนวัชพืช เป็นตัวแปร
3. ความสัมพันธ์เชิงรีเกรสชันระหว่างผลผลิตของถัวลิสงกับความหนาแน่นวัชพืชในกว้างในการผลิตถัวลิสงก่อนนาในระบบเกษตรลปะทาน จะเป็นไปในลักษณะกราฟเส้นตรง คือมีผลกรบทอนอย่างรุนแรง โดยมีค่า $Y = 3039.251 - 65.403X + 0.465 X^2$ ค่า $r^2 = 0.843$ และมีระดับการแข่งขันวิกฤตที่วัชพืชมีความหนาแน่นประมาณ 5 เปอร์เซ็นต์

เอกสารอ้างอิง

กรมพัฒนาที่ดิน. 2530. รายงานการสำรวจดินจังหวัดพัทลุง. กองสำรวจและจำแนกที่ดิน กรมพัฒนาที่ดิน กระทรวงเกษตรและสหกรณ์.

_____ 2533. คำอธิบายชุดดินโดยย่อของ 14 จังหวัดภาคใต้. กองสำรวจและจำแนกที่ดิน กรมพัฒนาที่ดิน กระทรวงเกษตรและสหกรณ์.

กรมส่งเสริมการเกษตร. 2524. การปลูกถั่วลิสง. คำแนะนำที่ 5 กรมส่งเสริมการเกษตร กระทรวงเกษตรและสหกรณ์.

เฉลิมพล แซมเพชร, โภคส เม่งอามัน, สมจิต ใจดี และ นราณุช ทองเต็ม. 2530. การศึกษาระยะการเจริญของถั่วลิสง. รายงานสัมมนาเรื่องงานวิจัยถั่วลิสง ครั้งที่ 6 ณ คณะทรัพยากรธรรมชาติ มหาวิทยาลัยสังขลานครินทร์ 18-20 มีนาคม 2530.
หน้า. 323 - 326.

ประวิตร ไสเกโนเดร. 2534. การสังเคราะห์แสง. เอกสารประกอบคำบรรยายวิชา สรีร วิทยาการผลิตไฟช. ภาควิชาฟืชศาสตร์ คณะทรัพยากรธรรมชาติ มหาวิทยาลัยสังขลานครินทร์.

ประเสริฐ ชิตวงศ์. 2532. วัชพืชและการป้องกันกำจัด. ภาควิชาฟืชศาสตร์ คณะทรัพยากรธรรมชาติ มหาวิทยาลัยสังขลานครินทร์.

ปาริชาติ ชัยลักษณาภูล. 2533. การแก่งแย่งแข่งขันและการควบคุมกำจัดวัชพืชในถั่วลิสง ในภาคใต้. วิทยานิพนธ์วิทยาศาสตร์มหาวิทยาลัยเกษตรศาสตร์ (เกษตรศาสตร์) สาขาวิชาฟืชศาสตร์ มหาวิทยาลัยสังขลานครินทร์.

วีดี มนีวรรณ. 2533. การทดลองแบบจำลองการเจริญเติบโตสำหรับการปลูกถั่วเหลืองที่ปลูกหลังข้าวในที่ราบลุ่มเชียงใหม่. วิทยานิพนธ์วิทยาศาสตรมหาบัณฑิต(เกษตรศาสตร์)สาขา วิชาปัจุบันศาสตร์ มหาวิทยาลัยเชียงใหม่.

อุดมศักดิ์ พรมประทาน และ พญ. นิมพนิตย์. 2522. การศึกษาวิธีเตรียมดินปลูกถั่วลิสงในนาข้าว. รายงานผลการทดลองฟื้นฟื้นแม่น้ำดูแล้ง พ.ศ.2522 กรมวิชาการเกษตร กระทรวงเกษตรและสหกรณ์.

ศักดา จงแก้ววัฒนา. 2536. แบบจำลองและการจำลองระบบพืช. เอกสารประกอบการบรรยายในการสัมมนาเชิงปฏิบัติการ เรื่อง แบบจำลองและระบบสนับสนุนการตัดสินใจ 24-28 พฤษภาคม 2536 ณ ศูนย์วิจัยเพื่อเพิ่มผลผลิตทางเกษตร คณะเกษตรศาสตร์ มหาวิทยาลัยเชียงใหม่.

อรรถพัชย์ จันตะเวช. 2536. แบบจำลองการเจริญเติบโตของถั่влิสง. ติดต่อส่วนตัว.
ศูนย์วิจัยเพื่อเพิ่มผลผลิตทางเกษตร คณะเกษตรศาสตร์ มหาวิทยาลัยเชียงใหม่.

Aldrich, R.J. 1987. Predicting crop yield reductions from weeds.
Weed Tech. 1:199 ~ 206.

Boote, K.J., Gallaher, R.N., Robertson, W.K., Hinson K. and Hammond, L.C. 1978. Effect of foliar fertilization on photosynthesis, leaf nutrition, and yield of soybean.
Agron. J. 70:787-791.

Boote, K.J. 1982. Growth stage of peanut (Arachis hypogaea L.).
Peanut Sci. 9:35-40.

Boote, K.J., Jones, J.W., Hoogenboom, G. and Wilkerson, G.G.
1987. PNUTGRO V1.0 : Peanut Growth and Yield Model. IBSNAT
Version. Technical Documentation. Agr. Engr. and Agron. Dept.,
Univ. of Florida, Gainesville, Florida.

Boote, K.J., Jones, J.W., Mishoe, J.W. and Berger, R.D. 1985.
Modeling growth and yield of groundnut. pp. 234-254. In ICRISAT
(International Crops Research Institute for the Semi-Arid
Tropics). Agrometeorology of Groundnut. Proc. Internat'l. Symp.
21-26 August 1985. Patanaheru, Andrapradesh.

Charles-Edwards, D.A. 1981. The Mathematics of Photosynthesis and
Growth. Academic Press New York.

de Wit, C.T. 1982. Simulation of living system. pp.3-7. In F.W.T.
Penning de Vries and H.H. van Laar. Simulation of Plant
Growth and Crop Production. Wageningen. : PUDOC (Centre of
Agriculture Publishing and Documentation).

Fehr, W.R., Caviness, C.E., Burmood, D.T. and Pennington, J.S.
1971. Stage of development descriptions of soybean (Glycine
max L. Merrill). Crop Sci. 11:929-931.

Forrestor, J.W. 1971. Principles of Systems. Wright-Allen Press,
Cambridge, Massachusetts.

Hesketh, J.D., Baker, D.N., and Duncan, W.G. 1971. Simulation of growth and yield in cotton: Respiration and the carbon balance. *Crop Sci.* 11:394-398.

Hunt, L.A. 1985. Genetics Coefficients and Crop Growth Models. Dept. of Crop Sci., Univ. of Guelph, Guelph, Ontario.

International Benchmark Sites Network for Agrotechnology Transfer Project. 1986. Decision Support System for Agrotechnology Transfer (DSSAT). Level 1:User's Guide for the Minimum Data Set Entry. Version 1.1. IBSNAT Technical Report 1. Dept. of Agron. and Soil Sci., College of Trop. Agr. and Human Resources, Univ. Hawaii.

International Benchmark Sites Network for Agrotechnology Transfer Project. 1988. Experimental Design and Data Collection Procedures IBSNAT. The Minimum Data Set for Systems Analysis and Crop Simulation. Forms to Technical Report 1, Third Edition. Dept. of Agron. and Soil Sci., College of Trop. Agr. and Human Resources, Univ. Hawaii.

Jone, C.A., Ritchie, J.T., Kiniry, J.R., Godwin, D.C. and Otter, S.I. 1984. The cereals wheat and maize model. pp. 95-100. In ICRISAT (International Crops Research Institute for the Semi-Arid Tropics.) Proc. Internat'l. Symp. on Minimum Data Sets for Agrotechnology Transfer, 21-26 March 1983. Patancheru. : ICRISAT Center.

Jone, J.W., Boote, K.J. and Misshoe, J.W. 1985. Soybean crop modeling for production system analysis. pp.1066-1073. In R. Shibles. World Soybean Research Conference 111: Proceedings. Westview Press/Boulder and London.

Jongkaewwattana, S., Jintrawet, A., Mankeb, P. and Sangchayoswat, S. 1992. A desision support for resources optimization in rice production in the north and northeastern Thailand. Paper presented in the First Asian Crop Science Conference and the XXXth Anniversary Symposium of the Korean Society of Crop Science. 24-28 September 1992. Olympic Youth Hotel, Seoul.

McCree, K.J. 1974. Equations for the rate of dark respiration of white clover and grain sorghum as functions of dry weight, photosynthetic rate, and temperature. *Crop Sci.* 14:509-514.

Penning de Vries, F.W.T. and van Keulen, N.C. 1986. Systems analysis and simulation for rice production . In Simulation of Growth of Annual Crops. Training Course. "Implementation of systems analysis and simulation for rice production" Spring 1986, Wageningen.

Penning de Vries, F.W.T. 1982. System analysis and models of crop growth. pp. 9-19. In F.W.T. Penning de Vries and H.H. van der Sijs. *Simulation of plant Growth and Crop Production*. Wageningen. : PUDOC (Centre of Agriculture Publishing and Documentation).

Pickett, T.A. 1950. Composition of developing peanut seed. *Plant Physiol.* 25:210-214.

Rachie, K.O. and Roberts, L.M. 1974. Grain legumes of the lowland tropics. *Adv. Agron.* 26:1-132.

Royal Irrigation Department. 1986. Soil series map. Royal Irrigation Department, Minitary of Agricuture and Cooperative.

Sadasivum, R., Mohandass, S. and Arjunan, A. 1989. Simulation of yield potential on rice cultivars. pp. 27. In The International Rice Research Institute (IRRI). International Rice Research Newsletter. 14:4 (August 1989).

Stoller, E.W. and Wooley, J.T. 1986. Competition for light by broadleaf weeds in soybeans (Glycine max). *Weed Sci.* 33 : 199 - 202.

Wiles, L.J. and Wilkerson, G.G. 1991. Modeling competition for light between soybean and broadleaf weeds. *Agri. Systems* 35 : 37 - 51.

Wilkerson, G.G. 1993. Weed modeling. Personal contact. Agr. Engr. Dept., Univ. of Florida, Gainesville, Florida.

Wilkerson, G.G., Jones, J.W., Boote, K.J. and Mishoe, J.W. 1986. SOYGRO V5.0: Soybean Crop Growth and Yield Model. Unpublished document. Agr. Engr. Dept., Univ. of Florida, Gainesville, Florida.

Wilkerson, G.G., Jones, J.W., Boote, K.J., Ingram K.T. and Mishoe, J.W. 1983. Modeling soybean growth for crop management. Trans. ASAE. 26:63-73.

Wilkerson, G.G., Jones, J.W., Coble H.D. and Gunsolus, J.L. 1990. SOYWEED: A simulation model of soybean and weed growth and competition. Agron. J. 82:1003-1010.

Zamski, E. and Ziv, M. 1976. Pod formation and its geotropic orientation in the peanut (Arachis hypogaea L.) in relation to light and mechanical stimulus. Ann. Bot. 40:631-636.

Zimdahl, R. L. 1980. Weed-Crop Competition-A Review. Intl. plant Prot. Cent., Oregon State University, Corvallis, OR.

ภาคผนวก

ตารางภาคผนวกที่ 1 ข้อมูลนำเข้าด้านภูมิอากาศในแฟ้มข้อมูล 99PT0108.W93 ที่ใช้กับ
แปลงถ่วงลิงที่ปราศจากวัชพืชรบกวน

Variable Name Fortran Format Description

Format for all lines of weather data

STATW	A2	Code for weather station ID.
IYR	1X,I2	Year for which weather data is being read.
JUL	1X,I3	Julian date of weather record in data file.
SOLRAD	1X,F5.2	Daily total solar radiation, MJ/m ²
XTMAX	1X,F5.1	Daily value of maximum air temperature, °C.
XTMIN	1X,F5.1	Daily value of minimum air temperature, °C.
XRAIN	1X,F5.1	Daily total precipitation, mm/day.

PT	93	1	19.01	29.5	25.5	.0
PT	93	2	21.73	30.0	24.5	.0
PT	93	3	21.99	30.0	23.0	.0
PT	93	4	19.07	30.0	25.0	.0
PT	93	5	21.21	30.0	25.0	.5
PT	93	6	21.12	30.0	24.5	.0
PT	93	7	21.62	29.5	25.0	.0
PT	93	8	19.75	30.3	25.0	.0
PT	93	9	21.44	30.5	25.5	.0
PT	93	10	21.47	30.7	25.0	3.6
PT	93	11	20.43	30.5	23.0	.0
PT	93	12	21.89	30.4	23.5	.0
PT	93	13	22.28	30.3	25.0	.0
PT	93	14	20.76	30.8	22.0	.0
PT	93	15	19.36	30.5	22.5	1.6
PT	93	16	20.11	31.0	23.5	.0
PT	93	17	20.63	31.0	25.5	.0
PT	93	18	21.63	30.5	25.5	.3
PT	93	19	19.50	30.5	23.8	.0
PT	93	20	19.18	30.3	23.7	.0
PT	93	21	18.97	30.4	23.5	.0
PT	93	22	13.45	31.2	23.5	.0

PT	93	23	16.02	30.7	24.0	.0
PT	93	24	14.60	30.0	22.5	14.2
PT	93	25	19.12	30.6	23.5	.3
PT	93	26	21.23	30.6	23.6	.0
PT	93	27	12.25	30.5	24.0	15.7
PT	93	28	12.52	26.5	23.0	29.5
PT	93	29	12.30	25.5	21.5	1.8
PT	93	30	21.41	29.0	21.2	5.1
PT	93	31	18.75	28.4	21.0	.3
PT	93	32	21.62	29.5	20.0	15.2
PT	93	33	10.19	28.0	22.0	7.1
PT	93	34	16.77	30.0	22.0	.1
PT	93	35	22.25	31.7	22.5	.0
PT	93	36	21.31	29.3	22.5	.0
PT	93	37	23.09	29.3	21.5	.0
PT	93	38	22.89	29.8	21.0	.0
PT	93	39	28.56	29.8	21.5	.0
PT	93	40	22.11	29.8	24.5	.0
PT	93	41	23.79	30.2	25.0	.0
PT	93	42	20.57	30.2	25.0	.0
PT	93	43	21.24	29.8	24.5	.0
PT	93	44	22.17	29.6	22.0	.0
PT	93	45	22.21	30.2	21.8	.0
PT	93	46	22.39	30.0	21.5	.0
PT	93	47	22.05	30.5	22.0	.0
PT	93	48	23.62	30.5	22.4	.0
PT	93	49	24.55	31.0	22.5	.0
PT	93	50	24.09	30.5	21.5	.0
PT	93	51	23.24	30.5	20.7	.0
PT	93	52	21.11	29.5	21.2	.0
PT	93	53	24.35	31.2	21.0	.0
PT	93	54	24.78	30.6	19.4	.0
PT	93	55	24.06	30.7	19.4	.0
PT	93	56	25.12	32.6	19.6	.0
PT	93	57	24.65	31.5	22.2	.0
PT	93	58	22.89	31.7	23.6	.0
PT	93	59	24.47	31.5	22.9	.0
PT	93	60	22.83	31.5	23.0	.0
PT	93	61	20.28	30.8	25.7	.0
PT	93	62	22.90	30.8	21.6	.0
PT	93	63	23.19	31.0	21.5	.0
PT	93	64	23.36	31.3	20.6	.0
PT	93	65	23.13	31.6	21.5	.0
PT	93	66	20.04	31.9	22.4	20.1
PT	93	67	16.94	30.5	23.0	8.8
PT	93	68	22.44	31.0	25.5	.0
PT	93	69	22.73	30.8	25.8	.0
PT	93	70	18.45	30.8	25.4	.7
PT	93	71	19.90	31.0	26.0	.4
PT	93	72	16.27	31.2	25.0	21.4
PT	93	73	14.71	29.6	23.0	33.8
PT	93	74	12.11	29.4	23.6	17.7
PT	93	75	20.25	30.6	24.0	5.0
PT	93	76	15.81	30.5	23.5	6.8
PT	93	77	18.19	32.0	24.0	.0
PT	93	78	13.48	29.6	24.5	.0
PT	93	79	12.44	29.5	23.5	.0
PT	93	80	14.68	30.1	23.6	6.7
PT	93	81	12.20	29.0	24.0	3.1
PT	93	82	23.78	30.7	24.5	.0
PT	93	83	23.00	31.2	24.8	.0
PT	93	84	24.06	30.7	22.5	.0
PT	93	85	23.55	31.5	22.4	.0
PT	93	86	23.82	32.2	23.5	.0
PT	93	87	24.09	32.8	23.3	.0
PT	93	88	23.44	32.2	23.6	.0
PT	93	89	23.71	32.8	24.5	.0
PT	93	90	24.50	32.6	22.5	.0
PT	93	91	23.45	32.5	23.6	.0

PT	93	92	20.56	32.6	23.5	.0
PT	93	93	24.64	33.7	23.0	.0
PT	93	94	24.37	34.1	23.6	.0
PT	93	95	24.11	34.2	23.8	.0
PT	93	96	22.40	34.5	24.2	.0
PT	93	97	24.89	33.4	23.5	.0
PT	93	98	24.10	33.5	23.6	.0
PT	93	99	23.44	33.2	25.5	.0
PT	93	100	19.76	33.2	25.6	.0
PT	93	101	17.92	32.5	24.0	.0
PT	93	102	13.47	29.5	23.0	.8.1
PT	93	103	12.29	29.5	23.0	128.2
PT	93	104	12.28	24.5	22.5	52.8
PT	93	105	15.55	30.3	23.0	30.9
PT	93	106	20.50	30.7	23.0	17.7
PT	93	107	17.10	31.6	23.8	1.1
PT	93	108	20.35	31.7	23.5	.4
PT	93	109	20.33	32.4	23.3	.9
PT	93	110	22.01	32.6	24.0	.0
PT	93	111	22.13	32.4	25.0	.2
PT	93	112	22.11	32.7	25.3	.0
PT	93	113	23.65	32.3	25.0	.0
PT	93	114	25.19	32.1	24.5	.0
PT	93	115	23.74	32.1	23.5	.0
PT	93	116	24.89	32.1	23.5	.0
PT	93	117	22.80	32.0	23.0	.0
PT	93	118	22.62	31.8	23.5	.0
PT	93	119	21.85	34.0	25.5	18.0
PT	93	120	22.09	35.6	22.5	.0
PT	93	121	23.61	33.6	24.0	.0
PT	93	122	22.05	33.6	24.6	.0
PT	93	123	22.41	32.8	25.0	.0
PT	93	124	24.82	33.2	24.0	.0
PT	93	125	24.28	33.3	24.0	.0
PT	93	126	22.98	33.7	24.6	.0
PT	93	127	25.00	34.0	24.5	.0
PT	93	128	24.59	33.3	24.0	.0
PT	93	129	21.25	33.9	24.3	.0
PT	93	130	21.99	34.4	24.0	1.2
PT	93	131	22.09	33.3	24.2	.0
PT	93	132	20.30	33.4	23.0	11.1
PT	93	133	20.65	32.7	23.4	.0
PT	93	134	20.63	32.7	25.2	5.8
PT	93	135	15.43	32.2	24.0	.0
PT	93	136	18.32	32.7	24.6	.0
PT	93	137	18.42	32.8	23.4	.0
PT	93	138	17.90	32.2	24.0	.2
PT	93	139	16.25	32.2	23.4	30.1
PT	93	140	20.00	32.6	24.0	7.2
PT	93	141	19.35	32.0	24.6	.0
PT	93	142	19.83	32.5	25.0	23.1
PT	93	143	19.69	32.6	24.0	.0
PT	93	144	22.04	33.5	24.2	.0
PT	93	145	18.65	33.0	24.5	7.7
PT	93	146	21.12	33.2	24.2	2.3
PT	93	147	18.36	32.5	24.4	6.6
PT	93	148	22.32	33.2	24.6	.0
PT	93	149	24.04	33.6	24.6	.0
PT	93	150	19.93	34.1	24.5	.0
PT	93	151	20.65	33.8	25.8	.0
PT	93	152	22.86	33.9	24.2	20.4
PT	93	153	21.36	33.2	23.7	.0
PT	93	154	24.06	33.7	25.1	.0
PT	93	155	18.36	33.2	24.7	.0
PT	93	156	18.97	32.6	25.2	.0
PT	93	157	19.45	33.2	24.3	12.8
PT	93	158	20.42	32.9	23.8	1.2
PT	93	159	16.47	32.7	24.0	.0
PT	93	160	16.34	31.8	24.7	.0

PT	93	161	19.40	33.4	24.2	1.6
PT	93	162	13.50	30.6	24.0	25.0
PT	93	163	14.23	32.5	22.2	.0
PT	93	164	22.68	33.7	24.2	.0
PT	93	165	17.89	32.9	25.7	.0
PT	93	166	20.95	33.6	23.8	.0
PT	93	167	21.55	34.0	24.0	.0
PT	93	168	19.71	34.7	24.2	8.5
PT	93	169	11.75	31.6	24.1	.0
PT	93	170	11.87	32.4	24.7	11.8
PT	93	171	20.31	33.6	24.1	.0
PT	93	172	17.49	33.5	24.4	.0
PT	93	173	15.65	33.0	24.5	.0
PT	93	174	16.02	33.0	23.5	.0
PT	93	175	19.45	33.5	23.6	.0
PT	93	176	20.42	34.5	23.0	.0
PT	93	177	16.76	32.2	23.7	2.4
PT	93	178	21.16	34.0	23.7	.0
PT	93	179	16.03	32.3	24.8	.2
PT	93	180	16.88	32.1	24.0	7.7
PT	93	181	21.30	33.0	23.6	.0
PT	93	182	17.87	33.4	24.5	.0
PT	93	183	18.74	33.2	23.6	.0
PT	93	184	19.35	33.0	23.0	.0
PT	93	185	14.70	33.5	23.2	.0
PT	93	186	22.44	33.6	23.8	.0
PT	93	187	13.24	34.5	24.3	.0
PT	93	188	14.60	33.6	23.4	.0
PT	93	189	18.54	33.6	23.2	.0
PT	93	190	17.19	34.2	22.7	.0
PT	93	191	22.37	34.6	23.0	.0
PT	93	192	16.97	34.6	23.0	.0
PT	93	193	18.70	34.7	23.8	.0
PT	93	194	21.43	34.4	22.8	.0
PT	93	195	13.79	33.1	23.6	.0
PT	93	196	11.70	31.1	24.2	10.8
PT	93	197	17.15	33.7	22.6	.0
PT	93	198	23.97	33.9	22.3	7.7
PT	93	199	22.25	34.0	22.4	.0
PT	93	200	22.02	34.4	23.2	4.5
PT	93	201	24.40	34.7	23.9	.0
PT	93	202	20.20	34.8	24.7	.0
PT	93	203	22.82	34.0	24.3	.0
PT	93	204	16.49	33.6	26.2	.0
PT	93	205	11.90	29.8	24.5	1.6
PT	93	206	17.15	30.6	22.7	4.9
PT	93	207	15.29	33.1	24.0	.0
PT	93	208	15.93	32.5	24.6	1.3
PT	93	209	12.18	31.0	23.5	.0
PT	93	210	19.21	34.5	23.5	.0
PT	93	211	17.97	34.5	24.8	.0
PT	93	212	24.90	24.7	35.2	.0
PT	93	213	22.28	35.2	23.1	.0
PT	93	214	14.75	33.0	21.2	.4
PT	93	215	15.39	34.2	22.5	.0
PT	93	216	20.71	33.7	23.7	.0
PT	93	217	14.15	32.7	24.2	1.8
PT	93	218	14.04	33.5	22.6	.0
PT	93	219	18.86	34.0	25.0	.0
PT	93	220	18.75	34.6	24.2	.0
PT	93	221	22.58	34.6	23.5	.0
PT	93	222	23.11	35.6	23.4	.0
PT	93	223	19.95	35.6	24.6	.0
PT	93	224	23.53	34.2	25.0	.0
PT	93	225	21.00	34.8	24.0	.0
PT	93	226	18.46	34.0	23.7	.0
PT	93	227	20.78	34.2	22.2	.0
PT	93	228	18.49	35.3	24.2	.0
PT	93	229	20.30	35.4	24.7	.0

ตารางภาคผนวกที่ 2 ช้อมูลนำเสนอเจ้าด้านภูมิอากาศในแผนที่ข้อมูล 99PT0108.W93 ที่ใช้กับ
แปลงถั่วลิสงที่เมืองชั้นรุนแรง 25 เปอร์เซ็นต์

Variable Name Fortran Format Description

Format for all lines of weather data

STATW	A2	Code for weather station ID.
IYR	1X,I2	Year for which weather data is being read.
JUL	1X,I3	Julian date of weather record in data file.
SOLRAD	1X,F5.2	Daily total solar radiation, MJ/m ²
XTMAX	1X,F5.1	Daily value of maximum air temperature, °C.
XTMIN	1X,F5.1	Daily value of minimum air temperature, °C.
XRAIN	1X,F5.1	Daily total precipitation, mm/day.

PT 93	1	19.01	29.5	25.5	.0
PT 93	2	21.73	30.0	24.5	.0
PT 93	3	21.99	30.0	23.0	.0
PT 93	4	19.07	30.0	25.0	.0
PT 93	5	21.21	30.0	25.0	.5
PT 93	6	21.12	30.0	24.5	.0
PT 93	7	21.62	29.5	25.0	.0
PT 93	8	19.75	30.3	25.0	.0
PT 93	9	21.44	30.5	25.5	.0
PT 93	10	21.47	30.7	25.0	3.6
PT 93	11	20.43	30.5	23.0	.0
PT 93	12	21.89	30.4	23.5	.0
PT 93	13	22.28	30.3	25.0	.0
PT 93	14	20.76	30.8	22.0	.0
PT 93	15	19.36	30.5	22.5	1.6
PT 93	16	20.11	31.0	23.5	.0
PT 93	17	20.63	31.0	25.5	.0
PT 93	18	21.63	30.5	25.5	.3
PT 93	19	19.50	30.5	23.8	.0
PT 93	20	19.18	30.3	23.7	.0
PT 93	21	18.97	30.4	23.5	.0
PT 93	22	13.45	31.2	23.5	.0

PT 93	23	16.02	30.7	24.0	.0
PT 93	24	14.60	30.0	22.5	14.2
PT 93	25	19.12	30.6	23.5	.3
PT 93	26	21.23	30.6	23.6	.0
PT 93	27	12.25	30.5	24.0	15.7
PT 93	28	12.52	26.5	23.0	29.5
PT 93	29	12.30	25.5	21.5	1.8
PT 93	30	21.41	29.0	21.2	5.1
PT 93	31	18.75	28.4	21.0	.3
PT 93	32	21.62	29.5	20.0	15.2
PT 93	33	10.19	28.0	22.0	7.1
PT 93	34	16.77	30.0	22.0	.1
PT 93	35	22.25	31.7	22.5	.0
PT 93	36	21.31	29.3	22.5	.0
PT 93	37	23.09	29.3	21.5	.0
PT 93	38	22.89	29.8	21.0	.0
PT 93	39	23.56	29.8	21.5	.0
PT 93	40	22.11	29.8	24.5	.0
PT 93	41	23.79	30.2	25.0	.0
PT 93	42	20.57	30.2	25.0	.0
PT 93	43	21.24	29.8	24.5	.0
PT 93	44	22.17	29.6	22.0	.0
PT 93	45	22.21	30.2	21.8	.0
PT 93	46	22.39	30.0	21.5	.0
PT 93	47	22.05	30.5	22.0	.0
PT 93	48	23.62	30.5	22.4	.0
PT 93	49	24.55	31.0	22.5	.0
PT 93	50	24.09	30.5	21.5	.0
PT 93	51	23.24	30.5	20.7	.0
PT 93	52	21.11	29.5	21.2	.0
PT 93	53	24.35	31.2	21.0	.0
PT 93	54	24.78	30.6	19.4	.0
PT 93	55	24.05	30.7	19.4	.0
PT 93	56	25.12	32.6	19.6	.0
PT 93	57	24.65	31.5	22.2	.0
PT 93	58	22.89	31.7	23.6	.0
PT 93	59	24.47	31.5	22.9	.0
PT 93	60	22.83	31.5	23.0	.0
PT 93	61	20.28	30.8	25.7	.0
PT 93	62	22.90	30.8	21.6	.0
PT 93	63	23.19	31.0	21.5	.0
PT 93	64	23.36	31.3	20.6	.0
PT 93	65	23.13	31.6	21.5	.0
PT 93	66	20.04	31.9	22.4	20.1
PT 93	67	16.94	30.5	23.0	8.8
PT 93	68	22.44	31.0	25.5	.0
PT 93	69	22.73	30.8	25.8	.0
PT 93	70	18.45	30.8	25.4	.7
PT 93	71	19.90	31.0	26.0	.4
PT 93	72	16.27	31.2	25.0	21.4
PT 93	73	14.71	29.6	23.0	33.8
PT 93	74	12.11	29.4	23.6	17.7
PT 93	75	20.25	30.6	24.0	6.0
PT 93	76	15.81	30.5	23.5	6.8
PT 93	77	18.19	32.0	24.0	.0
PT 93	78	13.48	29.6	24.5	.0
PT 93	79	12.44	29.5	23.5	.0
PT 93	80	14.68	30.1	23.6	6.7
PT 93	81	12.20	29.0	24.0	3.1
PT 93	82	23.78	30.7	24.5	.0
PT 93	83	23.00	31.2	24.8	.0
PT 93	84	24.06	30.7	22.5	.0
PT 93	85	23.55	31.5	22.4	.0
PT 93	86	23.82	32.2	23.5	.0
PT 93	87	24.09	32.8	23.3	.0
PT 93	88	23.44	32.2	23.5	.0
PT 93	89	23.71	32.8	24.5	.0
PT 93	90	24.50	32.6	22.5	.0
PT 93	91	23.45	32.5	23.6	.0

PT	93	92	20.56	32.6	23.5	.0
PT	93	93	24.64	33.7	23.0	.0
PT	93	94	24.37	34.1	23.6	.0
PT	93	95	24.11	34.2	23.8	.0
PT	93	96	22.40	34.5	24.2	.0
PT	93	97	24.89	33.4	23.5	.0
PT	93	98	24.10	33.5	23.6	.0
PT	93	99	23.44	33.2	25.5	.0
PT	93	100	19.76	33.2	25.6	.0
PT	93	101	17.92	32.5	24.0	.0
PT	93	102	13.47	29.5	23.0	8.1
PT	93	103	12.29	29.5	23.0	128.2
PT	93	104	12.28	24.5	22.5	52.8
PT	93	105	15.55	30.3	23.0	30.9
PT	93	106	20.50	30.7	23.0	17.7
PT	93	107	17.10	31.6	23.8	1.1
PT	93	108	20.35	31.7	23.5	.4
PT	93	109	20.33	32.4	23.3	.9
PT	93	110	22.01	32.6	24.0	.0
PT	93	111	22.13	32.4	25.0	.2
PT	93	112	22.11	32.7	25.3	.0
PT	93	113	23.65	32.3	25.0	.0
PT	93	114	25.19	32.1	24.5	.0
PT	93	115	23.74	32.1	23.5	.0
PT	93	116	24.89	32.1	23.5	.0
PT	93	117	22.80	32.0	23.0	.0
PT	93	118	22.52	31.8	23.5	.0
PT	93	119	21.85	34.0	25.5	18.0
PT	93	120	22.09	35.6	22.5	.0
PT	93	121	23.61	33.6	24.0	.0
PT	93	122	22.05	33.6	24.6	.0
PT	93	123	22.41	32.8	25.0	.0
PT	93	124	24.82	33.2	24.0	.0
PT	93	125	24.28	33.3	24.0	.0
PT	93	126	22.98	33.7	24.6	.0
PT	93	127	25.00	34.0	24.5	.0
PT	93	128	24.59	33.3	24.0	.0
PT	93	129	21.25	33.9	24.3	.0
PT	93	130	21.99	34.4	24.0	1.2
PT	93	131	22.09	33.3	24.2	.0
PT	93	132	20.30	33.4	23.0	11.1
PT	93	133	19.57	32.7	23.4	.0
PT	93	134	19.08	32.7	25.2	5.8
PT	93	135	13.96	32.2	24.0	.0
PT	93	136	16.30	32.7	24.6	.0
PT	93	137	16.14	32.8	23.4	.0
PT	93	138	15.30	32.2	24.0	.2
PT	93	139	13.77	32.2	23.4	30.1
PT	93	140	15.82	32.6	24.0	7.2
PT	93	141	14.32	32.0	24.6	.0
PT	93	142	13.84	32.5	25.0	23.1
PT	93	143	12.90	32.6	24.0	.0
PT	93	144	13.44	33.5	24.2	.0
PT	93	145	11.24	33.0	24.5	7.7
PT	93	146	11.12	33.2	24.2	2.3
PT	93	147	08.93	32.5	24.4	6.6
PT	93	148	10.02	33.2	24.6	.0
PT	93	149	09.74	33.6	24.6	.0
PT	93	150	07.31	34.1	24.5	.0
PT	93	151	07.02	33.8	25.8	.0
PT	93	152	06.83	33.9	24.2	20.4
PT	93	153	06.81	33.2	23.7	.0
PT	93	154	05.53	33.7	25.1	.0
PT	93	155	03.67	33.2	24.7	.0
PT	93	156	03.18	32.6	25.2	.0
PT	93	157	02.82	33.2	24.3	12.8
PT	93	158	02.61	32.9	23.8	1.2
PT	93	159	01.89	32.7	24.0	.0
PT	93	160	01.70	31.8	24.7	.0

PT	93	161	01.84	33.4	24.2	1.6
PT	93	162	01.24	30.6	24.0	25.0
PT	93	163	01.28	32.5	22.2	.0
PT	93	164	01.99	33.7	24.2	.0
PT	93	165	01.52	32.9	25.7	.0
PT	93	166	01.87	33.6	23.8	.0
PT	93	167	01.94	34.0	24.0	.0
PT	93	168	01.87	34.7	24.2	8.5
PT	93	169	01.20	31.6	24.1	.0
PT	93	170	01.33	32.4	24.7	11.8
PT	93	171	02.34	33.6	24.1	.0
PT	93	172	02.18	33.5	24.4	.0
PT	93	173	02.21	33.0	24.5	.0
PT	93	174	02.49	33.0	23.5	.0
PT	93	175	03.60	33.5	23.6	.0
PT	93	176	03.81	34.5	23.0	.0
PT	93	177	03.44	32.2	23.7	2.4
PT	93	178	04.86	34.0	23.7	.0
PT	93	179	03.93	32.3	24.8	.2
PT	93	180	04.39	32.1	24.0	7.7
PT	93	181	05.70	33.0	23.6	.0
PT	93	182	05.83	33.4	24.5	.0
PT	93	183	06.84	33.2	23.6	.0
PT	93	184	07.98	33.0	23.0	.0
PT	93	185	06.27	33.5	23.2	.0
PT	93	186	12.78	33.6	23.8	.0
PT	93	187	09.73	34.5	24.3	.0
PT	93	188	10.95	33.6	23.4	.0
PT	93	189	14.20	33.6	23.2	.0
PT	93	190	13.43	34.2	22.7	.0
PT	93	191	17.84	34.6	23.0	.0
PT	93	192	13.79	34.6	23.0	.0
PT	93	193	15.47	34.7	23.8	.0
PT	93	194	18.11	34.4	22.8	.0
PT	93	195	11.86	33.1	23.6	.0
PT	93	196	10.88	31.1	24.2	10.8
PT	93	197	16.26	33.7	22.6	.0
PT	93	198	22.75	33.9	22.3	7.7
PT	93	199	21.42	34.0	22.4	.0
PT	93	200	22.02	34.4	23.2	4.5
PT	93	201	24.40	34.7	23.9	.0
PT	93	202	20.20	34.8	24.7	.0
PT	93	203	22.82	34.0	24.3	.0
PT	93	204	16.49	33.6	26.2	.0
PT	93	205	11.90	29.8	24.5	1.6
PT	93	206	17.15	30.6	22.7	4.9
PT	93	207	15.29	33.1	24.0	.0
PT	93	208	15.93	32.5	24.6	1.3
PT	93	209	12.18	31.0	23.5	.0
PT	93	210	19.21	34.5	23.5	.0
PT	93	211	17.97	34.5	24.8	.0
PT	93	212	24.90	24.7	35.2	.0
PT	93	213	22.28	35.2	23.1	.0
PT	93	214	14.75	33.0	21.2	.4
PT	93	215	15.39	34.2	22.5	.0
PT	93	216	20.71	33.7	28.7	.0
PT	93	217	14.15	32.7	24.2	1.8
PT	93	218	14.04	33.5	22.6	.0
PT	93	219	18.86	34.0	25.0	.0
PT	93	220	18.75	34.6	24.2	.0
PT	93	221	22.58	34.6	23.5	.0
PT	93	222	28.11	35.6	23.4	.0
PT	93	223	19.95	35.6	24.6	.0
PT	93	224	23.53	34.2	25.0	.0
PT	93	225	21.00	34.8	24.0	.0
PT	93	226	18.46	34.0	23.7	.0
PT	93	227	20.78	34.2	22.2	.0
PT	93	228	18.49	35.3	24.2	.0
PT	93	229	20.30	36.4	24.7	.0

ตารางภาคผนวกที่ 3 ข้อมูลนำเข้าด้านภูมิอากาศในแฟ้มชื่อชุด 99PT0108.W93 ที่ใช้กับ
แปลงค่าลิสต์ที่มีวัสดุชนิดรวม 50 เปอร์เซ็นต์

Variable Name Fortran Format Description

Format for all lines of weather data

STATW	A2	Code for weather station ID.
IYR	1X,I2	Year for which weather data is being read.
JUL	1X,I3	Julian date of weather record in data file.
SOLRAD	1X,F5.2	Daily total solar radiation, MJ/m ²
XTMAX	1X,F5.1	Daily value of maximum air temperature, °C.
XTMIN	1X,F5.1	Daily value of minimum air temperature, °C.
XRAIN	1X,F5.1	Daily total precipitation, mm/day.

PT 93	1	19.01	29.5	25.5	.0
PT 93	2	21.73	30.0	24.5	.0
PT 93	3	21.99	30.0	23.0	.0
PT 93	4	19.07	30.0	25.0	.0
PT 93	5	21.21	30.0	25.0	.5
PT 93	6	21.12	30.0	24.5	.0
PT 93	7	21.62	29.5	25.0	.0
PT 93	8	19.75	30.3	25.0	.0
PT 93	9	21.44	30.5	25.5	.0
PT 93	10	21.47	30.7	25.0	3.6
PT 93	11	20.43	30.5	23.0	.0
PT 93	12	21.89	30.4	23.5	.0
PT 93	13	22.28	30.3	25.0	.0
PT 93	14	20.76	30.8	22.0	.0
PT 93	15	19.36	30.5	22.5	1.6
PT 93	16	20.11	31.0	23.5	.0
PT 93	17	20.63	31.0	25.5	.0
PT 93	18	21.63	30.5	25.5	.3
PT 93	19	19.50	30.5	23.8	.0
PT 93	20	19.18	30.3	23.7	.0
PT 93	21	18.97	30.4	23.5	.0
PT 93	22	13.45	31.2	23.5	.0

PT	93	23	16.02	30.7	24.0	.0
PT	93	24	14.60	30.0	22.5	14.2
PT	93	25	19.12	30.6	23.5	.3
PT	93	26	21.23	30.6	23.6	.0
PT	93	27	12.25	30.5	24.0	15.7
PT	93	28	12.52	26.5	23.0	29.5
PT	93	29	12.30	25.5	21.5	1.8
PT	93	30	21.41	29.0	21.2	5.1
PT	93	31	18.75	28.4	21.0	.3
PT	93	32	21.62	29.5	20.0	15.2
PT	93	33	10.19	28.0	22.0	7.1
PT	93	34	16.77	30.0	22.0	.1
PT	93	35	22.25	31.7	22.5	.0
PT	93	36	21.31	29.3	22.5	.0
PT	93	37	23.09	29.3	21.5	.0
PT	93	38	22.89	29.8	21.0	.0
PT	93	39	23.56	29.8	21.5	.0
PT	93	40	22.11	29.8	24.5	.0
PT	93	41	23.79	30.2	25.0	.0
PT	93	42	20.57	30.2	25.0	.0
PT	93	43	21.24	29.8	24.5	.0
PT	93	44	22.17	29.6	22.0	.0
PT	93	45	22.21	30.2	21.8	.0
PT	93	46	22.39	30.0	21.5	.0
PT	93	47	22.05	30.5	22.0	.0
PT	93	48	23.62	30.5	22.4	.0
PT	93	49	24.55	31.0	22.5	.0
PT	93	50	24.09	30.5	21.5	.0
PT	93	51	23.24	30.5	20.7	.0
PT	93	52	21.11	29.5	21.2	.0
PT	93	53	24.35	31.2	21.0	.0
PT	93	54	24.78	30.6	19.4	.0
PT	93	55	24.05	30.7	19.4	.0
PT	93	56	25.12	32.6	19.6	.0
PT	93	57	24.65	31.5	22.2	.0
PT	93	58	22.89	31.7	23.6	.0
PT	93	59	24.47	31.5	22.9	.0
PT	93	60	22.83	31.5	23.0	.0
PT	93	61	20.28	30.8	25.7	.0
PT	93	62	22.90	30.8	21.6	.0
PT	93	63	23.19	31.0	21.5	.0
PT	93	64	23.36	31.3	20.6	.0
PT	93	65	23.13	31.6	21.5	.0
PT	93	66	20.04	31.9	22.4	20.1
PT	93	67	16.94	30.5	23.0	8.8
PT	93	68	22.44	31.0	25.5	.0
PT	93	69	22.73	30.8	25.8	.0
PT	93	70	18.46	30.8	25.4	.7
PT	93	71	19.90	31.0	26.0	.4
PT	93	72	16.27	31.2	25.0	21.4
PT	93	73	14.71	29.6	23.0	33.8
PT	93	74	12.11	29.4	23.6	17.7
PT	93	75	20.25	30.6	24.0	5.0
PT	93	76	15.81	30.6	23.6	6.8
PT	93	77	18.19	32.0	24.0	.0
PT	93	78	13.48	29.6	24.5	.0
PT	93	79	12.44	29.5	23.5	.0
PT	93	80	14.68	30.1	23.6	6.7
PT	93	81	12.20	29.0	24.0	3.1
PT	93	82	23.78	30.7	24.5	.0
PT	93	83	23.00	31.2	24.8	.0
PT	93	84	24.06	30.7	22.5	.0
PT	93	85	23.55	31.5	22.4	.0
PT	93	86	23.82	32.2	23.5	.0
PT	93	87	24.09	32.8	23.3	.0
PT	93	88	23.44	32.2	23.5	.0
PT	93	89	23.71	32.8	24.5	.0
PT	93	90	24.50	32.6	22.5	.0
PT	93	91	23.45	32.5	23.6	.0

PT	93	92	20.66	32.6	23.6	.0
PT	93	93	24.64	33.7	23.0	.0
PT	93	94	24.37	34.1	23.6	.0
PT	93	95	24.11	34.2	23.8	.0
PT	93	96	22.40	34.5	24.2	.0
PT	93	97	24.89	33.4	23.5	.0
PT	93	98	24.10	33.5	23.6	.0
PT	93	99	23.44	33.2	25.5	.0
PT	93	100	19.76	33.2	25.6	.0
PT	93	101	17.92	32.6	24.0	.0
PT	93	102	13.47	29.5	23.0	8.1
PT	93	103	12.29	29.5	23.0	128.2
PT	93	104	12.28	24.5	22.5	52.8
PT	93	105	15.55	30.3	23.0	30.9
PT	93	106	20.50	30.7	23.0	17.7
PT	93	107	17.10	31.6	23.8	1.1
PT	93	108	20.35	31.7	23.5	.4
PT	93	109	20.33	32.4	23.3	.9
PT	93	110	22.01	32.6	24.0	.0
PT	93	111	22.13	32.4	25.0	.2
PT	93	112	22.11	32.7	25.3	.0
PT	93	113	23.65	32.3	25.0	.0
PT	93	114	25.19	32.1	24.5	.0
PT	93	115	23.74	32.1	23.5	.0
PT	93	116	24.89	32.1	23.5	.0
PT	93	117	22.80	32.0	23.0	.0
PT	93	118	22.52	31.8	23.5	.0
PT	93	119	21.85	34.0	25.5	18.0
PT	93	120	22.09	35.6	22.5	.0
PT	93	121	23.61	33.6	24.0	.0
PT	93	122	22.05	33.6	24.6	.0
PT	93	123	22.41	32.8	25.0	.0
PT	93	124	24.82	33.2	24.0	.0
PT	93	125	24.28	33.3	24.0	.0
PT	93	126	22.98	33.7	24.6	.0
PT	93	127	25.00	34.0	24.5	.0
PT	93	128	24.59	33.3	24.0	.0
PT	93	129	21.25	33.9	24.3	.0
PT	93	130	21.99	34.4	24.0	1.2
PT	93	131	22.09	33.3	24.2	.0
PT	93	132	20.30	33.4	23.0	11.1
PT	93	133	18.32	32.7	23.4	.0
PT	93	134	17.87	32.7	25.2	5.8
PT	93	135	13.31	32.2	24.0	.0
PT	93	136	15.66	32.7	24.6	.0
PT	93	137	15.66	32.8	23.4	.0
PT	93	138	15.06	32.2	24.0	.2
PT	93	139	13.61	32.2	23.4	30.1
PT	93	140	15.20	32.6	24.0	7.2
PT	93	141	12.34	32.0	24.6	.0
PT	93	142	12.14	32.5	25.0	23.1
PT	93	143	10.71	32.6	24.0	.0
PT	93	144	10.33	33.5	24.2	.0
PT	93	145	07.32	33.0	24.5	7.7
PT	93	146	07.76	33.2	24.2	2.3
PT	93	147	06.64	32.5	24.4	6.6
PT	93	148	07.85	33.2	24.6	.0
PT	93	149	08.15	33.6	24.6	.0
PT	93	150	06.48	34.1	24.5	.0
PT	93	151	06.45	33.8	25.8	.0
PT	93	152	06.86	33.9	24.2	20.4
PT	93	153	06.19	33.2	23.7	.0
PT	93	154	06.68	33.7	25.1	.0
PT	93	155	04.88	33.2	24.7	.0
PT	93	156	04.84	32.6	25.2	.0
PT	93	157	04.76	33.2	24.3	12.8
PT	93	158	04.53	32.9	23.8	1.2
PT	93	159	03.29	32.7	24.0	.0
PT	93	160	02.96	31.8	24.7	.0

PT	93	161	03.06	33.4	24.2	1.6
PT	93	162	01.75	30.6	24.0	25.0
PT	93	163	01.64	32.5	22.2	.0
PT	93	164	02.55	33.7	24.2	.0
PT	93	165	01.97	32.9	26.7	.0
PT	93	166	02.25	33.6	23.8	.0
PT	93	167	02.26	34.0	24.0	.0
PT	93	168	02.06	34.7	24.2	8.5
PT	93	169	01.18	31.6	24.1	.0
PT	93	170	01.54	32.4	24.7	11.8
PT	93	171	03.26	33.6	24.1	.0
PT	93	172	03.35	33.5	24.4	.0
PT	93	173	03.44	33.0	24.6	.0
PT	93	174	04.03	33.0	23.5	.0
PT	93	175	05.45	33.5	23.6	.0
PT	93	176	06.09	34.5	23.0	.0
PT	93	177	05.28	32.2	23.7	2.4
PT	93	178	07.08	34.0	23.7	.0
PT	93	179	05.62	32.3	24.8	.2
PT	93	180	06.25	32.1	24.0	7.7
PT	93	181	08.25	33.0	23.6	.0
PT	93	182	08.04	33.4	24.5	.0
PT	93	183	09.51	33.2	23.6	.0
PT	93	184	10.93	33.0	23.0	.0
PT	93	185	09.26	33.5	23.2	.0
PT	93	186	15.60	33.6	23.8	.0
PT	93	187	10.00	34.5	24.3	.0
PT	93	188	11.16	33.6	23.4	.0
PT	93	189	14.34	33.6	23.2	.0
PT	93	190	13.58	34.2	22.7	.0
PT	93	191	17.90	34.6	23.0	.0
PT	93	192	13.79	34.6	23.0	.0
PT	93	193	15.43	34.7	23.8	.0
PT	93	194	18.05	34.4	22.8	.0
PT	93	195	11.82	33.1	23.6	.0
PT	93	196	10.21	31.1	24.2	10.8
PT	93	197	15.26	33.7	22.6	.0
PT	93	198	21.69	33.9	22.3	7.7
PT	93	199	20.24	34.0	22.4	.0
PT	93	200	22.02	34.4	23.2	4.5
PT	93	201	24.40	34.7	23.9	.0
PT	93	202	20.20	34.8	24.7	.0
PT	93	203	22.82	34.0	24.3	.0
PT	93	204	16.49	33.6	26.2	.0
PT	93	205	11.90	29.8	24.5	1.6
PT	93	206	17.15	30.6	22.7	4.9
PT	93	207	15.29	33.1	24.0	.0
PT	93	208	15.93	32.5	24.6	1.3
PT	93	209	12.18	31.0	23.5	.0
PT	93	210	19.21	34.5	23.5	.0
PT	93	211	17.97	34.5	24.8	.0
PT	93	212	24.90	24.7	35.2	.0
PT	93	213	22.28	35.2	23.1	.0
PT	93	214	14.75	33.0	21.2	.4
PT	93	215	15.39	34.2	22.5	.0
PT	93	216	20.71	33.7	23.7	.0
PT	93	217	14.15	32.7	24.2	1.8
PT	93	218	14.04	33.5	22.6	.0
PT	93	219	18.86	34.0	25.0	.0
PT	93	220	18.75	34.6	24.2	.0
PT	93	221	22.58	34.6	23.5	.0
PT	93	222	23.11	35.6	23.4	.0
PT	93	223	19.95	35.6	24.6	.0
PT	93	224	23.63	34.2	25.0	.0
PT	93	225	21.00	34.8	24.0	.0
PT	93	226	18.46	34.0	23.7	.0
PT	93	227	20.78	34.2	22.2	.0
PT	93	228	18.49	35.3	24.2	.0
PT	93	229	20.30	35.4	24.7	.0

ตารางภาคผนวกที่ 4 ข้อมูลนำเข้าด้านภูมิอากาศในไฟล์ข้อมูล 99PT0108.W93 ที่ใช้กับ
แปลงถ่วงสูงที่มีวัชพืชทึบ灌根 75 เปอร์เซ็นต์

Variable Name Fortran Format Description

Format for all lines of weather data

STATW	A2	Code for weather station ID.			
IYR	I1X,I2	Year for which weather data is being read.			
JUL	I1X,I3	Julian date of weather record in data file.			
SOLRAD	I1X,F5.2	Daily total solar radiation, MJ/m ²			
XTMAX	I1X,F5.1	Daily value of maximum air temperature, °C.			
XTMIN	I1X,F5.1	Daily value of minimum air temperature, °C.			
XRAIN	I1X,F5.1	Daily total precipitation, mm/day.			

PT	93	1	19.01	29.5	25.5	.0
PT	93	2	21.73	30.0	24.5	.0
PT	93	3	21.99	30.0	23.0	.0
PT	93	4	19.07	30.0	25.0	.0
PT	93	5	21.21	30.0	25.0	.5
PT	93	6	21.12	30.0	24.5	.0
PT	93	7	21.62	29.5	25.0	.0
PT	93	8	19.75	30.3	25.0	.0
PT	93	9	21.44	30.5	25.5	.0
PT	93	10	21.47	30.7	25.0	3.6
PT	93	11	20.43	30.5	23.0	.0
PT	93	12	21.89	30.4	23.5	.0
PT	93	13	22.28	30.3	25.0	.0
PT	93	14	20.76	30.8	22.0	.0
PT	93	15	19.36	30.5	22.5	1.6
PT	93	16	20.11	31.0	23.5	.0
PT	93	17	20.63	31.0	25.5	.0
PT	93	18	21.63	30.5	25.5	.3
PT	93	19	19.50	30.5	23.8	.0
PT	93	20	19.18	30.3	23.7	.0
PT	93	21	18.97	30.4	23.5	.0
PT	93	22	13.45	31.2	23.5	.0

PT	93	23	10.02	30.7	24.0	.0
PT	93	24	14.60	30.0	22.5	14.2
PT	93	25	19.12	30.6	23.5	.3
PT	93	26	21.23	30.6	23.6	.0
PT	93	27	12.25	30.5	24.0	15.7
PT	93	28	12.62	26.5	23.0	29.5
PT	93	29	12.30	25.5	21.5	1.8
PT	93	30	21.41	29.0	21.2	5.1
PT	93	31	18.75	28.4	21.0	.3
PT	93	32	21.62	29.5	20.0	15.2
PT	93	33	10.19	28.0	22.0	7.1
PT	93	34	16.77	30.0	22.0	.1
PT	93	35	22.25	31.7	22.5	.0
PT	93	36	21.31	29.3	22.5	.0
PT	93	37	23.09	29.3	21.5	.0
PT	93	38	22.89	29.8	21.0	.0
PT	93	39	23.56	29.8	21.5	.0
PT	93	40	22.11	29.8	24.5	.0
PT	93	41	23.79	30.2	25.0	.0
PT	93	42	20.57	30.2	25.0	.0
PT	93	43	21.24	29.8	24.5	.0
PT	93	44	22.17	29.6	22.0	.0
PT	93	45	22.21	30.2	21.8	.0
PT	93	46	22.39	30.0	21.5	.0
PT	93	47	22.05	30.5	22.0	.0
PT	93	48	23.62	30.5	22.4	.0
PT	93	49	24.55	31.0	22.5	.0
PT	93	50	24.09	30.5	21.5	.0
PT	93	51	23.24	30.5	20.7	.0
PT	93	52	21.11	29.5	21.2	.0
PT	93	53	24.35	31.2	21.0	.0
PT	93	54	24.78	30.6	19.4	.0
PT	93	55	24.05	30.7	19.4	.0
PT	93	56	25.12	32.6	19.6	.0
PT	93	57	24.65	31.5	22.2	.0
PT	93	58	22.89	31.7	23.6	.0
PT	93	59	24.47	31.5	22.9	.0
PT	93	60	22.83	31.5	23.0	.0
PT	93	61	20.28	30.8	25.7	.0
PT	93	62	22.90	30.8	21.6	.0
PT	93	63	23.19	31.0	21.5	.0
PT	93	64	23.36	31.3	20.6	.0
PT	93	65	23.13	31.6	21.5	.0
PT	93	66	20.04	31.9	22.4	20.1
PT	93	67	16.94	30.5	23.0	8.8
PT	93	68	22.44	31.0	25.5	.0
PT	93	69	22.73	30.8	25.8	.0
PT	93	70	18.45	30.8	25.4	.7
PT	93	71	19.90	31.0	26.0	.4
PT	93	72	16.27	31.2	25.0	21.4
PT	93	73	14.71	29.6	23.0	33.8
PT	93	74	12.11	29.4	23.6	17.7
PT	93	75	20.25	30.6	24.0	5.0
PT	93	76	15.81	30.5	23.5	6.8
PT	93	77	18.19	32.0	24.0	.0
PT	93	78	13.48	29.6	24.5	.0
PT	93	79	12.44	29.5	23.5	.0
PT	93	80	14.68	30.1	23.6	6.7
PT	93	81	12.20	29.0	24.0	3.1
PT	93	82	23.78	30.7	24.5	.0
PT	93	83	23.00	31.2	24.8	.0
PT	93	84	24.06	30.7	22.5	.0
PT	93	85	23.55	31.5	22.4	.0
PT	93	86	23.82	32.2	23.5	.0
PT	93	87	24.09	32.8	23.3	.0
PT	93	88	23.44	32.2	23.5	.0
PT	93	89	23.71	32.8	24.5	.0
PT	93	90	24.50	32.6	22.6	.0
PT	93	91	23.45	32.5	23.6	.0

PT 93	92	20.56	32.6	23.5	.0
PT 93	93	24.64	33.7	23.0	.0
PT 93	94	24.37	34.1	23.6	.0
PT 93	95	24.11	34.2	23.8	.0
PT 93	96	22.40	34.5	24.2	.0
PT 93	97	24.89	33.4	23.5	.0
PT 93	98	24.10	33.5	23.6	.0
PT 93	99	23.44	33.2	25.5	.0
PT 93	100	19.76	33.2	25.6	.0
PT 93	101	17.92	32.5	24.0	.0
PT 93	102	13.47	29.5	23.0	8.1
PT 93	103	12.29	29.5	23.0	128.2
PT 93	104	12.28	24.5	22.5	52.8
PT 93	105	16.55	30.3	23.0	30.9
PT 93	106	20.50	30.7	23.0	17.7
PT 93	107	17.10	31.6	23.8	1.1
PT 93	108	20.35	31.7	23.5	.4
PT 93	109	20.33	32.4	23.3	.9
PT 93	110	22.01	32.6	24.0	.0
PT 93	111	22.13	32.4	25.0	.2
PT 93	112	22.11	32.7	25.3	.0
PT 93	113	23.65	32.3	25.0	.0
PT 93	114	25.19	32.1	24.5	.0
PT 93	115	23.74	32.1	23.5	.0
PT 93	116	24.89	32.1	23.5	.0
PT 93	117	22.80	32.0	23.0	.0
PT 93	118	22.52	31.8	23.5	.0
PT 93	119	21.85	34.0	25.5	18.0
PT 93	120	22.09	35.6	22.5	.0
PT 93	121	23.61	33.6	24.0	.0
PT 93	122	22.05	33.6	24.6	.0
PT 93	123	22.41	32.8	25.0	.0
PT 93	124	24.82	33.2	24.0	.0
PT 93	125	24.28	33.3	24.0	.0
PT 93	126	22.98	33.7	24.6	.0
PT 93	127	25.00	34.0	24.5	.0
PT 93	128	24.59	33.3	24.0	.0
PT 93	129	21.25	33.9	24.3	.0
PT 93	130	21.99	34.4	24.0	1.2
PT 93	131	22.09	33.3	24.2	.0
PT 93	132	20.30	33.4	23.0	11.1
PT 93	133	18.59	32.7	23.4	.0
PT 93	134	18.10	32.7	25.2	5.8
PT 93	135	12.96	32.2	24.0	.0
PT 93	136	14.80	32.7	24.6	.0
PT 93	137	14.23	32.8	23.4	.0
PT 93	138	12.33	32.2	24.0	.2
PT 93	139	11.70	32.2	23.4	30.1
PT 93	140	12.94	32.6	24.0	7.2
PT 93	141	11.12	32.0	24.6	.0
PT 93	142	09.92	32.5	25.0	23.1
PT 93	143	08.41	32.6	24.0	.0
PT 93	144	07.71	33.5	24.2	.0
PT 93	145	05.18	33.0	24.5	7.7
PT 93	146	05.41	33.2	24.2	2.3
PT 93	147	04.26	32.5	24.4	6.6
PT 93	148	04.65	33.2	24.6	.0
PT 93	149	04.45	33.6	24.6	.0
PT 93	150	03.24	34.1	24.5	.0
PT 93	151	02.89	33.8	25.8	.0
PT 93	152	02.97	33.9	24.2	20.4
PT 93	153	02.62	33.2	23.7	.0
PT 93	154	02.77	33.7	25.1	.0
PT 93	155	02.02	33.2	24.7	.0
PT 93	156	01.90	32.6	25.2	.0
PT 93	157	01.80	32.2	24.3	12.8
PT 93	158	02.04	32.9	23.8	1.2
PT 93	159	01.76	32.7	24.0	.0
PT 93	160	01.87	31.8	24.7	.0

PT	93	161	02.33	33.4	24.2	1.6
PT	93	162	01.76	30.6	24.0	25.0
PT	93	163	01.92	32.5	22.2	.0
PT	93	164	03.21	33.7	24.2	.0
PT	93	165	02.46	32.9	25.7	.0
PT	93	166	03.27	33.6	23.8	.0
PT	93	167	03.43	34.0	24.0	.0
PT	93	168	03.20	34.7	24.2	8.5
PT	93	169	02.00	31.6	24.1	.0
PT	93	170	02.25	32.4	24.7	11.8
PT	93	171	04.24	33.6	24.1	.0
PT	93	172	03.98	33.5	24.4	.0
PT	93	173	03.86	33.0	24.5	.0
PT	93	174	04.25	33.0	23.5	.0
PT	93	175	05.49	33.5	23.6	.0
PT	93	176	06.19	34.5	23.0	.0
PT	93	177	05.40	32.2	23.7	2.4
PT	93	178	07.19	34.0	23.7	.0
PT	93	179	05.77	32.3	24.8	.2
PT	93	180	06.37	32.1	24.0	7.7
PT	93	181	08.47	33.0	23.6	.0
PT	93	182	08.22	33.4	24.5	.0
PT	93	183	09.79	33.2	23.6	.0
PT	93	184	11.46	33.0	23.0	.0
PT	93	185	09.64	33.5	23.2	.0
PT	93	186	16.21	33.6	23.8	.0
PT	93	187	10.36	34.5	24.3	.0
PT	93	188	11.61	33.6	23.4	.0
PT	93	189	14.92	33.6	23.2	.0
PT	93	190	14.00	34.2	22.7	.0
PT	93	191	18.40	34.6	23.0	.0
PT	93	192	14.11	34.6	23.0	.0
PT	93	193	15.70	34.7	23.8	.0
PT	93	194	18.43	34.4	22.8	.0
PT	93	195	12.07	33.1	23.6	.0
PT	93	196	10.40	31.1	24.2	10.8
PT	93	197	15.56	33.7	22.6	.0
PT	93	198	22.10	33.9	22.3	7.7
PT	93	199	21.14	34.0	22.4	.0
PT	93	200	22.02	34.4	23.2	4.5
PT	93	201	24.40	34.7	23.9	.0
PT	93	202	20.20	34.8	24.7	.0
PT	93	203	22.82	34.0	24.3	.0
PT	93	204	16.49	33.6	26.2	.0
PT	93	205	11.90	29.8	24.5	1.6
PT	93	206	17.15	30.6	22.7	4.9
PT	93	207	15.29	33.1	24.0	.0
PT	93	208	15.93	32.5	24.6	1.3
PT	93	209	12.18	31.0	23.5	.0
PT	93	210	19.21	34.5	23.5	.0
PT	93	211	17.97	34.5	24.8	.0
PT	93	212	24.90	24.7	35.2	.0
PT	93	213	22.28	35.2	23.1	.0
PT	93	214	14.75	33.0	21.2	.4
PT	93	215	15.39	34.2	22.5	.0
PT	93	216	20.71	33.7	23.7	.0
PT	93	217	14.15	32.7	24.2	1.8
PT	93	218	14.04	33.5	22.6	.0
PT	93	219	18.86	34.0	25.0	.0
PT	93	220	18.75	34.6	24.2	.0
PT	93	221	22.58	34.6	23.5	.0
PT	93	222	23.11	35.6	23.4	.0
PT	93	223	19.95	35.6	24.6	.0
PT	93	224	23.53	34.2	25.0	.0
PT	93	225	21.00	34.8	24.0	.0
PT	93	226	18.46	34.0	23.7	.0
PT	93	227	20.78	34.2	22.2	.0
PT	93	228	18.49	35.3	24.2	.0
PT	93	229	20.30	35.4	24.7	.0

ตารางภาคผนวกที่ 5 ข้อมูลนำเข้าตัวगมิคากาศในไฟล์ข้อมูล 99PT0108.W93 ที่ใช้กับ
แปลงถ่วงสูงที่มีวัสดุหินรบกวน 100 เปอร์เซ็นต์

Variable Name Fortran Format Description

Format for all lines of weather data

STATW	A2	Code for weather station ID.
IYR	I1,I2	Year for which weather data is being read.
JUL	I1,I3	Julian date of weather record in data file.
SOLRAD	I1,F5.2	Daily total solar radiation, MJ/m ²
XTMAX	I1,F5.1	Daily value of maximum air temperature, °C.
XTMIN	I1,F5.1	Daily value of minimum air temperature, °C.
XRAIN	I1,F5.1	Daily total precipitation, mm/day.

PT 93 1 19.01 29.5 25.5 .0
PT 93 2 21.73 30.0 24.5 .0
PT 93 3 21.99 30.0 23.0 .0
PT 93 4 19.07 30.0 25.0 .0
PT 93 5 21.21 30.0 25.0 .5
PT 93 6 21.12 30.0 24.5 .0
PT 93 7 21.62 29.5 25.0 .0
PT 93 8 19.75 30.3 25.0 .0
PT 93 9 21.44 30.5 25.5 .0
PT 93 10 21.47 30.7 25.0 3.6
PT 93 11 20.43 30.5 23.0 .0
PT 93 12 21.89 30.4 23.5 .0
PT 93 13 22.28 30.3 25.0 .0
PT 93 14 20.76 30.8 22.0 .0
PT 93 15 19.36 30.5 22.5 1.6
PT 93 16 20.11 31.0 23.5 .0
PT 93 17 20.63 31.0 25.5 .0
PT 93 18 21.63 30.5 25.5 .3
PT 93 19 19.50 30.5 23.8 .0
PT 93 20 19.18 30.3 23.7 .0
PT 93 21 18.97 30.4 23.5 .0
PT 93 22 13.45 31.2 23.5 .0

PT 93	23	16.02	30.7	24.0	.0
PT 93	24	14.60	30.0	22.5	14.2
PT 93	25	19.12	30.6	23.5	.3
PT 93	26	21.23	30.6	23.6	.0
PT 93	27	12.25	30.5	24.0	15.7
PT 93	28	12.52	26.5	23.0	29.5
PT 93	29	12.30	25.5	21.5	1.8
PT 93	30	21.41	29.0	21.2	5.1
PT 93	31	18.75	28.4	21.0	.3
PT 93	32	21.62	29.5	20.0	15.2
PT 93	33	10.19	28.0	22.0	7.1
PT 93	34	16.77	30.0	22.0	.1
PT 93	35	22.25	31.7	22.5	.0
PT 93	36	21.31	29.3	22.5	.0
PT 93	37	23.09	29.3	21.5	.0
PT 93	38	22.89	29.8	21.0	.0
PT 93	39	23.56	29.8	21.5	.0
PT 93	40	22.11	29.8	24.5	.0
PT 93	41	23.79	30.2	25.0	.0
PT 93	42	20.57	30.2	25.0	.0
PT 93	43	21.24	29.8	24.5	.0
PT 93	44	22.17	29.6	22.0	.0
PT 93	45	22.21	30.2	21.8	.0
PT 93	46	22.39	30.0	21.5	.0
PT 93	47	22.05	30.5	22.0	.0
PT 93	48	23.62	30.5	22.4	.0
PT 93	49	24.55	31.0	22.5	.0
PT 93	50	24.09	30.5	21.5	.0
PT 93	51	23.24	30.5	20.7	.0
PT 93	52	21.11	29.5	21.2	.0
PT 93	53	24.35	31.2	21.0	.0
PT 93	54	24.78	30.6	19.4	.0
PT 93	55	24.06	30.7	19.4	.0
PT 93	56	25.12	32.6	19.6	.0
PT 93	57	24.65	31.5	22.2	.0
PT 93	58	22.89	31.7	23.6	.0
PT 93	59	24.47	31.5	22.9	.0
PT 93	60	22.83	31.5	23.0	.0
PT 93	61	20.28	30.8	25.7	.0
PT 93	62	22.90	30.8	21.6	.0
PT 93	63	23.19	31.0	21.5	.0
PT 93	64	23.36	31.3	20.6	.0
PT 93	65	23.13	31.6	21.5	.0
PT 93	66	20.04	31.9	22.4	20.1
PT 93	67	16.94	30.5	23.0	8.8
PT 93	68	22.44	31.0	25.5	.0
PT 93	69	22.73	30.8	25.8	.0
PT 93	70	18.45	30.8	25.4	.7
PT 93	71	19.90	31.0	26.0	.4
PT 93	72	16.27	31.2	25.0	21.4
PT 93	73	14.71	29.6	23.0	33.8
PT 93	74	12.11	29.4	23.6	17.7
PT 93	75	20.25	30.6	24.0	5.0
PT 93	76	15.81	30.5	23.5	6.8
PT 93	77	18.19	32.0	24.0	.0
PT 93	78	13.48	29.6	24.5	.0
PT 93	79	12.44	29.5	23.5	.0
PT 93	80	14.68	30.1	23.6	6.7
PT 93	81	12.20	29.0	24.0	3.1
PT 93	82	23.78	30.7	24.5	.0
PT 93	83	23.00	31.2	24.8	.0
PT 93	84	24.06	30.7	22.5	.0
PT 93	85	23.55	31.5	22.4	.0
PT 93	86	23.82	32.2	23.5	.0
PT 93	87	24.09	32.8	23.3	.0
PT 93	88	23.44	32.2	23.5	.0
PT 93	89	23.71	32.8	24.5	.0
PT 93	90	24.50	32.6	22.5	.0
PT 93	91	23.45	22.5	22.6	^

PT 93	92	20.56	32.6	23.5	.0
PT 93	93	24.64	33.7	23.0	.0
PT 93	94	24.37	34.1	23.6	.0
PT 93	95	24.11	34.2	23.8	.0
PT 93	96	22.40	34.5	24.2	.0
PT 93	97	24.89	33.4	23.5	.0
PT 93	98	24.10	33.5	23.6	.0
PT 93	99	23.44	33.2	25.5	.0
PT 93	100	19.76	33.2	25.6	.0
PT 93	101	17.92	32.5	24.0	.0
PT 93	102	13.47	29.5	23.0	8.1
PT 93	103	12.29	29.5	23.0	128.2
PT 93	104	12.28	24.5	22.5	52.8
PT 93	105	15.55	30.3	23.0	30.9
PT 93	106	20.50	30.7	23.0	17.7
PT 93	107	17.10	31.6	23.8	1.1
PT 93	108	20.35	31.7	23.5	.4
PT 93	109	20.33	32.4	23.3	.9
PT 93	110	22.01	32.6	24.0	.0
PT 93	111	22.13	32.4	25.0	.2
PT 93	112	22.11	32.7	25.3	.0
PT 93	113	23.65	32.3	25.0	.0
PT 93	114	25.19	32.1	24.5	.0
PT 93	115	23.74	32.1	23.5	.0
PT 93	116	24.89	32.1	23.5	.0
PT 93	117	22.80	32.0	23.0	.0
PT 93	118	22.52	31.8	23.5	.0
PT 93	119	21.85	34.0	25.5	18.0
PT 93	120	22.09	35.6	22.5	.0
PT 93	121	23.61	33.6	24.0	.0
PT 93	122	22.05	33.6	24.6	.0
PT 93	123	22.41	32.8	25.0	.0
PT 93	124	24.82	33.2	24.0	.0
PT 93	125	24.28	33.3	24.0	.0
PT 93	126	22.98	33.7	24.6	.0
PT 93	127	25.00	34.0	24.5	.0
PT 93	128	24.59	33.3	24.0	.0
PT 93	129	21.25	33.9	24.3	.0
PT 93	130	21.99	34.4	24.0	1.2
PT 93	131	22.09	33.3	24.2	.0
PT 93	132	20.30	33.4	23.0	11.1
PT 93	133	18.07	32.7	23.4	.0
PT 93	134	17.02	32.7	25.2	5.8
PT 93	135	11.96	32.2	24.0	.0
PT 93	136	13.33	32.7	24.6	.0
PT 93	137	12.53	32.8	23.4	.0
PT 93	138	11.28	32.2	24.0	.2
PT 93	139	09.51	32.2	23.4	30.1
PT 93	140	10.69	32.6	24.0	7.2
PT 93	141	09.23	32.0	24.6	.0
PT 93	142	08.42	32.5	25.0	23.1
PT 93	143	07.38	32.6	24.0	.0
PT 93	144	07.22	33.5	24.2	.0
PT 93	145	05.13	33.0	24.5	7.7
PT 93	146	05.44	33.2	24.2	2.3
PT 93	147	04.55	32.5	24.4	6.6
PT 93	148	05.13	33.2	24.6	.0
PT 93	149	05.17	33.6	24.6	.0
PT 93	150	03.98	34.1	24.5	.0
PT 93	151	03.77	33.8	25.8	.0
PT 93	152	03.92	33.9	24.2	20.4
PT 93	153	03.63	33.2	23.7	.0
PT 93	154	03.97	33.7	25.1	.0
PT 93	155	02.89	33.2	24.7	.0
PT 93	156	02.69	32.6	25.2	.0
PT 93	157	02.82	33.2	24.3	12.8
PT 93	158	02.96	32.9	23.8	1.2
PT 93	159	02.38	32.7	24.0	.0
PT 93	160	02.37	31.8	24.7	.0

PT	93 162	01.96	30.6	24.0	25.0	
PT	93 163	02.06	32.5	22.2	.0	
PT	93 164	03.40	33.7	24.2	.0	
PT	93 165	02.77	32.9	25.7	.0	
PT	93 166	03.31	33.6	23.8	.0	
PT	93 167	03.50	34.0	24.0	.0	
PT	93 168	03.25	34.7	24.2	8.5	
PT	93 169	02.00	31.6	24.1	.0	
PT	93 170	02.20	32.4	24.7	11.8	
PT	93 171	04.01	33.6	24.1	.0	
PT	93 172	03.72	33.5	24.4	.0	
PT	93 173	03.63	33.0	24.5	.0	
PT	93 174	03.88	33.0	23.6	.0	
PT	93 175	05.01	33.5	23.6	.0	
PT	93 176	06.02	34.5	23.0	.0	
PT	93 177	05.53	32.2	23.7	2.4	
PT	93 178	07.82	34.0	23.7	.0	
PT	93 179	06.57	32.3	24.8	.2	
PT	93 180	07.44	32.1	24.0	7.7	
PT	93 181	10.33	33.0	23.6	.0	
PT	93 182	09.38	33.4	24.5	.0	
PT	93 183	10.61	33.2	23.6	.0	
PT	93 184	11.75	33.0	23.0	.0	
PT	93 185	09.56	33.5	23.2	.0	
PT	93 186	15.48	33.6	23.8	.0	
PT	93 187	09.67	34.5	24.3	.0	
PT	93 188	10.89	33.6	23.4	.0	
PT	93 189	14.09	33.6	23.2	.0	
PT	93 190	13.28	34.2	22.7	.0	
PT	93 191	17.67	34.6	23.0	.0	
PT	93 192	13.69	34.6	23.0	.0	
PT	93 193	15.38	34.7	23.8	.0	
PT	93 194	18.00	34.4	22.8	.0	
PT	93 195	11.81	33.1	23.6	.0	
PT	93 196	10.18	31.1	24.2	10.8	
PT	93 197	15.13	33.7	22.6	.0	
PT	93 198	21.57	33.9	22.3	7.7	
PT	93 199	20.63	34.0	22.4	.0	
PT	93 200	22.02	34.4	23.2	4.5	
PT	93 201	24.40	34.7	23.9	.0	
PT	93 202	20.20	34.8	24.7	.0	
PT	93 203	22.82	34.0	24.3	.0	
PT	93 204	16.49	33.6	26.2	.0	
PT	93 205	11.90	29.8	24.5	1.6	
PT	93 206	17.15	30.6	22.7	4.9	
PT	93 207	15.29	33.1	24.0	.0	
PT	93 208	15.93	32.5	24.6	1.3	
PT	93 209	12.18	31.0	23.5	.0	
PT	93 210	19.21	34.5	23.5	.0	
PT	93 211	17.97	34.5	24.8	.0	
PT	93 212	24.90	24.7	35.2	.0	
PT	93 213	22.28	35.2	23.1	.0	
PT	93 214	14.75	33.0	21.2	.4	
PT	93 215	15.39	34.2	22.5	.0	
PT	93 216	20.71	33.7	23.7	.0	
PT	93 217	14.15	32.7	24.2	1.8	
PT	93 218	14.04	33.5	22.6	.0	
PT	93 219	18.86	34.0	25.0	.0	
PT	93 220	18.75	34.6	24.2	.0	
PT	93 221	22.58	34.6	23.5	.0	
PT	93 222	23.11	35.6	23.4	.0	
PT	93 223	19.95	35.6	24.6	.0	
PT	93 224	23.53	34.2	25.0	.0	
PT	93 225	21.00	34.8	24.0	.0	
PT	93 226	18.46	34.0	23.7	.0	
PT	93 227	20.78	34.2	22.2	.0	
PT	93 228	18.49	35.3	24.2	.0	
PT	93 229	20.30	35.4	24.7	.0	

ตารางภาคผนวกที่ 6 ผลการวิเคราะห์ว่าเรียนของการเจริญเติบโตของวัชพืชในกว้างที่ระดับ
ความหนาแน่นต่าง ๆ กัน

Source of variation	df	ความสูงทรงผุ่ม	ดัชนีพื้นที่ใบ ($\times 10^{-2}$)	ความสูงทรงผุ่ม	ดัชนีพื้นที่ใบ ($\times 10^{-3}$)
----ที่อายุ 36 วัน----					
Block	3	2.73	4.88	3.01	4.20
Treatment	3	22.82*	51.88**	32.07**	3.56
Error	9	6.03	3.45	2.20	19.08

* มีความแตกต่างอย่างมีนัยสำคัญ ($P < 0.05$)

** มีความแตกต่างอย่างมีนัยสำคัญยิ่ง ($P < 0.01$)

ตารางภาคผนวกที่ 7 เปรียบเทียบปริมาณรังสีดูดอากาศที่ต้องห้ามถ่ายทอดจากเปลี่ยน
ทดลองทุก ๆ 6 วัน ระหว่าง 36 - 102 วันหลังจากปลูกกับปริมาณ
รังสีดูดอากาศที่ต้องห้ามที่สถานีตรวจอากาศเกษตรจังหวัดพัทลุง

จำนวนวันหลังจากปลูก (วัน)	ปริมาณรังสีดูดอากาศ		ความแตกต่าง [*] (%)
	สถานีตรวจอากาศ	เปลี่ยนทดลอง	
----- (MJ/m. ²) -----			
36	20.7	21.1	1.9
42	16.3	15.2	6.7
48	18.7	19.4	3.7
54	20.7	21.9	5.6
60	19.5	15.7	19.4
66	14.2	14.8	4.3
72	11.8	11.3	4.2
78	19.5	20.5	5.1
84	21.3	21.6	1.4
90	13.2	13.9	5.3
96	18.7	19.5	4.2
102	11.9	13.0	9.2

* แตกต่างกันไม่เกิน 10 เปอร์เซ็นต์ ใช้กดแทนกันได้

ตารางภาคผนวกที่ 8 ผลการวิเคราะห์ว่าเวียนของปริมาณรังสีดูดอาทิตย์เหนือทรงฟูมถัวลิสงและดัชนีพื้นที่ใน

Source of variation	df	รังสีดูดอาทิตย์ ดัชนีพื้นที่ใน (x10 ⁻¹)	รังสีดูดอาทิตย์ ดัชนีพื้นที่ใน (x10 ⁻²)	รังสีดูดอาทิตย์ ดัชนีพื้นที่ใน (x10 ⁻¹)	รังสีดูดอาทิตย์ ดัชนีพื้นที่ใน (x10 ⁻²)	
		----ที่อายุ 36 วัน----	----ที่อายุ 60 วัน----	--เฉลี่ยทดลองดูดปลูก--		
Block	3	3.28	4.88	1.56	1.69	1.17
Treatment	4	3.07	110.11 **	2171.89 **	933.74 **	1561.05 **
Error	12	1.82	2.71	1.40	0.60	0.83
						7.00

* มีความแตกต่างอย่างมีนัยสำคัญ ($P < 0.05$)

** มีความแตกต่างอย่างมีนัยสำคัญ ($P < 0.01$)

ตารางภาคผนวกที่ 9 ลักษณะประจำพันธุ์ของถั่วลิสงพันธุ์ Starr, Florunner และพันธุ์ Florigiant ในแบบจำลอง PNUTGRO

C: >DSSAT\MODEL\PEANUT\PANUS\GENETICS.PN9

\panus\genetics.pn9									
01 STARR	01	VARIETY 1, MAT. GRP 1							
5.00 12.16 01.00 1.0		VARN1, VARNO, VARTH, VARDH							
6.00 7.00 0.0 0.0 18.0	7.00 29.2 55.00 44.0	VARTHR(J), J=1, 9							
68.00 0.00		VARTHR(J), J=10, 11							
19.800 20.900 2.0 22.00 100.		SHVAR, SDVAR, SDPDVR, PODVAR, XMPAG							
0.400 19.0 243. 0.0 1.384		TRI, SIZELF, SLAVAR, STRCON, PGLF							
0.77 1. 0.037 0.03 77.0		XFR, DETVEG, CNMOB, SHTHIC, THRESH							
19.0 11.0 5.5		LNGSH, LAGSD, LNGPEG							
02 FLORUNNER, std 02		VARIETY 2, MAT. GRP 2							
5.00 12.16 01.00 1.0		VARN1, VARNO, VARTH, VARDH							
5.00 8.30 0.0 0.0 15.7	8.00 37.6 70.00 54.0	VARTHR(J), J=1, 9							
87.00 0.00		VARTHR(J), J=10, 11							
19.000 17.500 1.7 18.50 100.		SHVAR, SDVAR, SDPDVR, PODVAR, XMPAG							
0.423 20.0 245. 1.0 1.384		TRI, SIZELF, SLAVAR, STRCON, PGLF							
0.85 1. 0.029 0.03 80.0		XFR, DETVEG, CNMOB, SHTHIC, THRESH							
19.5 11.0 5.5		LNGSH, LAGSD, LNGPEG							
03 FLORIGIANT 03		VARIETY 3, MAT. GRP 3							
5.00 12.16 01.00 1.0		VARN1, VARNO, VARTH, VARDH							
5.00 8.30 0.0 0.0 16.3	8.00 37.6 70.00 54.0	VARTHR(J), J=1, 9							
86.40 0.00		VARTHR(J), J=10, 11							
37.900 24.500 1.7 11.00 100.		SHVAR, SDVAR, SDPDVR, PODVAR, XMPAG							
0.423 20.0 245. 1.0 1.384		TRI, SIZELF, SLAVAR, STRCON, PGLF							
0.81 1. 0.029 0.03 74.0		XFR, DETVEG, CNMOB, SHTHIC, THRESH							
22.0 14.0 5.5		LNGSH, LAGSD, LNGPEG							

ตารางภาคผนวกที่ 10 ผลการวิเคราะห์ว่าเรื่องของการเจริญเติบโตและผลผลิตของถั่วลิสงที่ระดับความหนาแน่นของวัชพืชในระดับต่าง ๆ กัน

Source of variation	df	ผลผลิต (x10 ⁻⁴)	ตัวชนิดน้ำที่ใบ (x10 ⁻²)	น้ำหนักต้นถั่ว (x10 ⁻⁴)
Block	3	2.96	8.60	7.86
Treatment	4	390.99 **	87.00 **	335.87 **
Error	12	3.65	7.00	3.86

* มีความแตกต่างอย่างมีนัยสำคัญ ($P < 0.05$)

** มีความแตกต่างอย่างมีนัยสำคัญยิ่ง ($P < 0.01$)

ตารางภาคผนวกที่ 11 ผลการวิเคราะห์ว่า เรียนของผลผลิตของถั่วลิสงที่ระดับความหนาแน่นของ
วัชพืชต่าง ๆ กัน เปรียบเทียบโดยใช้ orthogonal polynomial

Source of variation	df	ms (x10 ⁵)	equations (y)	r ²
Block	3	0.29		
Treatment	4	39.09**		
Linear	1	88.91**	2457.4 - 19.0x	0.57
Quadratic	1	47.39**	3039.3 - 65.4x + 0.47x ²	0.84
Residual	2	10.04**		
Error	12	0.37		

* มีความแตกต่างอย่างมีนัยสำคัญ ($P < 0.05$)

** มีความแตกต่างอย่างมีนัยสำคัญ ($P < 0.01$)

ตารางภาคผนวกที่ 12 เปรียบเทียบผลผลิตถั่วลิสงและความหนาแน่นวิกฤตของวัชพืช โดยใช้
เกฟท์ LSD ที่ระดับความเชื่อมั่น 95 และ 99 เปอร์เซ็นต์

เกฟท์/เปรี้ยบเทียบ	LSD 0.05	LSD 0.01
ผลผลิตถั่วลิสงจากสมการที่วัดได้จริงเมื่อไม่มีวัชพืช (กก./เยกตาร์)	3039	3039
2 - T means	294	412
ความต่าง (กก./เยกตาร์)	2745	2627
ระดับความหนาแน่นวัชพืช (%)	5	3

ประวัติผู้เชี่ยง

ชื่อ นายพนัส แหนะ
วัน เดือน ปีเกิด 23 กุมภาพันธ์ 2503
อาชีวศึกษา^{ชั้นมัธยมศึกษาตอนต้น}
วิทยาศาสตร์และเทคโนโลยี
(เกษตรศาสตร์)
ชื่อสถานที่ มหาวิทยาลัยสงขลานครินทร์
ปีที่สำเร็จการศึกษา 2526